

وزارة التعليم والبحث العلمي  
MINISTÈRE DE L'ENSEIGNEMENT ET DE LA RECHERCHE SCIENTIFIQUE

1 ex

ECOLE NATIONALE POLYTECHNIQUE

DEPARTEMENT: GENIE CIVIL



## **PROJET DE FIN D'ETUDES**

### **S U J E T**

ETUDE D'UN PONT  
A POUTRES MULTIPLES  
EN BETON  
PRECONTRAINTE

6 PLANCHES

Proposé par :

Etudié par :

Dirigé par :

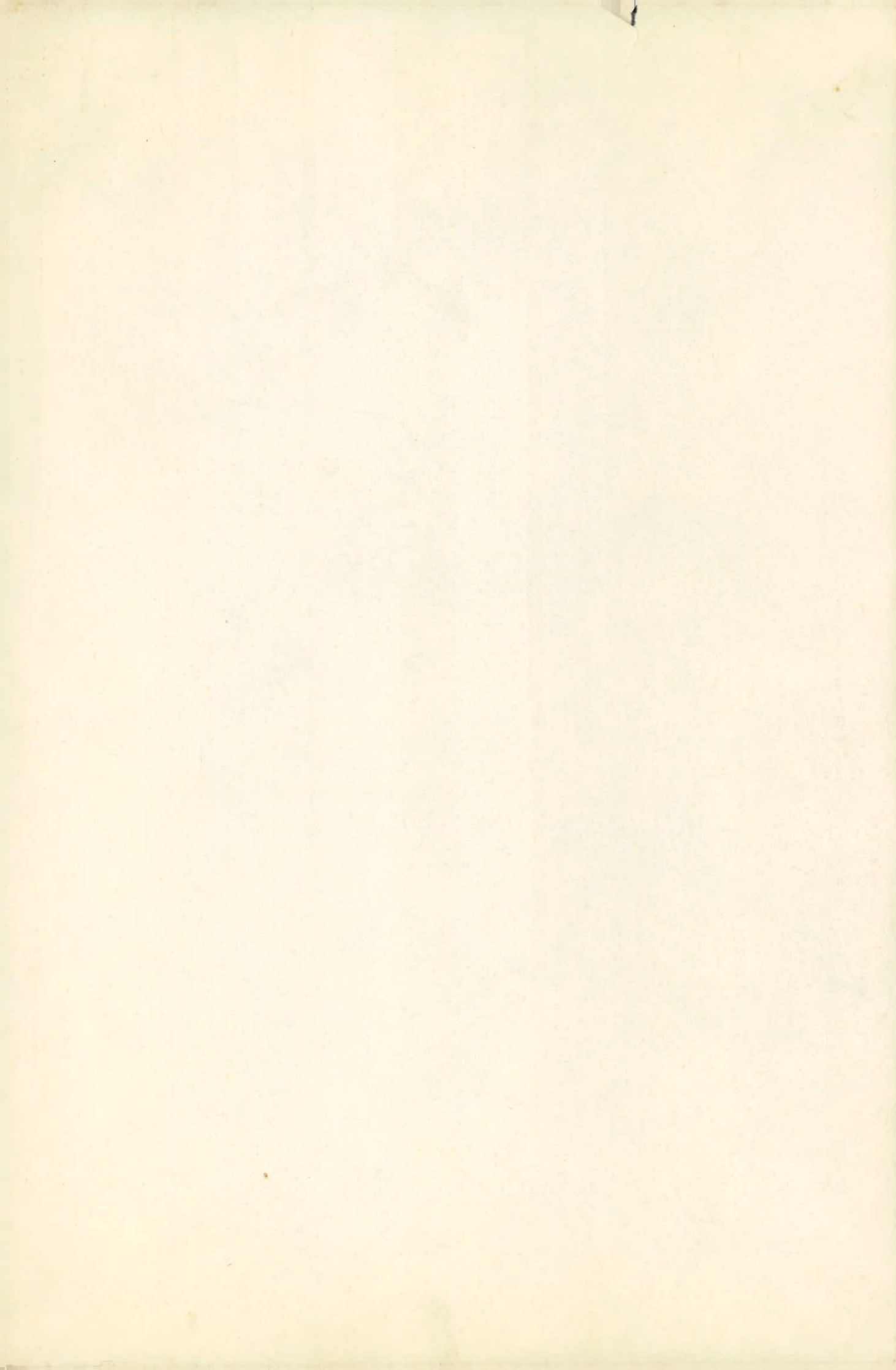
A. SEROA

S. BOUGHADOU

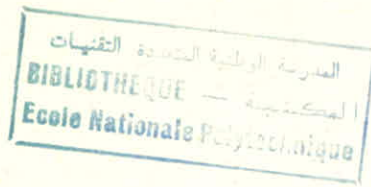
M<sup>e</sup> BONNEVILLE

A. NAÏT. BENALI

PROMOTION : JUIN 87



# REMERCIEMENTS



Nous attendions depuis longtemps et avec impatience cette occasion solennelle d'exprimer avec une pensée emue notre profonde gratitude envers tout ceux qui nous ont guidés durant toute notre formation.

Recevez M<sup>e</sup> Pierre BONNEVILLE, l'expression de notre vive reconnaissance pour nous avoir guidé et conseillé tout au long de ce présent travail. Nous remercions également M<sup>e</sup> M<sup>e</sup> ZOUKH pour son aide précieuse et pour nous avoir donné le fruit de ses connaissances dans le module de Ponts.

Recevez M<sup>rs</sup>. les Ingénieurs du bureau d'étude de la SEROA ainsi que tous les responsables, nos remerciements les plus sincères.

NAIT-BERBALI  
AEK:

Boughadou  
Serhane  
et.

## DÉDICACES:

je dedie ce modeste travail à toute ma famille  
mon père, ma mère, mes frères et soeurs et ma petite  
nièce Nesrine et tous ce qui me sont chers  
à mes Amis (Azzedine, Kamil, Khaled, Djellouli, Farid,  
Mustapha) à mon cousin Lakehal Mohamed qui m'a  
tant aidé durant toute ma formation,  
à mon très chère frère Abdelkader Fekrache et toute la  
famille sans Oublier Radia, et Souhila  
Pour terminer je dedie ce modeste travail à tous ceux  
qui sont enchain de souffrir pour réussir.

Boughadou . Serhane

je dedie ce modeste travail à mon père, ma mère,  
mes frères et soeurs grands et petits et tous ceux qui  
m'ont compris de près ou de loin

Näit. Bénzali. AEK

## Sommaire

### A/ Introduction :

Chp I

Présentation de L'ouvrage

Caractéristiques mécanique des matériaux

### B/ Étude du Tablier

Chp II

Chp III

Chp IV

Chp V

Chp VI

Chp VII

Chp VIII

Caractéristiques géométrique des Sections

Calcul des efforts.

Distribution des efforts dans les Poutres.

Etude du planelage.

Etude de La Predalle.

Etude de La Precontrainte des Poutres.

Etude des Pertes et chutes de Tension

Calcul des vérification des contraintes

- Joints de chaussée

### C/ Étude de L'Infrastructure :

Chp IX

Chp X

Chp XI

Chp XII

Chp XIII

Dimensionnement des appareils d'appuis

Repartition des efforts Horizontaux

Vérification des Appareils d'appuis

Etude de la Pile.

Etude des fondation de la Pile .

# PRÉSENTATION

الجامعة الوطنية للعلوم والتكنولوجie  
BIBLIOTHEQUE — 20000 ALGER  
Ecole Nationale Polytechnique

## \* CARACTÉRISTIQUES ET UTILITÉ DE L'OUVRAGE :

L'ouvrage d'art, objet de notre projet de fin d'étude est un pont droit à poutres multiples en béton précontraint. Il sera construit sur la Rocade Sud d'Alger (Autoroute Est) radiale ouest - OUCHAIJA au point PK (4+490). La largeur total du tablier est de 13.00 m. La longueur d'axe en axe de culée est de 52.00 m ( $2 \times 26$  m). Le Pont est à deux travées isostatiques identiques. Le tablier comporte :

- 2 houffoirs de 2,50 m de largeur chacun
- 2 voies de (4.00 m) de largeur chacune.

## # STRUCTURE DU PONT:

• L'étude de l'avant projet a donné les caractéristiques suivantes :

### \* Le TABLIER :

Il est constitué par :

• le platelage : formé par un Hourdis de 20 cm recouvert d'une chape d'étanchéité de 1 cm et d'un revêtement d'asphalte enrobé de 3 cm d'épaisseur.

Le Hourdis présente un ripage transversale de 2,5%.

La poutre : supporte le platelage et est composée de six (6) poutres principales en béton précontraint.

Les poutres sont en préfabriquées.

L'entre axe des poutres principales est de 2,26 m.

## \*\*\* LES APPUIS :

la Culée : élément essentiel dont le mur frontal est les murs en retour sont des voiles en béton armé sur une semelle de fondation rectangulaire. cette dernière est fondée sur 2 files de 3.00 pieux.

### La PIÈLE :

Appui intermédiaire entre les deux culées comportant un chevêtre en béton armé supporté par 2 fûts rectangulaires sur une semelle rectangulaire liant une file de 4 pieux.

## \* LES APPAREILS D'APPUIS :

Plaques en élastomères frettés du type GUMBA fixés sur des dés en B.A (bossages prismatiques)

## \*\*\*\* LES FONDATIONS :

des nombreux sondages effectués sur le terrain d'implantation et l'étude du sol (in-situ). Analyse des prélèvements au laboratoire ont relevé une faible portance en surface de ce dernier.

Le laboratoire de mécanique des sols de la Société a suggéré des fondations profondes du type "pieux forés" de 1,20 m de diamètre.

CARACTÉRISTIQUES-MÉCANIQUE-DES-MATÉRIAUXCaractéristiques-mécaniques des matériaux.

- \*-1 Beton : le béton utilisé dans la construction de l'ouvrage sera conforme aux règles CCBA 68
- ciment CPA 315
  - dosage du béton  $400 \text{ kg/m}^3$
  - contrôle stricte
  - diamètre des plus gros granulats  $C_g = 25 \text{ mm}$

\* Contraintes admissibles de compression

D'après l'article 94 du code CCBA 68 ORA :

$$\bar{\sigma}'_b = \alpha \beta \gamma E \delta_{28} ; \quad \delta_{28} = 300 \text{ bars}$$

- $\alpha$  : coefficient qui dépend de la classe de ciment ( $\alpha=1$ )  
 $\beta$  : coefficient qui dépend de la nature du contrôle ( $\beta=1$ )  
 $\gamma$  :  $\gamma = 1 - \frac{1}{\gamma}$  en fonction de l'épaisseur relative  
 des éléments et des dimensions des granulats ( $\gamma=1$ ;  $\frac{h_m}{4C_g} > 1$   
 avec  $h_m$  épaisseur de la pièce)  
 $\delta$  : coefficient qui dépend du type de sollicitations
- $\delta = 0,3$  en compression simple
  - $\delta = 0,6$  en flexion simple.

- $E$  : coefficient qui dépend de la forme de la section  
 et de la nature de la sollicitation
- $E = 1$  en flexion simple pour les sections rectangulaires
  - $E = 1$  en compression simple
  - $0,55 \leq E \leq 1$  pour les autres cas

Nous avons :

- En compression simple  $\bar{\sigma}'_{b0} = 1.1.0,3.1.300 = 90 \text{ bars}$
- En flexion simple  $\bar{\sigma}'_b = 2 \bar{\sigma}'_{b0} = 180 \text{ bars}$

\* Contrainte de référence en traction

$$\bar{\sigma}_b = \alpha \beta \gamma E \delta_{28} ; \quad \theta = 0,018 + \frac{0,1}{\delta_{28}} = 0,025$$

$$\bar{\sigma}_b = 7,5 \text{ bars}$$

1-2/ ACIERS:

- \* Contraintes de traction admissible :  $\bar{\sigma}_a = f_a \bar{\sigma}_{en}$ .

$\bar{\sigma}_{en}$  : Contrainte d'élasticité nominale

$f_a = 2/3$  pour les sollicitations du 1<sup>er</sup> genre.  
 Aciers utilisés Fe540 (HA) ; FeE40B (HA)

classes	$\phi(\text{mm})$	$\bar{\sigma}_{en}$		$\bar{\sigma}_a (f_a = 2/3)$	
		bars	$\text{kg/cm}^2$	bars	$\text{kg/cm}^2$
FeE 40 A	$5 \div 20$	4420	4200	2750	2800
FeE 40 B	$25 \div 40$	3920	4000	2610	2670

\* Contraintes de traction imposées par la condition de fissuration :

Dans le cas où la fissuration sera nuisible à la sécurité de l'ouvrage, on pourra limiter la contrainte admissible dans les aciers. La valeur maximale de la contrainte dans les Aciers sera limitée par la plus grande des deux valeurs suivantes :

$$\sigma_1 = \frac{k \gamma_b}{\phi} \cdot \frac{w_f}{1 + 10 w_f} ; \quad \sigma_2 = 2,4 \sqrt{\frac{k \gamma_b}{\phi} \bar{\sigma}_b}$$

avec :

$\phi$  : diamètre nominal de la plus grosse des barres tendues (mm)

$k$  : coefficient qui dépend de l'importance de la fissuration

$\bar{\sigma}_b$  : contrainte de référence du béton en traction

$\gamma_b$  : coefficient de fissuration (= 1,6 pour les H.A.)

$$w_f = \frac{A}{B_f}$$

$A$  : Section totale des barres tendues

$B_f$  : Section d'enrobage de ces barres

\*\* Contraintes admissibles de traction pour les armatures d'âmes

Pour pouvoir utiliser les armatures d'âmes droites il faut que la condition suivante soit vérifiée

$$\bar{\sigma}_b \leq 3,5 \bar{\sigma}_b' \quad \text{si} \quad \bar{\sigma}_b' \leq \bar{\sigma}_{bo}'$$

$$\bar{\sigma}_b \leq \left( 4,5 - \frac{\bar{\sigma}_b'}{\bar{\sigma}_{bo}'} \right) \bar{\sigma}_b' \quad \text{si} \quad \bar{\sigma}_{bo}' \leq \bar{\sigma}_b' \leq 2\bar{\sigma}_{bo}'$$

Dans ce cas :  $\bar{\sigma}_{at} = \bar{\sigma}_{at} \bar{\sigma}_{ent}$ .

$$\text{avec } \bar{\sigma}_{at} = \begin{cases} \bar{\sigma}_{max} \left( 1 - \frac{\bar{\sigma}_b}{3 \bar{\sigma}_b'} ; 2/3 \right) \\ \text{si il n'y a pas reprise de bétonnage} \end{cases}$$

\*\* Contraintes d'adhérence admissible :

$$\bar{\sigma}_b = \begin{cases} 2 \gamma_d \bar{\sigma}_b & \text{Pour les Poutres} \\ 2,5 \gamma_d \bar{\sigma}_b & \text{Pour les dalles et Hourdis} \end{cases}$$

Avec :  $\gamma_d$  = coefficient de rellement droit [ $\gamma_d = 1,5$  (H.A.)]

$\bar{\sigma}_b$  : Contrainte de référence du béton.

## 2-2 / Beton précontraint :

Principe: Le béton est un matériau qui possède une forte résistance à la compression et faible à la traction c'est pour cela qu'on y remédie en mettant des aciers dans la partie tendue. Le béton existant dans cette partie ne sert qu'à enrober les aciers.

Les ingénieurs ont élaboré une technique permettant d'utiliser à plein la résistance du béton en la comprimant à l'avance par un jeu de forces internes de façon telle que la variation de contrainte qui faisait naître des tractions ne provoque qu'une décompression du matériau, et ce qui permet de construire des ouvrages d'assez grandes portées en évitant au maximum la fissuration et aussi aléger les constructions donc en liant la sécurité à l'économie.

Leur réalisations demandent une main-d'œuvre qualifiée et des matériaux d'assez bonne qualité.  
En conclusion on dira que le béton précontraint est un matériau homogène non fissuré.

### Précontrainte par post-tension :

Le principe de la précontrainte par post-tension est de tendre les armatures en prenant appui sur la pièce à précontraindre. Pendant sa mise en tension, l'armature s'allonge tandis que le béton comprimé présente un léger raccourcissement. Pour permettre de mouvement relatif il est nécessaire de ménager dans le béton des conduits généralement formés par des gaines métalliques de sections circulaires disposées et réglées dans les coffrages avant betonnage.

#### Béton :

Résistance nominale : - Compression :  $\sigma_n' = \sigma_{28}' = 400 \text{ kg/cm}^2$   
- Traction :  $\sigma_n = \sigma_{28} = 7 + 0,06 \sigma_{28}' = 34 \text{ kg/cm}^2$

\* Contraintes admissibles: selon les dispositions de l' IP.1, les contraintes sont :

- En compression  $\bar{\sigma}' = 0,42 \sigma_n' = 168 \text{ kg/cm}^2$  en Service  
 $0,55 \sigma_n' = 220 \text{ kg/cm}^2$  en Combustion

- En traction :  $\bar{\sigma} = 0$  en Service.

#### Module de déformation :

- Sous charge de courte durée,  $E_i = 21000 \sqrt{\sigma_n} = 420.000 \text{ kg/cm}^2$   
- Sous charge de longue durée  $E_V = \frac{1}{3} E_i = 140.000 \text{ kg/cm}^2$

## Armatures

Les cables utilisés sont du type Freyssinet 6T13 I  
L'ancrage est du type actif-actif

Les caractéristiques données par les constructeurs sont les suivantes

- Module d'élasticité -----	$E_a = 2 \cdot 10^6 \text{ kg/cm}^2$
- Contrainte de déformation garantie -----	$T_g = 14300 \text{ kg/cm}^2$
- Contrainte de rupture garantie -----	$R_g = 14904 \text{ kg/cm}^2$
- Section utile d'un cable -----	$W = 5,58 \text{ cm}^2$
- Diamètre extérieur de la gaine -----	$\varnothing_e = 5,05 \text{ cm}$
- Coefficient de frottement cable-gaine -----	$\varphi = 0,17$
- coefficient de Perte -----	$\beta = 0,002 \text{ rad/°}$
- Perte par blocage d'ancrage -----	$g = 5 \text{ mm}$
- Rayon de Courbure minimum du cable -----	$R_{\min} = 600 \text{ cm}$
- Relaxation à 1000h -----	$\delta_{1000} = 0,050$
- Relaxation à 3000h -----	$\delta_{3000} = 0,060$

## Dimensionnement DES POUTRES

Pour une portée  $L \geq 20m$ , la hauteur doit être prise en respectant la double inégalité suivante :  $\frac{L}{20} - 0,20 \leq ht \leq \frac{L}{20} + 0,5$  [1]

Dans notre cas  $L = 25,5m$

$$1,075 \leq ht \leq 1,775 \Rightarrow [1] \text{ est vérifiée}$$

- L'épaisseur de l'âme doit être prise en respectant l'inégalité  $e \geq \frac{ht}{40} + 9$  [2]

Dans notre cas  $e = 18cm$ ;  $e \geq 12,75cm \Rightarrow [2] \text{ est vérifiée}$

Notation: ( $\Gamma-\Gamma$ ): axe pris au niveau de la fibre supérieure extrême

- $Z$ : distance du centre de gravité de la section à l'axe ( $\Gamma-\Gamma$ )
- $B$ : aire de la surface considérée
- $S_{\Delta \text{ brut}}$ : Moment statique de la section par rapport à l'axe ( $\Gamma-\Gamma$ )
- $I_{\Delta \text{ brut}}$ : Moment d'inertie de la section par rapport à l'axe ( $\Gamma-\Gamma$ )

Le calcul de  $I_{\Delta \text{ brut}}$  se fait de la manière suivante :

\* Pour les rectangles de hauteur  $h$  dont un côté coïncide avec l'axe ( $\Gamma-\Gamma$ ) on a :  $I_{\Gamma \text{ brut}} = \frac{bh^3}{3}$  or  $S_{\Delta \text{ brut}} = \frac{bh^2}{2}$

$$I_{\Delta \text{ brut}} = S_{\Delta \text{ brut}} \times Z' \quad \text{avec } Z' = \frac{2}{3}h$$

\* Pour les autres rectangles ou triangles on applique le théorème de HUYGENS :  $I_{\Delta \text{ brut}} = I_0 + S_{\Delta \text{ brut}} Z'^2$

$I_0$ : Moment d'inertie propre de la section

$$I_0 = \frac{bh^3}{12} \quad \text{Pour les rectangles}$$

$$I_0 = \frac{bh^3}{36} \quad \text{Pour les triangles}$$

$\rho$ : coefficient de rendement

$i^2$ : rayon de giration

Calcul Pratique Dans les Sections nettes:

Comme on ne connaît pas encore le nombre de câble, nous allons estimer les valeurs des caractéristiques géométriques des sections nettes

$$B_{\text{nette}} = 0,95 B_{\text{brute}}$$

$$I_{\Delta \text{ net}} = 0,90 I_{\Delta \text{ brut}}$$

$$S_{\Delta \text{ net}} = 0,92 S_{\Delta \text{ brut}}$$

La position du centre de gravité est donnée par

$$V' = ht - v \quad ; \quad v = \frac{S_{\Delta \text{ net}}}{B_{\text{nette}}}$$

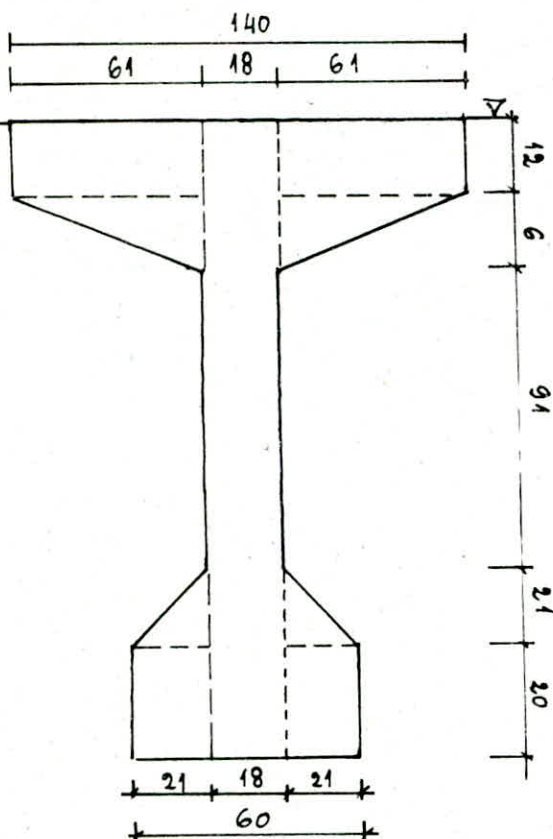
$$\text{Rayon de giration: } i^2 = \frac{I_{\Delta \text{ net}}}{B_{\text{nette}}}$$

$$\text{Coefficient de Rendement: } \rho = \frac{i^2}{VV'}$$

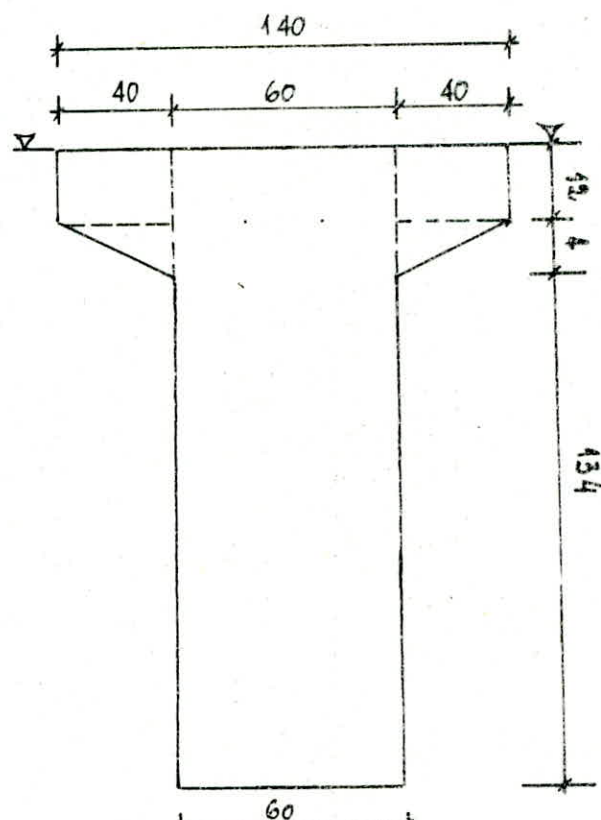
$$I_{G \text{ net}} = I_{\Delta \text{ net}} - S_{\Delta \text{ net}} \cdot v$$

## DISPOSITIONS - DES - CALCULS

POUTRE toute seule :

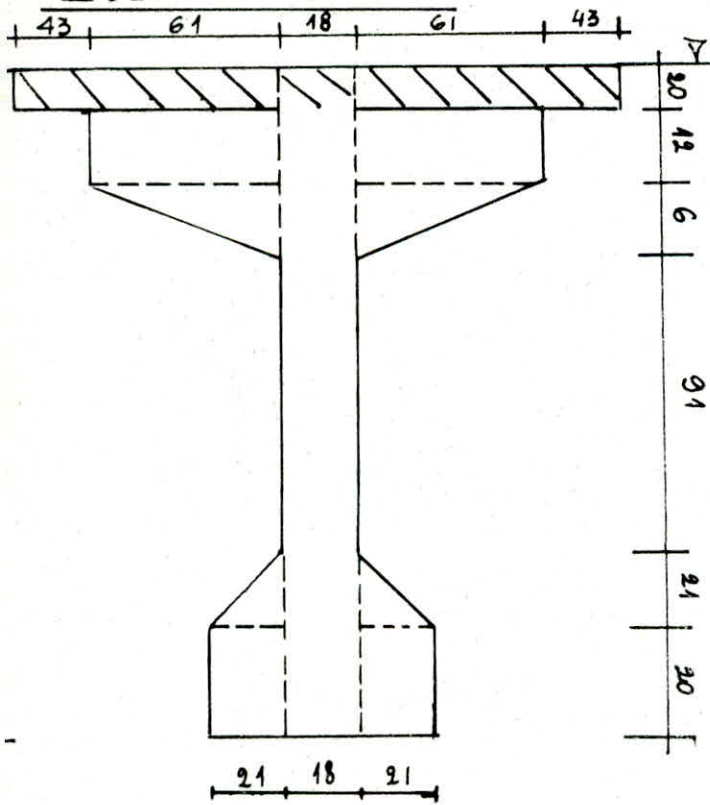


Section - mediane

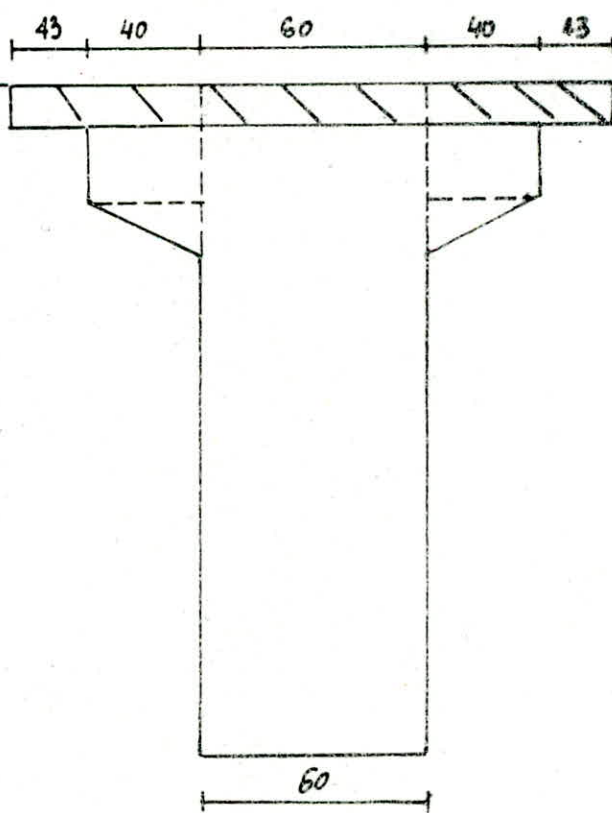


Section d'about

POUTRE + Hourdis



Section - mediane



Section - d'about .

\* : POUTRE toute Seule Section Médiane :

Designation des Parties	Dimensions cm x cm	B cm <sup>2</sup>	Z cm	$S_\Delta = BZ$ cm <sup>3</sup>	Z' cm	$I_\Delta = S_\Delta Z'$ cm <sup>4</sup>
Ame	150x18	2700	75	202500	$\frac{2}{3} \cdot 150$	20250000
table-superieur	2.61.12	1464	6	8784	$\frac{2}{3} \cdot 12$	40272
goussets-sous-table	61.6	366	14	5124	14	71736
$I_\Delta$ goussets	$61.6^3/18$	---	---	---	---	732
talon rectangle	2.20.21	840	140	117600	140	16464000
$I_\Delta$ (talon)	$21.20^3/6$	---	---	---	---	28000
goussets-sur-talon	21.21	441	123	54243	123	6671889
$I_\Delta$ gousset	$21^4/18$	---	---	---	---	10804,5
$B, S_\Delta, I_\Delta$ brut		5811		388251		43567433,5
$B, S_\Delta, I_\Delta$ net		5520,45		357190,91		39210690,15
à déduire	$S_\Delta \cdot V = 357190,92 \times 65$				$\rightarrow I_G$ net =	15993280,35

Position du centre de gravité :  $V = \frac{S_\Delta \text{ net}}{B \text{ net}} = 65 \text{ cm}$  ;  $V' = \overline{h_t - v} = 85 \text{ cm}$   
 Rayon de giration :  $i^2 = \frac{I_G \text{ net}}{B \text{ net}} = 2897 \text{ cm}^2$  ;  
 coefficient de Rendement :  $\rho = \frac{i^2}{V V'} = 0,52$

\* Poutre toute Seule Section d'about

Designations des Parties	Dimensions cm x cm.	B cm <sup>2</sup>	Z cm.	$S_\Delta = BZ$ cm <sup>3</sup>	Z' cm.	$I_\Delta = S_\Delta Z'$ cm <sup>4</sup>
Ame	150.60	9000	75	675000	$\frac{1}{3} \cdot 150$	67500000
table super.	40.12.2	960	6	5760	$\frac{2}{3} \cdot 12$	46080
Goussets sou table	40.4	160	13,33	2133,33	13,33	28437,28
$I_\Delta$ goussets	$\frac{40 \times 4^3}{36} \cdot 2$					142,22
$B, S_\Delta, I_\Delta$ brut		10120		628261,33		67574659,5
$B, S_\Delta, I_\Delta$ net		9614		628261,86		60817194
à déduire	$S_\Delta \cdot V = 628261,86 \times 65 = 408370,9$					40837020,9
				$I_G$ net =		19980173,1

$$V = 65,34 \text{ cm} ; \quad V' = 84,66 \text{ cm} \quad i^2 = 2078$$

$$\rho = 0,37 ; \quad I_G \text{ net} = 19980173,1$$

## Poutre + Hourdis Section médiane

Designation - des Parties	dimensions cm . cm	B cm <sup>2</sup>	Z cm	S <sub>A</sub> = BZ cm <sup>3</sup>	Z' cm	I <sub>A</sub> = S <sub>A</sub> Z' cm <sup>4</sup>
Ame	170 x 18	3060	85	260100	$\frac{2}{3} \cdot 170$	29477133
dalle	104.20.2	4160	10	41600	$\frac{2}{3} \cdot 20$	554528
table. Supérieur	61.12.2	1464	26	38064	26	989664
gousset- sous table	61.6	366	34	12444	34	423096
I <sub>O</sub> goussets	61.6 <sup>3</sup> /18					732
talon rectangle	21.20.2	840	160	134400	160	21504000
I <sub>O</sub> talon	21.20 <sup>3</sup> /6					28000
goussets sur talon	21x21	441	143	63063	143	9018009
I <sub>O</sub> goussets	21 <sup>4</sup> /18					10804,5
B, S <sub>A</sub> , I <sub>A</sub> (bruts)		10331		549671		62005966,5
B, S <sub>A</sub> , I <sub>A</sub> nets		9815		505698		55805369,85
à déduire	S <sub>A</sub> .V = 505698 x 51,52 =					26053560,96
					I <sub>G</sub> <sup>net</sup> = 29751809	

$$V = 51,52 \text{ cm} ; V' = 170 - 51,52 = 118,47 \text{ cm}.$$

$$I_G^{\text{net}} = 29751809 \text{ cm}^4 ; f = 0,49$$

$$x^2 = 3031 \text{ cm}^2$$

## Poutre + Hourdis Sections d'about.

Designation - des Parties	Dimensions cm . cm	B cm <sup>2</sup>	Z cm	S <sub>A</sub> = BZ cm <sup>3</sup>	Z' cm	I <sub>A</sub> = S <sub>A</sub> Z' cm <sup>4</sup>
Ame	170.60	10200	85	867000	$\frac{2}{3} \cdot 170$	98260000
dalle	83.20.2	3320	10	33200	$\frac{2}{3} \cdot 20$	442666,66
table. Supérieur	40.12.2	960	26	24960	26	648960
goussets sous table	40.4	160	33,33	5333,33	33,33	177759,9
I <sub>O</sub> (goussets)	40.4 <sup>3</sup> /18					142,99
B, S <sub>A</sub> , I <sub>A</sub> bruts		14640		930493,33		99529529
B, S <sub>A</sub> , I <sub>A</sub> nets		13908		856053,86		89576576
à déduire		S <sub>A</sub> .V =				52690115
					I <sub>G</sub> <sup>net</sup>	36886460,92

$$V = 61,55 \text{ cm} ; V' = 108,45 \text{ cm} ; x^2 = 2652,17 \text{ cm}^2 ; f = 0,40$$

Tableau recapitulatif des Caractéristiques  
géométriques des Sections

SECTIONS				
	Poutre + Dalle	Poutre (Seule)		
Sections →	mediane	About	mediane	about.
B brut (cm <sup>2</sup> )	10331	14640	5811	10120
B net (cm <sup>2</sup> )	9815	13908	5520,45	9614
S <sub>A</sub> brut (cm <sup>3</sup> )	549671	930493,33	388251	682893,33
S <sub>A</sub> net (cm <sup>3</sup> )	505698	856053,86	357190,92	628261,86
I <sub>A</sub> brut (cm <sup>4</sup> )	62005966,5	99529529	43567433,5	67574659,5
I <sub>A</sub> net (cm <sup>4</sup> )	55805369,85	89576576	39210690,15	60817194
I <sub>G</sub> net (cm <sup>4</sup> )	29751809	36886460,92	15993280,35	19980173,10
V <sub>S</sub> (cm)	51,52	61,55	65	65,34
V <sub>i</sub> (cm)	118,47	108,45	85	84,66
i <sup>2</sup> (cm <sup>3</sup> )	3031	2652,17	2897	2078
f	0,49	0,40	0,52	0,37

**CALCUL DES EFFORTS**

On étudie une seule travée dont la portée  $L = 25,5 \text{ m}$

\* - Sous charges Permanentes : (G)

- Poutre :  $2,5 \left[ (2 \times 1,475 \times 1,012 + 1,0 \times 0,797) + (21,50 \times 0,581) \right] = 42,68 \text{ t}$
- garde corps :  $25,5 \times 0,1 = 2,55 \text{ t}$
- poids propre de la dalle :  $2,26 \cdot 0,2 \cdot 26,475 \cdot 2,5 = 29,92 \text{ t}$
- poids propre de l'étanchéité + revêtement routier  
renouant à une Poutre intermédiaire  
 $2,26 \cdot 0,08 \cdot 26,475 \cdot 2,3 = 11 \text{ t}$
- poids propre d'un trottoir renouant à une Poutre de Rive  
 $(0,06 \times 0,6 + 2,42 \frac{(0,28+0,22)}{2}) \times 26,475 \times 2,5 + 0,05 \times 26,475 = 43,75 \text{ t}$

\* - Poids renouant à une Poutre de Rive :

$$G_1 = 42,68 + 29,92 + 43,75 = 116,35 \text{ t}$$

- Poids Revenant à une Poutre intermédiaire

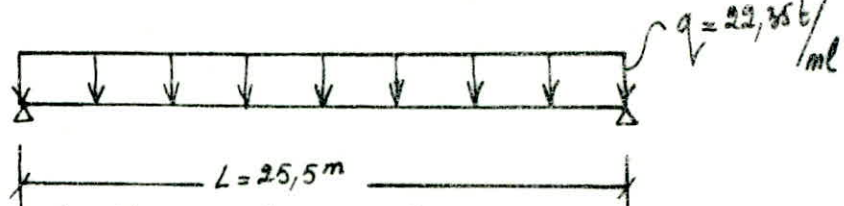
$$G_2 = 42,68 + 29,92 + 11 = 83,6 \text{ t}$$

- charge Permanente globale :

$$G = 2G_1 + 4G_2 = 116,35 \times 2 + 4 \cdot 83,6 + 2,55 = 570 \text{ t}$$

$$q = \frac{G}{L} = \frac{570}{25,5} = 22,35 \text{ t/m}$$

Schéma statique :



à une distance " $x$ " de l'appui gauche on a :

$$M_0(x) = q \frac{x}{2} (L-x) ; \quad T(x) = q \left( \frac{L}{2} - x \right)$$

Seuil :	0	$L/8$	$L/4$	$3L/8$	"S"	$L/2$	
$M_0(\text{t.m})$	0	794,77	1362,47	1703,09	1783,38	1816,63	
$T(\text{t})$	284,96	213,72	142,48	71,24	38,55	0	

\* Sous - Surcharges A(l)

Caractéristique du Pont :  $l_r = l_s = 8 \text{ m}$

$$- N = E \left( \frac{l_s}{3} \right) = 2 \text{ voies}$$

$$- l_r = 4 \text{ m}$$

- classe du Pont :  $l_r > 7 \text{ m} \Rightarrow$  Pont de 1<sup>ère</sup> classe.

$$A(l) = 230 + \frac{36000}{L+12} (\text{kg/m}^2)$$

$L$  : donnée par la ligne d'influence.

$$L = 25,5 \text{ m} \Rightarrow A_L = 1190 \text{ kg/m}^2$$

$$A = k A_L \frac{b_0}{l_0} ; \quad l_0 = 3,50 \text{ m}$$

Pour une voie ou 2 voies chargées  $k=1$  (tableau)

$$A = 1041,25 \text{ kg/m}^2$$

\* Moment fléchissant :

$$M = q_s s ; \quad q_s = n A l_0 ; \quad n = \text{nbre de voies chargées}$$

$$s = ab/2$$

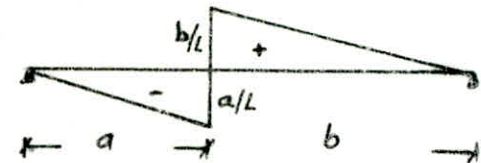
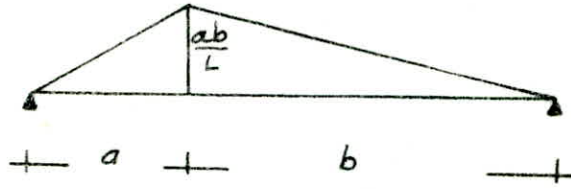
\* Efforts tranchant :

$$S_{\max} = \frac{b^2}{2L} ; \quad T = q_s s ; \quad s = \frac{b^2}{2L}$$

Ligne d'influence des M<sub>fléchissants</sub>:

L.I. efforts tranchants

$$a = 11,025 \text{ m} ; \quad b = 14,475 \text{ m}$$



Section		0	L/8	L/4	3L/8	"S"	L/2
M(t.m)	1 voie	0	148,94	254,20	317,75	332,73	338,94
	2 Voies	0	296,48	508,4	635,5	665,46	677,88
T(t)	1 voie	53,16	40,70	29,90	20,76	17,13	13,29
	2 Voies	106,33	81,41	59,81	41,53	34,26	26,58

\* Sous-Surcharges de trottoirs :

- charges Unif<sub>t</sub> réparties  $0,15 \text{ t/m}^2$

1 trottoir chargé :  $q = 0,15 \text{ t/m} = 0,15 \cdot 2,50 = 0,375 \text{ t/m}$

2 trottoirs chargés :  $q = 2 \times 0,375 = 0,750 \text{ t/m}$

\* M<sub>fléchissants</sub>

$$M = q_s s ; \quad s = \frac{ab}{2} ;$$

\* efforts tranchants

$$T = q_s s ; \quad s = \frac{b^2}{2L}$$

Sections		0	L/8	L/4	3L/8	"S"	L/2
M(t.m)	1 trottoir	0	13,33	22,65	28,57	29,92	30,48
	2 trottoirs	0	26,66	45,71	57,14	59,84	60,96
T(t)	1 trottoir	4,78	3,66	2,68	1,86	1,54	1,19
	2 trottoirs	9,56	7,32	5,37	3,73	3,08	2,39

\* Sous Surcharges  $b_c$  :

- Calcul des coefficients de Majoration dynamiques. "S"

$$S = 1 + \frac{0,4}{1+0,2L} + \frac{0,6}{1+4P/S}$$

$$L = 25,5 \text{ m}$$

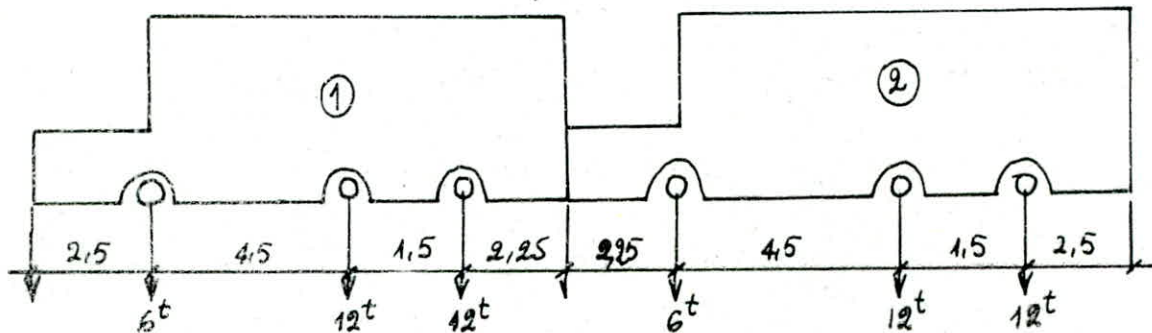
P : poids total du tablier correspondant à cette travée

S : Surcharge maximale qu'on peut appliquer sur le tablier de cette travée

- \* Pour un convoi  $\Rightarrow b_c = 1,2 \Rightarrow S = 1,080$
- \* Pour deux convois  $\Rightarrow b_c = 1,1 \Rightarrow S = 1,095$

Règlement : - On dispose dans le sens transversal autant de convois que il ya de voies de circulation

- Dans le sens longitudinal le nombre de camions à disposer est limité à deux.

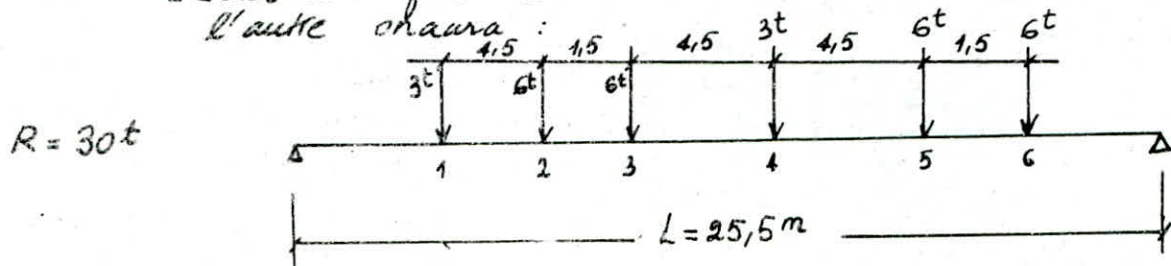


La charge  $P_k$  qui provoque le moment maximum répond à la condition suivante :

$$\sum_{k=1}^{K-1} P_k \leq R/2 \leq \sum_{k=1}^K P_k$$

R : résultante des charges disposées sur le pont

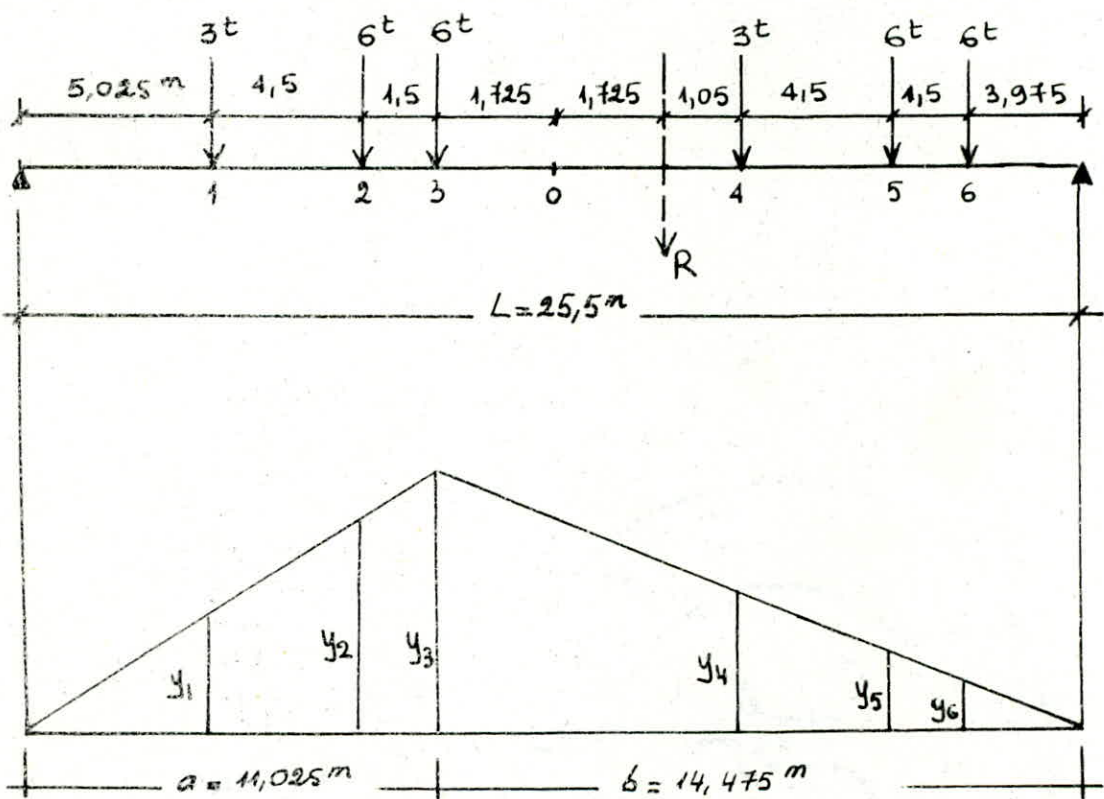
- Pour une file de Roues de 2 Camions l'un derrière l'autre on aura :



- |   |                      |     |
|---|----------------------|-----|
| 1 | $0 \leq 15 \leq 3$   | Non |
| 2 | $3 \leq 15 \leq 9$   | Non |
| 3 | $9 \leq 15 \leq 15$  | Oui |
| 4 | $15 \leq 15 \leq 18$ | Oui |
| 5 | $18 \leq 15 \leq 24$ | Non |
| 6 | $24 \leq 15 \leq 30$ | Non |

a/\* Sous le dernier essieu du 1<sup>er</sup> camion  $P_3 = 6t$   
 - Position de la résultante R à cet essieu  
 $R_x = 3 \times 4,5 + 6 \cdot 9 + 6 \cdot 10,5 - 3 \cdot 6 - 6 \cdot 1,5$   
 $30x = 103,5 \Rightarrow x = 3,45m.$

Le théorème de Barré nous donne la section dangereuse "S".  
Enoncé du théorème: Le moment fléchissant dû aux charges mobiles sera maximum au droit d'une charge  $P_i$  lorsque cette charge et la résultante R de toutes ces charges appliquées seront symétriques par rapport à l'axe de la poutre.



Calcul des  $y_i$        $y_1 = 2,85 m$      $y_2 = 5,40$      $y_3 = 6,25$   
                                  $y_4 = 4,31$      $y_5 = 2,36$      $y_6 = 1,71$

$M_{max} = \sum P_i y_i \Rightarrow M_{max} = 115,8 t.m.$

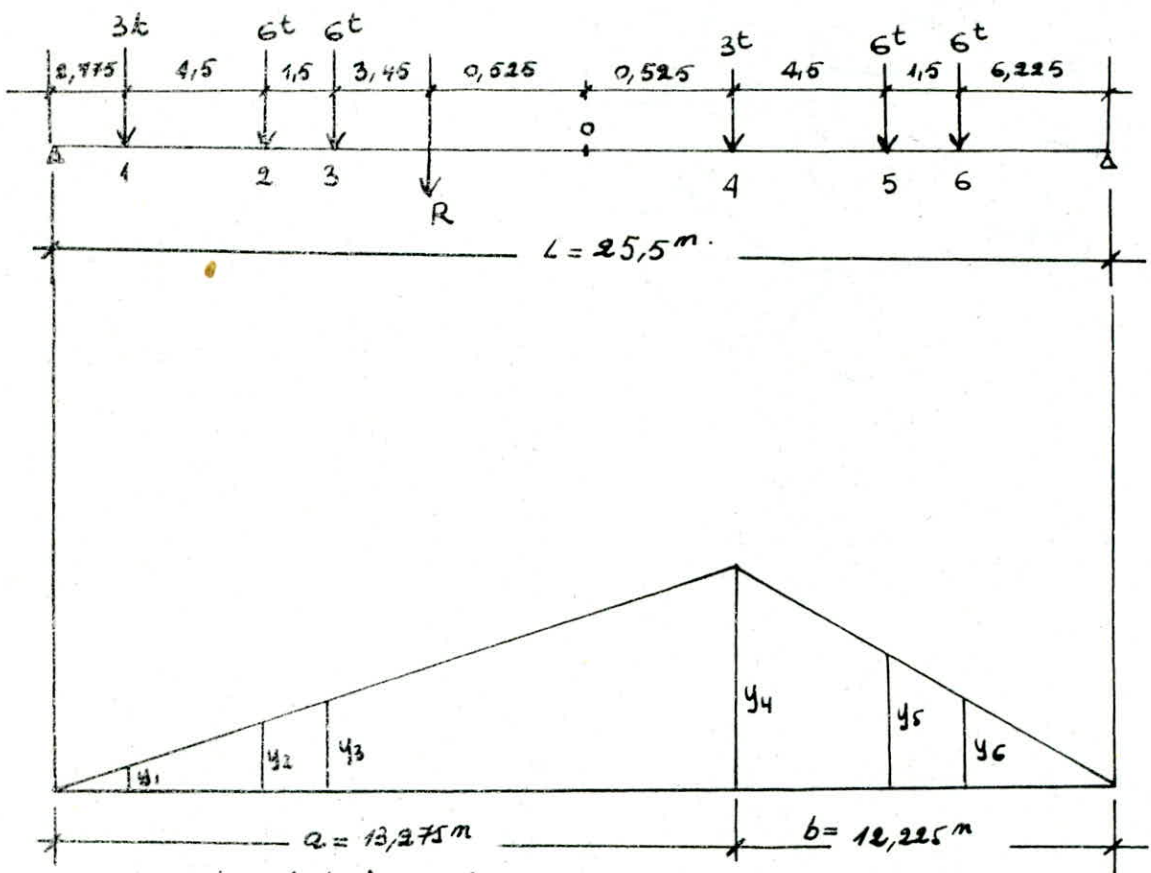
Pour les 4 files de Roues :  $M_{max} = 115,8 \times 4 = 463,2 t.m.$

b/\* Sous le 1<sup>er</sup> Essieu du 2<sup>eme</sup> Camion :  $P_4 = 3t$

Position de R / à cette Essieu

$R_x = 3,5 \Rightarrow x = 1,05 m$       ( $R = 30 t$ )

Le théorème de Barré nous donne :



Déterminons des  $y_i$ :

$$\begin{aligned} y_1 &= 1,33 \text{ m} & y_2 &= 3,48 \text{ m} & y_3 &= 4,20 \\ y_4 &= 6,36 & y_5 &= 4,021 & y_6 &= 3,24 \end{aligned}$$

$$M_{\max} = \sum P_i y_i = 112,23 \text{ t.m.}$$

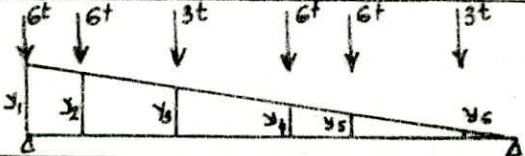
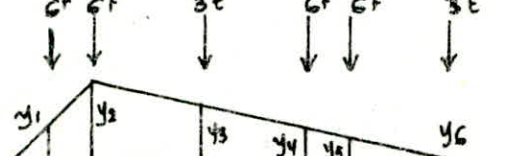
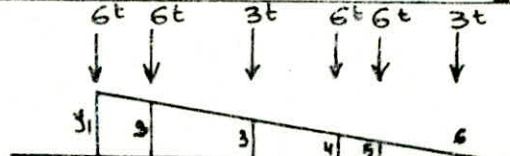
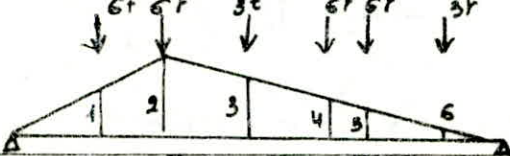
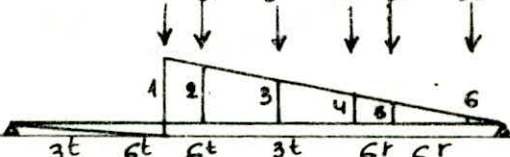
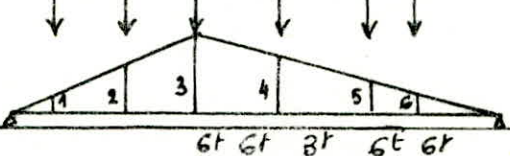
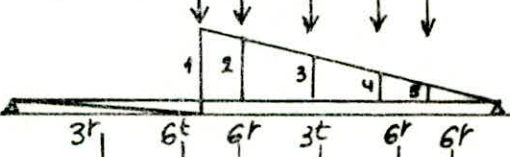
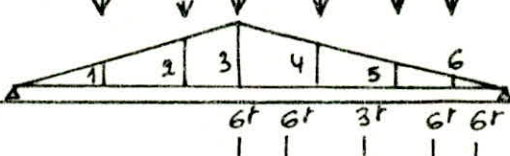
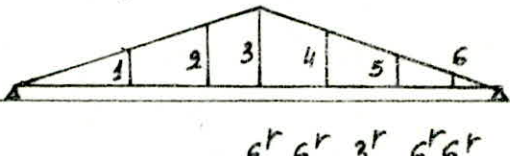
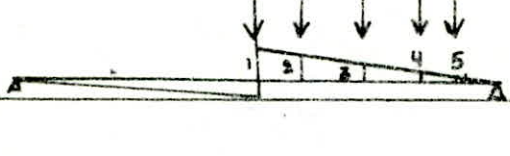
Pour les 4 files de Roues :  $M_{\max} = 448,92 \text{ t.m.}$

Remarque: Le Moment le plus grand est provoqué par le dernier essieu du 1er camion

Résultat:  $M_{\max}$  pour tout le Pont :  $M_{\max} = 115,8 \text{ t.m.}$   
Pour les 4 files de Roues :  $M_{\max} = 463,2 \text{ t.m.}$

$$\text{donc: } a = 11,025 \text{ m} ; b = 14,475 \text{ m.}$$

Dans un premier tableau nous résumerons les résultats obtenus ainsi que la disposition des charges correspondantes et cela pour une file de roues  $B_C$  et pour toute les sections considérées

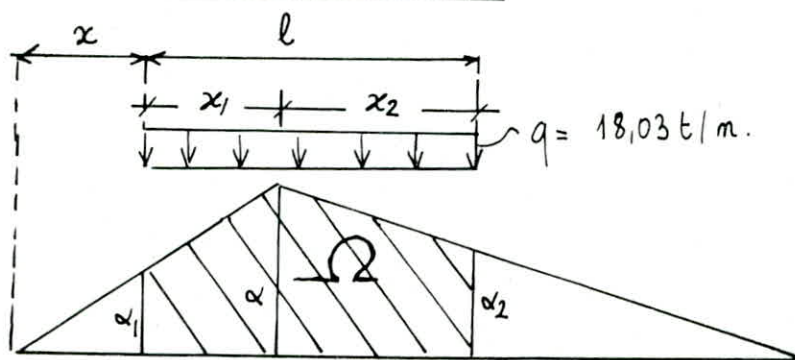
Section	M	Position - défavorable du chargement .	effort-ma
O	T(t)	Pour n'importe quelle Position	O
			$y_1 = 1 ; y_5 = 0,529$ $y_2 = 0,941 ; y_6 = 0,352$ $y_3 = 0,764 ; y_4 = 0,588$ 21,69
L/8	M(t.m)		$y_1 = 1,47 \quad y_2 = 2,78$ $y_3 = 2,22 \quad y_4 = 1,66$ $y_5 = 1,47 \quad y_6 = 0,91$ 53,67
	T(t)		$y_1 = 0,874 \quad y_2 = 0,816 \quad y_3 = 0,639$ $y_4 = 0,463 \quad y_5 = 0,404 \quad y_6 = 0,227$ 17,94
L/4	M(t.m)		$y_1 = 3,65 \quad y_2 = 4,78$ $y_3 = 3,65 \quad y_4 = 2,53$ $y_5 = 3,15 \quad y_6 = 1,031$ 92,70
	T(t)		$y_1 = 0,765 \quad y_2 = 0,704$ $y_3 = 0,524 \quad y_4 = 0,344$ $y_5 = 0,284 \quad y_6 = 0,105$ 13,39
3L/8	M(t.m)		$y_1 = 2,226 \quad y_2 = 5,038$ $y_3 = 5,97 \quad y_4 = 4,28$ $y_5 = 2,60 \quad y_6 = 2,03$ 113,34
	T(t)		$y_1 = 0,637 \quad y_2 = 0,577$ $y_3 = 0,397 \quad y_4 = 0,217$ $y_5 = 0,157 \quad y_6 = 0$ 10,71
*S"	M(t.m)		115,8
	T(t)		$y_1 = 0,567 \quad y_2 = 0,508$ $y_3 = 0,332 \quad y_4 = 0,155$ $y_5 = 0,097$ 8,294
L/2	M(t.m)		$y_1 = 3,375 \quad y_2 = 5,625$ $y_3 = 6,375 \quad y_4 = 4,125$ $y_5 = 1,875 \quad y_6 = 1,125$ 112,5
	T(t)		$y_1 = 0,500 \quad y_2 = 0,441$ $y_3 = 0,264 \quad y_4 = 0,088$ $y_5 = 0,029$ 7,14

Dans le deuxième tableau nous résumons les efforts obtenus pour les différents cas de chargements de la chaussée les valeurs corrigées étant majorées et pondérées

	Sect <sup>θ</sup>	0	L/8	L/4	3L/8	"S"	L/2	
$S = 1,095$	1. convois $b_c = 1,2$	M(t.m)	0	141,04	243,62	297,85	304,32	295,65
		T(t)	57,00	47,14	35,18	28,14	21,79	18,76
	2. Convois $b_c = 1,1$	M(t.m)	0	258,58	446,62	546	557,92	542,02
		T(t)	104,5	86,42	64,52	51,60	39,96	34,40

\* Surcharges Militaire Mc120 :

Moment fléchissant:



$$q = \frac{M}{l} \quad ; \quad M = 110 t \quad ; \quad l = 6,10 m \quad ; \quad L = 25,5 m \\ M_{\max} = 6 q L_{\max}$$

$L_{\max}$  est obtenu en posant:  $\frac{d \Omega}{dx} = 0$  avec  $\Omega = \frac{1}{2} \left[ (\alpha + \alpha_1)(a - x) + (\alpha_2 + \alpha)(l - a + x) \right]$

$$\Omega_{\max} = \frac{ab}{L} \left( l \left[ 1 - \frac{l}{2L} \right] \right)$$

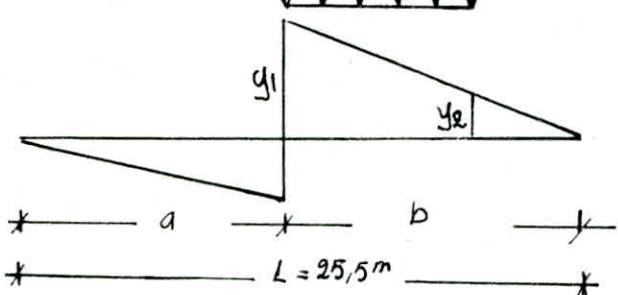
$$\Omega_{\max} = \frac{1}{2} \left[ (\alpha + \alpha_1)(a - x) + (\alpha_2 + \alpha)(l - a + x) \right]$$

Efforts tranchants:

$$y_1 = \frac{b}{L} \quad ; \quad y_2 = \frac{bl}{L}$$

$$S_{\max} = \frac{l}{L} \left( b - \frac{l}{2} \right)$$

$$S_{\max} = q S_{\max}$$



	Section	0	L/8	L/4	3L/8	"S"	L/2
$S = 1,08$	M(t.m)	0	291,66	499,99	624,7	654,12	666,31
	T(t)	104,57	89,72	74,87	60,03	53,21	45,18

SURcharge exceptionnelle : D :

Moments fléchissants : avec les mêmes formules que celle utilisée pour le Mc120 en considérant :  $\ell = 18,60 \text{ m}$ ;  $L = 25,5 \text{ m}$ ;  $M = 240 \text{ t}$

$$q = \frac{M}{\ell} = \frac{240}{18,60} = 12,90 \text{ t/m}\ell$$

$$\Omega_{\max} = \frac{ab}{L} \ell \left(1 - \frac{\ell}{2L}\right) ; M_{\max} = q \Omega_{\max} .$$

$$a = 11,025 \text{ m}; b = 14,475 \text{ m}$$

$$\underline{M_{\max} = 5,977 ab}$$

\* Efforts tranchants :

$$S_{\max} = \frac{\ell}{L} \left(b - \frac{\ell}{2}\right) ; T_{\max} = q S_{\max} .$$

$$T_{\max} = 9,4094 (b - 9,3)$$

Sections	0	L/8	L/4	3L/8	"S"	L/2
M (t.m)	0	425,09	728,72	910,90	953,85	971,63
T (t)	152,43	122,43	92,44	62,45	48,69	32,46

# DISTRIBUTION DES EFFORTS DANS LES POUTRES

## Introduction :

les liaisons transversales des éléments porteurs d'une construction jouent un grand rôle par rapport à d'autres autrement dit l'élément ainsi directement chargé va reprendre un pourcentage de charges faibles par rapport au même élément non lié transversalement.

## \*- Rigidité de l'entretoise :

cette rigidité de l'entretoise n'est à envisager que pour les ponts dont la largeur est nettement inférieure à leur portée  $l < \frac{L}{2}$  ce qui est pour notre cas.

- cette rigidité définit essentiellement la méthode de répartition à utiliser son expression s'écrit sous la forme :

$$\gamma = \frac{ma}{2L} \sqrt[4]{\frac{I_p}{I_E}}$$

m : nombre de poutres pples

a : entre axe des poutres pples.

$I_p$  : moment d'inertie propre d'une poutre principale.

$I_E$  : moment d'inertie propre d'une entretoise

L : portée des poutres principales.

Si  $\gamma \geq 0,3$  la rigidité de l'entretoise est prise en compte ; la méthode de M. M. Cuyon et Massonnet est l'une des méthodes actuellement efficace pour le calcul des ponts à poutres multiples en tenant compte de l'effet de la résistance du pont à la torsion.

Si  $\gamma < 0,3$  dans ce cas l'entretoise est infiniment rigide ainsi on ne tient pas compte de la résistance du pont à la torsion. Dans ce cas la méthode de M<sup>e</sup> Gourbon est préférable pour l'étude.

## \*- Calcul de la rigidité de l'entretoise

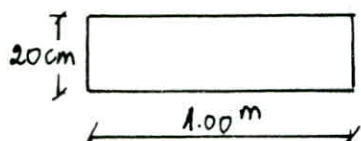
$$m=6 \quad a = 2,26 \text{ m} \quad L = 25,5 \text{ m} \quad I_p = 17627145,78 \text{ cm}^4$$

Notre pont ne comportant pas d'entretoises c'est la dalle qui va jouer le rôle de l'entretoise.

Considérons 1 m de dalle pour le calcul de  $I_E$ .

- le rôle de l'entretoise est de rendre les poutres entre eux plus solidaire.

- calcul de  $I_E$  :  $I_E = \frac{100 \cdot 20^3}{12} = 66666,66 \text{ cm}^4$



$$\gamma = \frac{6}{2} \frac{2,26}{25,5} \sqrt[4]{\frac{15993280,35}{66666,66}} = 1,046 > 0,3$$

ce qui justifie l'utilisation de la méthode de M. M. Cuyon et Massonnet

## Principe de La méthode GUYON - Massonnet:

- A- Le Pont réel est assimilé à un Pont à structure continue qui possède les mêmes rigidités moyennes à la flexion et à la torsion que l'ouvrage réel et qui au sens technique est exactement soluble par le calcul différentiel.
- B- Analyser de manière approché l'effet de la répartition transversale des charges en admettant que cette répartition est la même que si la distribution des charges suivant l'axe du Pont est sinusoidale de la forme :

$$P(x) = P \sin \frac{\pi x}{L}$$

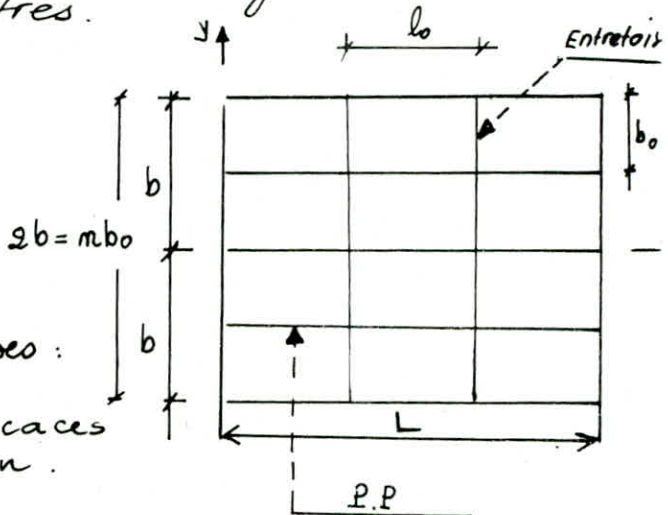
$P$  = valeur constante du chargement.  
 $L$  = Portée des Poutres.

$m$ : nombre de poutres

$2b_0$ : largeur active

$b_0$ : Distance entre 2 poutres opples.

$b$ : Demi-largeur du tablier  
 Supposé comme élément de Resistance.



les Poutres assemblées aux entretiennes :

Les noeuds étant très rigides donc renforçant elles sont efficaces à la flexion qu'à la torsion.

- Rigidité flexionnelle des Poutres :  $B_p = EI_p$

- Rigidité flexionnelle des Entretiennes  $B_E = EI_E$ .

- Rigidité de torsion par unité de longueur des poutres principales

$$\delta_p = \frac{C_p}{b_0}$$

- Rigidité de torsion / unité de longueur des Entretiennes

$$\delta_E = \frac{C_E}{l_0}$$

avec  $C_p = GI_{pt}$  ( $C_p$  = Rigidité torsionnelle des Poutres).

$C_E = GI_{Et}$  ( $C_E$  = Rigidité torsionnelle des entretiennes).

$G$ : étant le module d'élasticité transversale

$$G = \frac{E}{2(1+\nu)}$$

avec  $\nu$ : coefficient de Poisson.

$I_{pt}$ ;  $I_{Et}$  sont les Moments de Torsion

Le tablier est constitué de  $m$  poutres principales espacées de  $b_0$  et de  $n$  entretiennes espacées de  $l_0$  ( $l_0$ : espace fictif)

Les Rigidités flexionnelles par unité de longueur des P.P et des Entretiennes sont :

$$\delta_p = \frac{B_p}{b_0}; \quad \delta_E = \frac{B_E}{l_0}$$

Pour cela l'équation différentielle d'un grillage simple dont les rigidités sont repartis continuellement est :

$$S_p \frac{\partial^4 w}{\partial x^4} + (\gamma p + \gamma E) \cdot \frac{\partial^4 w}{\partial x^2 \partial y^2} + S_E \frac{\partial^4 w}{\partial y^4} = P(x, y)$$

- Si on ne tenait pas compte de l'effet de la résistance du pont à la torsion on posera :

$$(\gamma p + \gamma E) \frac{\partial^4 w}{\partial x^2 \partial y^2} = 0.$$

- Si le Pont est constitué d'une dalle isotrope son équation est celle de Lagrange.

$$\frac{\partial^4 w}{\partial x^4} + 2 \frac{\partial^4 w}{\partial x^2 \partial y^2} + \frac{\partial^4 w}{\partial y^4} = \frac{1}{D} P(x, y).$$

avec :  $D = \frac{E \ell_0^3}{12(1-\nu^2)}$        $\ell_0$  = épaisseur de la dalle  
 $\nu = \frac{E - 2G}{2G}$

Si on pose :  $\gamma p + \gamma E = 2\alpha \sqrt{S_p S_E}$

L'équation devient :  $S_p \frac{\partial^4 w}{\partial x^4} + 2\alpha \sqrt{S_p S_E} \frac{\partial^4 w}{\partial x^2 \partial y^2} + S_E \frac{\partial^4 w}{\partial y^4} = P(x, y)$

l'effet de la torsion se traduit par le paramètre suivant

$$\alpha = \frac{\gamma p + \gamma E}{2 \sqrt{S_p S_E}} \quad \alpha = \text{paramètre de torsion.} \quad 0 \leq \alpha \leq 1$$

$$\theta = \frac{b}{L} \sqrt{\frac{S_p}{S_E}} \quad \theta = \text{paramètre d'entretorsement.}$$

Ce paramètre  $\theta$  détermine la souplesse de l'entretorsement.

Plus  $\theta$  est grand et plus l'entretorsement est souple.  
 Ces deux paramètres ( $\theta, \alpha$ ) définissent le comportement du pont à structure continue.

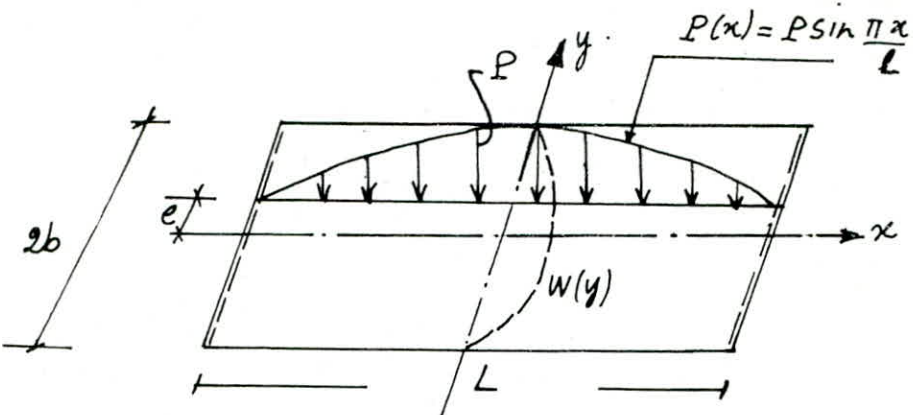
### Coefficients de Répartition transversale : $K(x)$ :

Soit une charge linéaire répartie sur la construction sur une droite parallèle à l'axe ( $x-x$ ) excentré de  $c$ .  
 Cette charge est supposée répartie suivant la sinusoidale

$$P(x) = \frac{P}{L} \sin \frac{\pi x}{L}$$

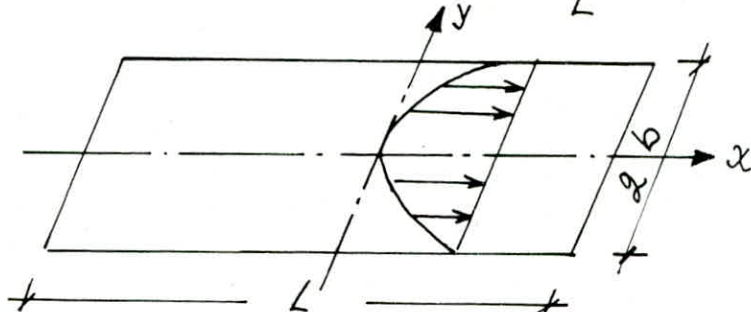
La construction prend alors une déformation en demi-onde de sinusoidale selon l'équation.

$$w(x, y) = w(y) \sin \frac{\pi x}{L}$$



Si maintenant la charge  $P(x)$  est répartie uniformément sur la largeur  $2b$  tout en restant sinusoidale dans le sens de la largeur la construction prend alors dans le cas une déformée en surface cylindrique d'équation

$$w_0(x) = w_0 \sin \frac{\pi x}{L}$$



Par définition on appelle coefficient de répartition transversale le rapport sans dimension  $K(y) = \frac{w(y)}{w_0}$

$$K(y) = \frac{w(x, y)}{w_0(x)} = \frac{w(y)}{w_0}$$

Le coefficient de répartition transversale dépend des :

- paramètres d'entretoisement  $\theta$ .
- paramètre de torsion  $\alpha$
- excentricité relative  $e/b$  de la charge linéaire
- ordonnée relative  $y/b$  du point considéré du pont.

- d'étude de plusieurs cas ont permis à M.M. Massonnet d'établir une formule d'interpolation suivante

$$K\alpha = K_0 + (K_1 - K_0) \sqrt{\alpha}.$$

Pour le calcul exact nous utilisons la relation de Sattler.

$$K_0 = K(\alpha=0; \theta, \frac{e}{b}; \frac{y}{b})$$

$$K_1 = K(\alpha=1; \theta; \frac{e}{b}; \frac{y}{b})$$

$K_0$  et  $K_1$  sont données par les tableaux de M. Massonnet:  
Relation de Sattler:

$$0 < \theta \leq 0,1 \Rightarrow K\alpha = K_0 + (K_1 - K_0) \alpha^{0,05} \quad 0,765 - \theta$$

$$0,1 < \theta \leq 1 \Rightarrow K\alpha = K_0 + (K_1 - K_0) \alpha^{(1 - e^{\frac{0,765 - \theta}{0,663}})}$$

$$\theta > 1 \Rightarrow K\alpha = K_0 + (K_1 - K_0) \sqrt{\alpha}$$

## Largeur active et Position active

Dans la méthode qui vient d'être exposée, toutes les valeurs se basent sur la largeur du système actif. Pour un Pont à Poutres, la largeur à considérer est la suivante.

$$2b = (n-1)b_0 + \frac{2b_0}{2} = nb_0$$

$n$  = nombre de Poutre  $n = 6$

$b_0$  = entre-axe des Poutres  $b_0 = 2,26\text{m}$ .

$$2b = 13,56\text{m} \quad b = 6,78\text{m}$$

La Méthode de M. Cuyon et Massonet est justement basée sur cette largeur active

## \* - CALCUL - DES - Paramètres $\theta$ et $\alpha$ :

Pour une Poutre à section variable le moment d'inertie moyen  $I_m$  est donné par :

$$I_m = I_{ab} + \frac{8}{3\pi} (I_{med} - I_{ab})$$

$$I_{ab} = 0,9 \cdot 40984956,58 = 36886460,92 \text{ cm}^4$$

$$I_{med} = 0,9 \cdot 33057565,56 = 29751809,0 \text{ cm}^4$$

$$I_p = I_m = 30830380,28 \text{ cm}^4 \quad ; \quad b_0 = 2,26 \text{ m}$$

$$I_E = 66666,66 \text{ cm}^4$$

$$\rho_p = \frac{B_p}{b_0} = \frac{E I_p}{b_0} = \frac{136417,61 E}{2,26} = 136417,61 E$$

$$\rho_E = \frac{E \cdot I_E}{l_0} = 666,66 E \quad \text{avec } l_0 = 1,00 \text{ m.}$$

Comme il n'y a pas d'entretoises intermédiaires la dalle va jouer ce rôle de solidarité. L'espace fictif de ces entretoises est  $l_0 = 1,00 \text{ m}$

$$\theta = \frac{b}{L} \sqrt{\frac{\rho_p}{\rho_E}} = \frac{6,78}{26,5} \sqrt{\frac{136417,61}{666,66}} \approx 1,0086$$

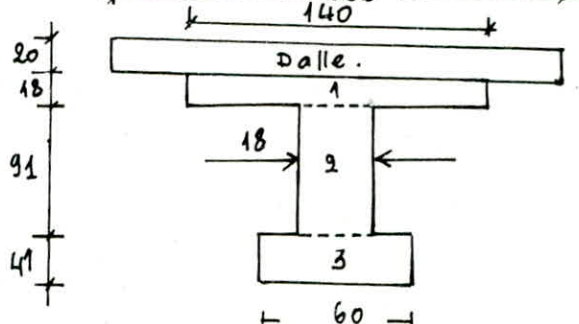
Prenons :  $\theta = 1$

Pour toute les travées (rive - intermédiaire)

## \* CALCUL - DES - Rigidités torsionnelles par unité de Longueur:

Pour simplifier les calculs on modifie légèrement la géométrie de la Section elle devient la suivante :

Nous décomposons la section de la poutre en surfaces rectangulaires élémentaires



$$C_p = \frac{G}{3} \sum_{i=1}^3 b_i h_i + \frac{G}{3} \cdot \frac{1}{2} b^3 h$$

$$C_p = \frac{G}{3} (41^3 \cdot 60 + 18^3 \cdot 91 + 18^3 \cdot 140 + \frac{1}{2} \cdot 20^3 \cdot 226)$$

$$C_p = 212\,881\,733 G = 92\,557\,275 E \text{ kg.cm}^2$$

$$\gamma_p = \frac{C_p}{b_0} = \frac{92\,557\,275 E}{226} = 4095,45 E$$

Pour l'entretoise :

$$C_E = \frac{G}{3} \left( \frac{1}{2} b h^3 \right) = \frac{G}{3} \left( \frac{1}{2} \cdot 20^3 \cdot 100 \right) = 133\,333,33 G$$

$$C_E = 57971,01 E \text{ kg.cm}^2$$

$$\gamma_E = \frac{C_E}{l_0} = \frac{57971,01 E}{100} = 579,710 E$$

Paramètre de torsion  $\alpha$  :

$$\alpha = \frac{\gamma_p + \gamma_E}{2 \sqrt{\rho_p \rho_E}} \Rightarrow \alpha = 0,235 ; \theta = 1$$

DETERMINATION DES COEFFICIENTS DE REPARTITIONS :  $K\alpha$ :

$$\theta = 1 \Rightarrow K\alpha = K_0 + (K_1 - K_0) \alpha^{1 - e^{\frac{0,065 - \theta}{0,663}}}$$

$$K\alpha = 0,66 K_0 + 0,34 K_1$$

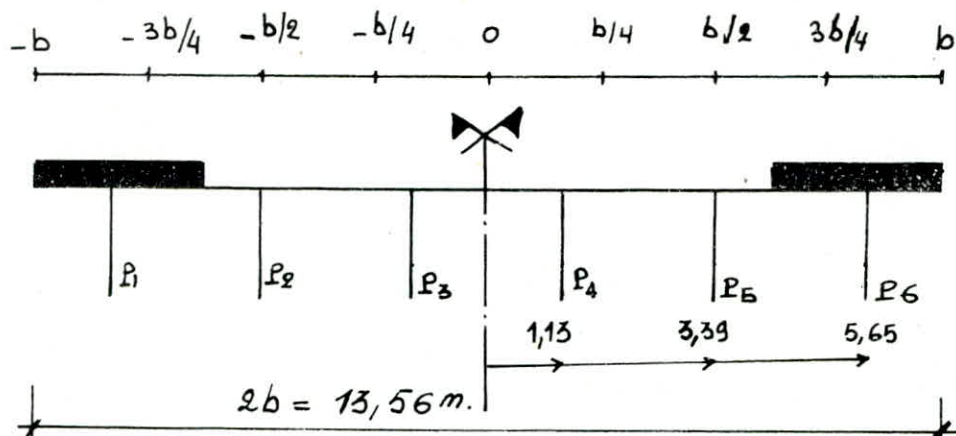
$K_0$  et  $K_1$  sont données par les tables figurant dans l'ouvrage de Barres et Massonnet précédemment cité en fonction de  $\theta$ , de l'excentricité de la charge ( $e$  ( $e = -b, -3b/4, -b/2, -b/4, 0, b/4, b/2, 3b/4, b$ )) et de la position de la poutre ( $y$  ( $y = 0, b/4, b/2, 3b/4, b$ )). On interpose pour les positions intermédiaires.

$$\theta = 1 ; K\alpha = 0,66 K_0 + 0,34 K_1$$

$y \setminus e$	-b	$-3b/4$	$-b/2$	$-b/4$	0	$b/4$	$b/2$	$3b/4$	b
0	-0,2395	0,3335	0,9852	1,6981	2,1166	1,6981	0,9852	0,3335	-0,2395
$b/4$	-0,2706	0,0462	0,4445	1,0089	1,6981	2,1210	1,6999	0,9429	0,1807
$b/2$	-0,1622	-0,0467	0,1257	0,4445	0,8856	1,6999	2,2017	1,9287	1,3829
$3b/4$	-0,0257	-0,0503	-0,0467	0,0462	0,5335	0,9429	1,9287	3,0372	3,7646
b	0,1128	-0,0257	-0,1622	-0,2706	-0,9395	0,1807	1,3829	3,7646	7,2927

Nous allons alors déterminer les valeurs de  $K\alpha$  correspondant aux positions réelles des poutres  $R_i$  par interpolation en appliquant la formule  $K\alpha = 0,66 K_0 + 0,34 K_1$ .

- Les Positions réelles des Poutres sont schématisées ci dessous.



$y \setminus e$	$-b$	$-3b/4$	$-b/2$	$-b/4$	$0$	$b/4$	$b/2$	$3b/4$	$b$
Poutre 4-3 $y = 1,13$	-0,2602	0,1419	0,6247	1,2386	1,8376	1,9800	1,4612	0,7397	0,0406
POUTRE 5-2 $y = 3,39$	-0,1622	-0,0467	0,1957	0,4445	0,8856	1,6492	2,2017	1,9287	1,3829
Poutre 6-1 $y = 5,65$	-0,0204	-0,0421	-0,0852	-0,0594	0,1425	0,6888	1,7467	3,2796	4,9406

Ces valeurs de  $K_\alpha$  vont nous permettre de tracer les lignes d'influences des coefficients de  $K_\alpha$  pour chaque poutre  $i$ .

#### - CALCUL DU coefficient de répartition transversale : $K_\alpha$ .

\* cas des surcharges localisées: On détermine les coordonnées  $y_i$  de la ligne d'influence  $K_\alpha$  sous chaque surcharge le coefficient  $K_\alpha$  sera obtenu par la relation ci dessous :

$$K_\alpha = \frac{\sum P_i y_i}{\sum P_i}$$

Comme dans le sens transversal les charges  $P_i$  ont même valeur la relation devient alors

$$K_\alpha = \frac{\sum y_i}{n}$$

avec  $n = \text{nombre de fil de Roues ou de chenilles}$

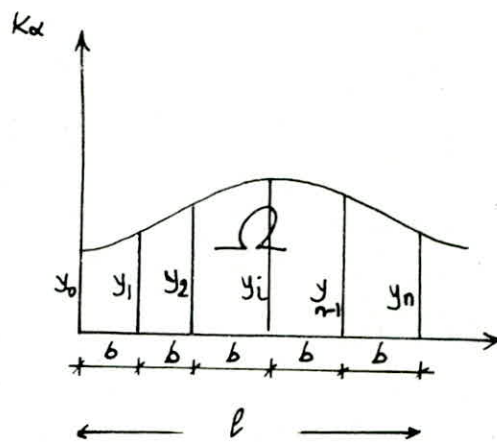
#### \* Cas des surcharges et charges uniformément répartis dans le sens transversal:

$$K_\alpha = \frac{\Omega}{l}$$

L'aire  $\Omega$  sera calculé par la méthode des trapèzes qui consiste à subdiviser la surface  $\Omega$  en petite surface  $\Omega_i$  de petite largeur  $b$

$$\Omega = b \left( \frac{y_0}{2} + y_1 + \dots + y_{n-1} + \frac{y_n}{2} \right) = \sum_i \Omega_i$$

$\Omega$  = aire d'influence  
 $l$  = largeur chargée



\* Coefficients de répartition transversale  $K_x$ .

\* Calcul des Efforts dans les Poutres:

\* Moments fléchissants

$$M_i = K_{xi} \frac{M_0}{n}$$

$M_i$ : moment fléchissant revenant à la poutre une fois répartis

$M_0$ : moment total sollicitant la poutre

$n$ : nombre total de poutres.

\* Efforts tranchants:

$$T_i = K_{xi} \frac{T_0}{n}$$

$T_i$ : effort tranchant revenant à la poutre une fois répartis

$T_0$ : efforts tranchant sollicitant la poutre sous charges et surcharges.

$n$ : nombre total de poutres. ( $n=6$ ) .

		$y = 1,13$	$y = 3,39$	$y = 5,65$
	G	0,98	0,95	0,97
TROTTOIRS	1 trottoir	0,514	1,608	4,22
	2 trottoirs	0,496	1,299	4,16
A(l)	1 voie chargée	1,66	1,719	1,30
	2 voies chargées	1,347	1,032	0,629
B	1 convoi	1,48	1,99	1,62
	2 convoi	1,66	1,607	1,005
MC 120		1,645	1,66	1,098
Convoi (D)		1,629	0,892	0,175

POUTRE :  $y = 1,13$ .

		K <sub>α</sub>	O	L/8	L/4	3L/8	"S"	L/2.
G	0,98	M	0	129,81	222,53	278,17	291,28	296,71
		T	46,54	34,90	23,27	11,63	6,29	0
A(0)	1 voie chargé	1,66	M	0	41,01	70,32	87,91	92,05
			T	14,70	11,26	8,27	5,53	3,67
Trottoirs	2 voies - charges	1,347	M	0	66,55	114,13	142,66	149,39
			T	23,87	18,27	13,42	9,32	7,69
B	1 trot- charge	0,514	M	0	1,14	1,95	2,44	2,56
			T	0,409	0,31	0,22	0,159	0,13
C	2 trot- charges	0,496	M	0	2,20	3,77	4,72	4,94
			T	0,79	0,60	0,44	0,30	0,25
MC120	1 convoi	1,48	M	0	34,78	60,09	73,46	75,06
			T	14,06	11,62	8,67	6,94	5,37
D	2 convois	1,66	M	0	71,54	123,64	151,01	154,55
			T	28,91	23,90	17,85	14,97	11,05
convoy (D)	1,629	1,645	M	0	71,73	130,08	171,18	179,33
			T	28,66	24,59	20,52	16,45	14,58
			M	0	115,41	197,84	247,30	258,97
			T	41,38	33,23	25,09	16,95	13,21
								8,81

* Combinaisons *	G + 1,1(T <sub>R</sub> +A)	M	0	205,43	352,22	440,28	461,04	469,64
		T	73,66	55,65	38,51	22,21	15,02	6,77
	G + 1,1(T <sub>R</sub> +B <sub>C</sub> )	M	0	210,92	362,68	449,47	466,49	467,18
		T	79,21	61,85	43,38	27,65	18,72	10,68
	G + MC120	M	0	201,54	359,61	449,35	470,61	479,38
		T	75,90	59,49	43,79	28,08	20,87	12,38
	G + C <sub>D</sub>	M	0	245,92	420,37	585,47	550,25	560,5
		T	87,92	68,13	48,31	28,58	19,5	8,81

POUTRE :  $y = 3,39$

		$K_x \downarrow$	0	L/8	L/4	3L/8	"S"	L/2
G	0,95	M	0	125,83	215,72	269,65	282,36	287,63
		T	45,11	33,83	22,55	11,27	6,10	0
Tr. 1 trott. chargeé	1,608	N	0	3,57	6,12	7,65	8,01	8,16
		T	1,28	0,98	0,71	0,49	0,41	0,31
Tr. 2 trott. chargeé	1,999	N	0	5,77	9,89	12,37	12,95	13,19
		T	2,06	1,58	1,16	0,81	0,66	0,51
A(l)	1,719	M	0	42,47	72,82	91,03	95,32	97,10
		T	15,23	11,66	8,56	5,94	4,90	3,80
Bc	1,032	N	0	50,99	87,44	109,30	114,45	116,59
		T	18,28	14	10,28	7,14	5,89	4,57
Bc	1,99	M	0	46,77	80,80	98,78	100,93	98,05
		T	18,90	15,63	11,66	9,33	7,22	6,22
Bc	1,607	N	0	69,25	119,61	146,23	149,42	145,17
		T	27,98	23,14	17,28	13,82	10,70	9,21
MC	120	1,66	M	0	80,69	138,33	172,83	180,97
			T	28,93	24,82	20,71	16,60	14,72
Convoi (D)	0,892		N	0	63,19	108,33	135,42	141,80
			T	22,66	18,20	13,74	9,28	7,23
								4,82

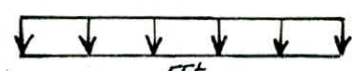
combinations	G + 1,1(Tr+A)	M	0	188,26	322,78	403,48	422,5	430,38
		T	67,48	50,96	35,15	20,01	13,30	5,58
	G + 1,1(Tr+Bc)	M	0	208,35	358,17	444,1	460,96	461,82
		T	78,15	61,02	42,83	27,36	18,59	10,69
	G + Mc120	M	0	206,59	354,05	442,48	463,33	471,97
		T	74,04	58,65	43,26	27,87	20,82	12,49
	G + C(D)	M	0	189,02	324,05	405,07	424,16	432,07
		T	67,77	52,03	36,29	20,55	13,33	4,82

POUTRE :  $\Sigma = 5,65$

		$K_a$ ↓	O	L/8	L/4	3L/8	"S"	L/2	
<b>G</b>		0,97	M	0	128,48	220,26	275,33	288,31	293,58
Trottoir	1 trottoir chargé	4,22	T	46,06	34,55	23,03	11,51	6,23	0
	2 trottoirs chargés	4,16	M	0	9,37	16,07	20,09	21,04	21,43
A(l)	1 voie chargé	1,30	T	3,36	2,57	1,88	1,30	1,08	0,83
	2 voies chargées	0,699	M	0	18,48	31,69	39,61	41,48	42,26
Bc	1 convoi	1,62	T	6,62	5,07	3,72	2,58	2,13	1,65
	2 convois	1,005	M	0	32,11	55,07	68,84	72,09	73,43
MC 120		1,098	T	11,51	8,81	6,47	4,49	3,71	2,87
Convoi (D)		0,175	M	0	31,08	53,29	66,62	69,76	71,06
			T	11,14	8,53	6,27	4,35	3,59	2,78
			M	0	38,08	65,77	80,41	82,16	79,82
			T	15,39	12,72	9,49	7,59	5,88	5,06
			M	0	43,31	74,80	91,45	93,45	90,78
			T	17,5	14,47	10,80	8,64	6,69	5,76
			M	0	53,37	91,49	114,32	119,7	121,93
			T	19,13	16,41	13,70	10,98	9,73	8,26
			M	0	12,39	21,25	26,56	27,82	28,33
			T	4,44	3,57	2,69	1,82	1,42	0,94

combinations	$G + 1,1(T_R + A)$	M	0	184,19	315,69	394,62	412,90	420,83
		T	66	49,81	34,23	19,28	12,65	4,97
	$G + 1,1(T_R + B_c)$	M	0	196,44	337,40	419,49	436,73	439,92
		T	72,59	56,04	39,00	23,85	15,93	8,15
	$G + MC 120$	M	0	181,85	311,75	389,65	408,01	415,51
		T	65,15	50,96	36,73	22,49	15,96	8,26
	$G + C(D)$	M	0	140,87	241,51	301,89	316,13	321,91
		T	50,5	38,12	25,72	13,33	7,65	0,94

POUTRE       $Y = 1.13 \text{ m}$



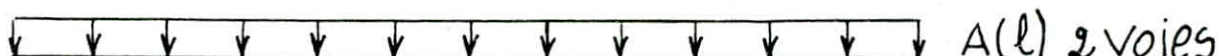
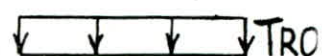
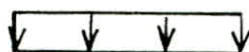
30t  
↓  
30t 30t  
↓  
↓

55t  
↓  
30t  
↓

C(D)

MC120

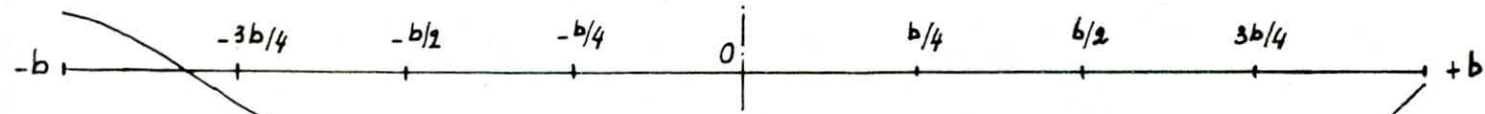
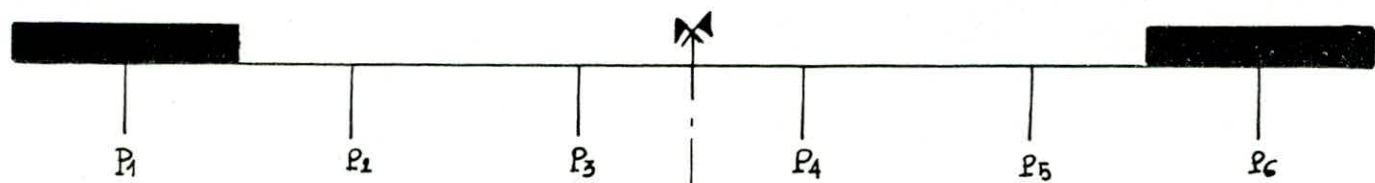
Bc (2 convois)



A(l) 2 voies



G



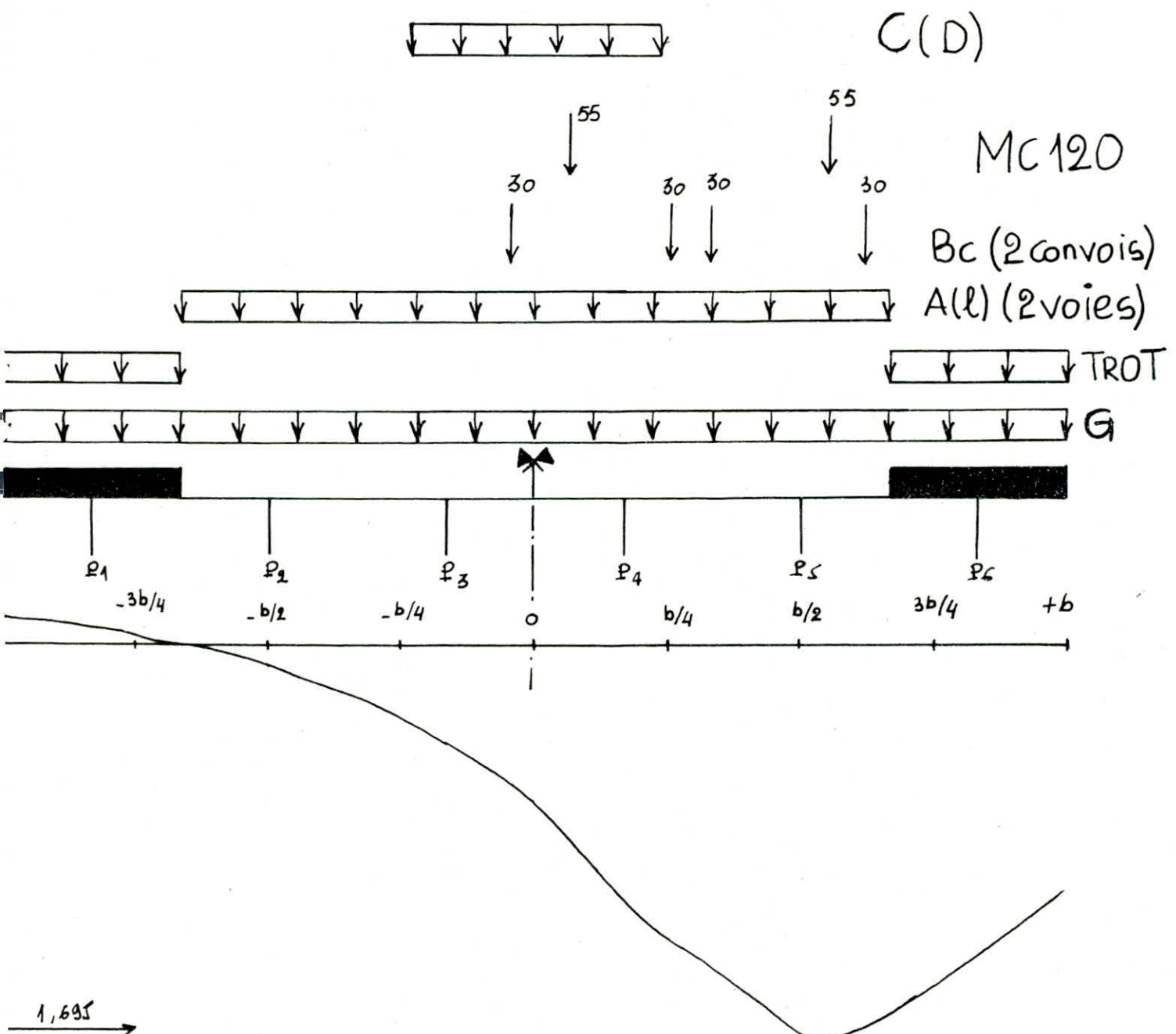
1,695

1

Ligne d'influence de  $K_\alpha$  pour

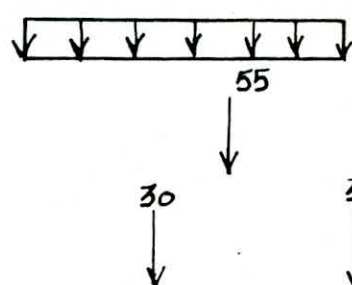
La. POUTRE : P4,3

POUTRE :  $Y = 3,39 \text{ m}$



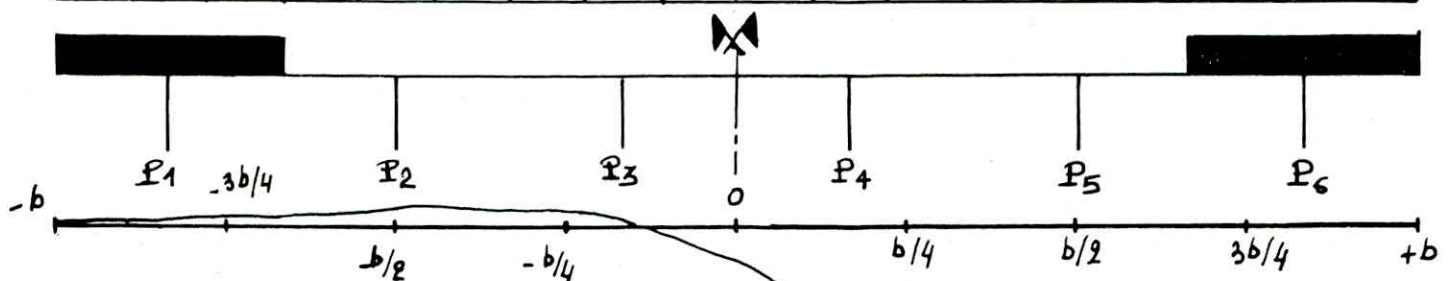
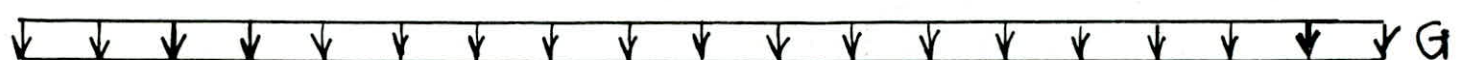
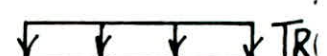
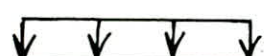
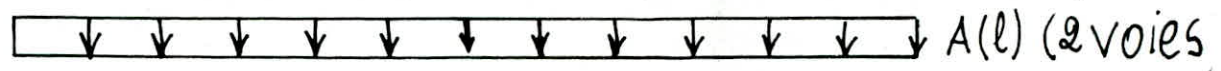
Signe d'influence de  $K_2$   
Pour la Poutre  $P_{5,2}$

POUTRE:  $Y = 5,65 \text{ m}$



C(D)  
MC120

Bc (2 convex)



1,695

Signe d'Influence de K<sub>a</sub>  
Pour la Poutre P<sub>6,1</sub>

11,74

- Le Plateelage de notre ouvrage se constitue d'une dalle en béton armé. cette dernière assure deux rôles
- a) Celui de l'entretien des Poutres en l'absence d'entretoises dans notre ouvrage.
  - b) Celui de recevoir les charges permanentes engendrées par la couche de roulement ainsi que les surcharges appliquées sur cette dernière pour les transmettre aux poutres.
  - Il sera étudié deux types de flexion :
    - Flexion transversale
    - Flexion locale.

### Flexion transversale:

Elle sera calculée par la Méthode "Guyon-Massonet".  
 D'abord il sera tracé la ligne d'influence du coefficient de répartition  $M_d$ ; Pour ensuite déterminer  $M_d$  pour chaque chargement considéré.  
 Pour plus de précision nous considérons les trois premiers termes du développement en série de Fourier ( $M_1$  pour  $\theta$ ;  $M_2$  pour  $3\theta$ ;  $M_3$  pour  $5\theta$ ).  
 Le calcul de  $M_d$  se fera de la même manière que pour  $K_d$ .  
 Nous signalerons à toute fois qu'il a été tenu compte du coefficient de Poisson ( $\nu = 0,15$ ) pour établir les valeurs de  $M_1$ .

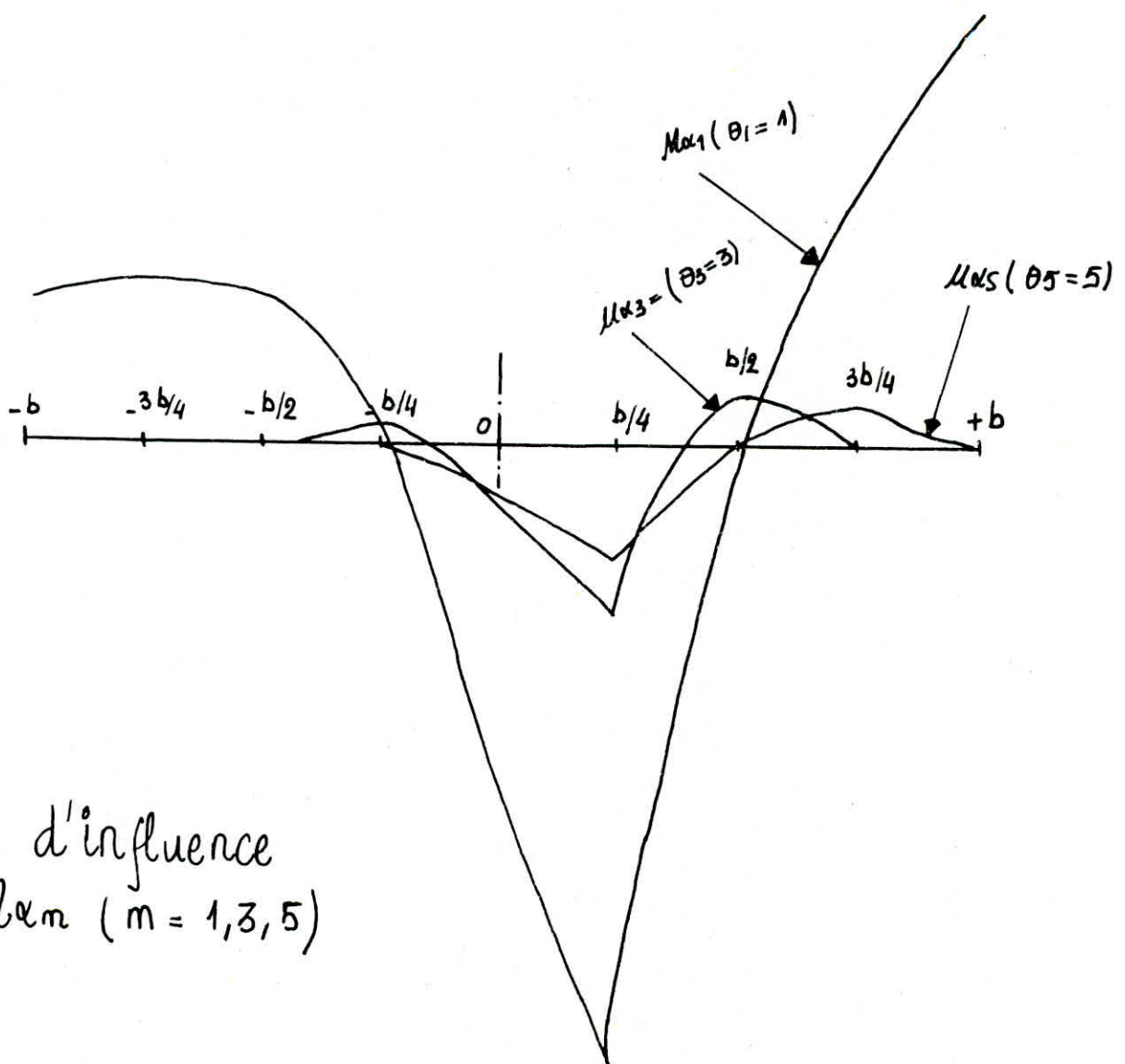
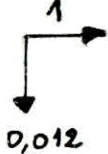
		$10^4 M_{d1} (\theta=1)$								
$y \backslash e$	$e$	-b	$-\frac{3b}{4}$	$-\frac{b}{2}$	$-\frac{b}{4}$	0	$\frac{b}{4}$	$\frac{b}{2}$	$\frac{3b}{4}$	b
1,13		-172,51	-195,13	-181,09	-24,16	478,87	742,46	28,58	-307,76	-526,86
3,39		-17,47	-70,03	-120,56	-144,16	-72,38	228,32	178,49	-150,40	-993,6
5,65		-0,064	-14,02	-29,44	-44,05	-46,80	-10,98	115,16	425,84	-688,59

		$10^4 M_{d3} (3\theta=3)$								
$y \backslash e$	$e$	-b	$-\frac{3b}{4}$	$-\frac{b}{2}$	$-\frac{b}{4}$	0	$\frac{b}{4}$	$\frac{b}{2}$	$\frac{3b}{4}$	b
1,13		-0,336	0,652	-2,33	-27,89	73,51	201,65	-44,83	-6,28	3,56
3,39		0,026	-0,092	0,11	1,60	-10,0	-62,54	337,27	-65,40	1,609
5,65		0,0044	0	-0,057	0,09	0,978	-7,08	-39,19	231,54	-160,81

		$10^4 M_{d5} (5\theta=5)$								
$y \backslash e$	$e$	-b	$-\frac{3b}{4}$	$-\frac{b}{2}$	$-\frac{b}{4}$	0	$\frac{b}{4}$	$\frac{b}{2}$	$\frac{3b}{4}$	b
1,13		0,0022	-0,0168	0,194	-4,68	59,05	128,81	-9,72	-54,12	-0,084
3,39		0	0	0	-0,0496	0,669	-15,08	202,95	-15,12	1,31
5,65		0	0	0	0	-0,033	0,448	-10,09	135,84	-12,59

POUTRE:  $Y = 1,13 \text{ m}$

Echelle:

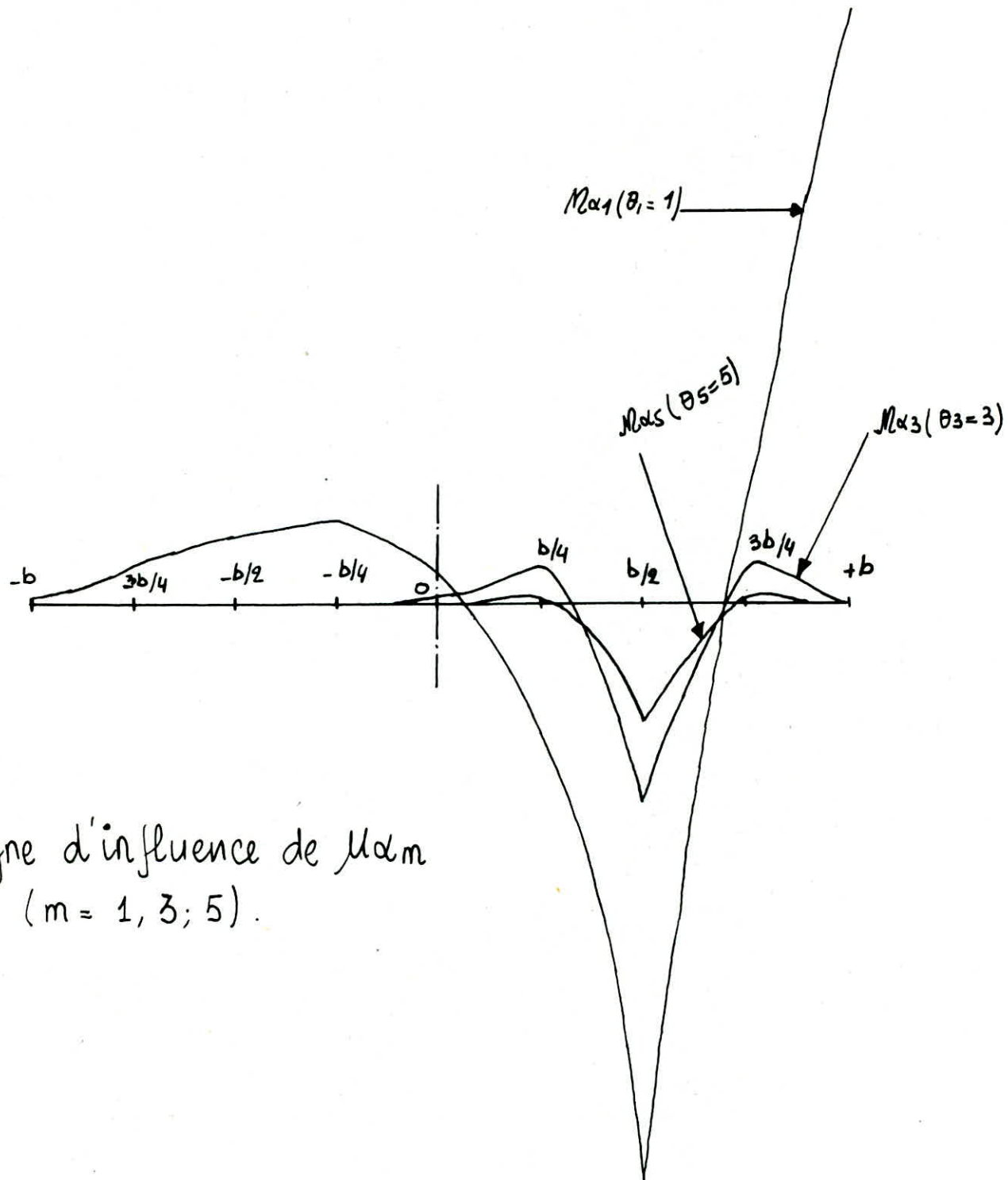


Signe d'influence  
de  $M_{\alpha_m}$  ( $m = 1, 3, 5$ )

Echelle:

1  
0,01

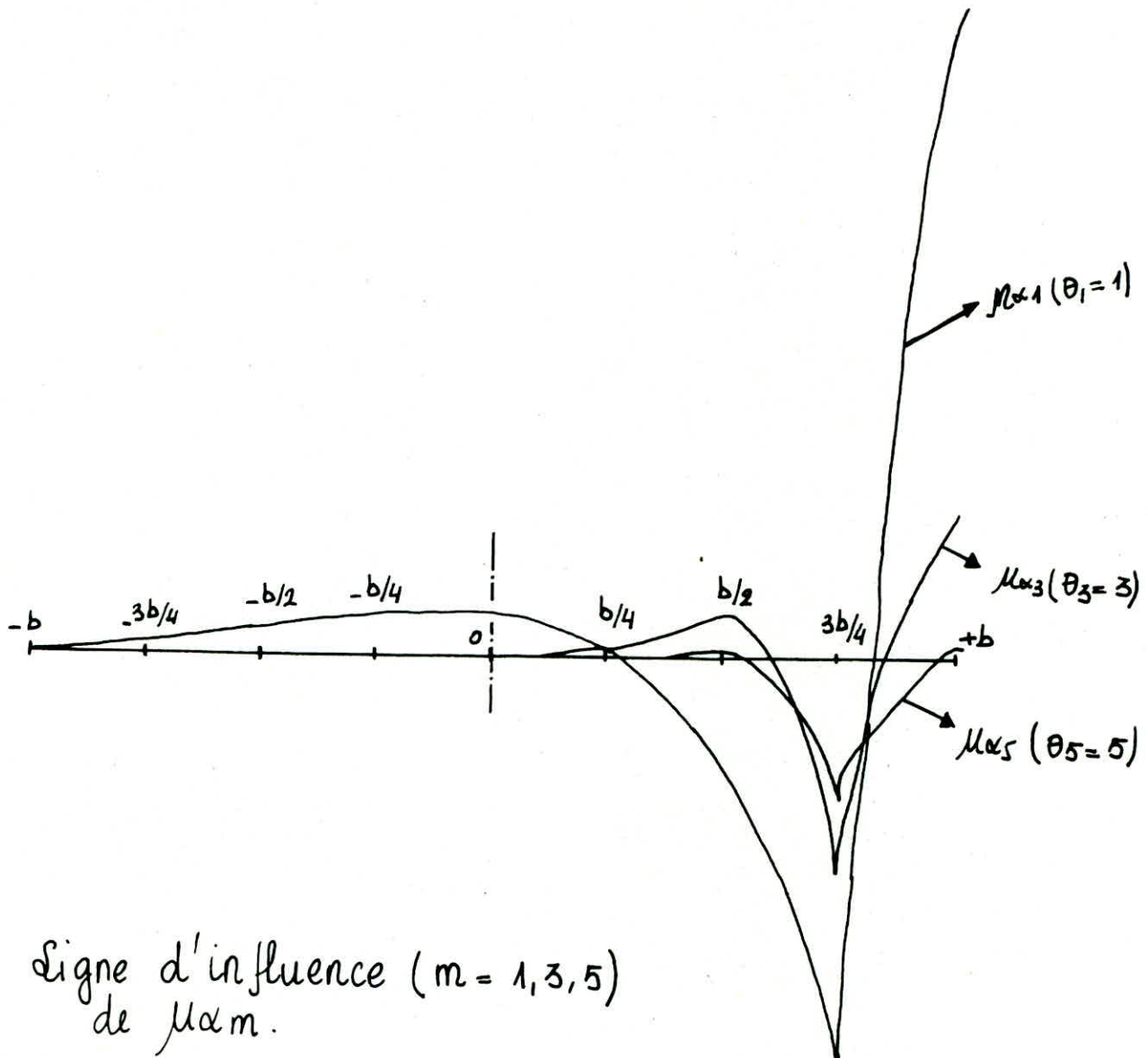
POUTRE:  $Y = 3,39$



Signe d'influence de  $M\alpha_m$   
( $m = 1, 3; 5$ )

POUTRE :  $Y = 5,65 \text{ m.}$

Échelle :  

Signe d'influence ( $m = 1, 3, 5$ )  
de  $\mu_{\alpha m}$ .

Après avoir tracé les lignes d'influence du coefficient  $M\alpha$  nous déterminons ces valeurs pour les différents types de surcharges réglementaires en procédant de la même manière que pour  $K\alpha$ . Ces résultats obtenus pour  $M\alpha_1$ ;  $M\alpha_3$ ;  $M\alpha_5$  sont résumés dans le tableau qui suit. Il est calculé les valeurs positives et négatives des  $M\alpha$ .

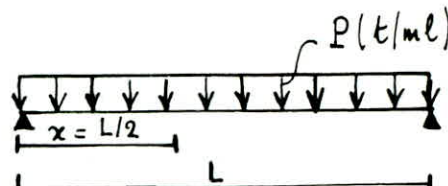
\* Tableau de valeur des coefficients  $M\alpha_m$  ( $m = 1, 3, 5$ ) les plus défavorables pour chaque surcharges.

		$M\alpha_1$	$M\alpha_3$	$M\alpha_5$			
		$(+)\ M\alpha_1$	$M\alpha_1 (-)$	$M\alpha_3 (+)$	$M\alpha_3 (-)$	$M\alpha_5 (+)$	$M\alpha_5 (-)$
Trottoir	1 trot. chargé	-	0,059	-	0,005	-	0,002
	2. tr. chargés	-	0,043	-	0,002	-	0,001
A(l)	1 voie chargé	0,063	0,008	0,009	0,003	0,004	0,001
	2. voies chargées	0,031	-	0,004	-	0,002	-
B(r) (1 roue isolée)		0,132	0,019	0,044	0,005	0,026	0,002
Bt	1 convoi	0,065	0,01	0,020	0,003	0,010	0,001
	2 convois	0,041	0,002	0,0090	0,001	0,006	0,001
Bc	1 convoi	0,075	0,011	0,020	0,003	0,009	0,001
	2. convois	0,062	0,005	0,009	0,002	0,006	0,001
MC 120		0,062	0,006	0,021	0,002	0,013	0,001
Convoi (D)		0,073	0,003	0,008	0,003	0,003	0,001

Les coefficients  $M\alpha$  étant calculés, il reste à déterminer les moments engendrés par les différents surcharges que nous allons faire en appliquant les formules suivantes.

\* - charges uniformes (A(l) + trottoirs):

$$M_y = \sum_{m=1,3,5} M\alpha_m \cdot \frac{4P}{\pi m} b \sin \frac{m\pi x}{L}$$



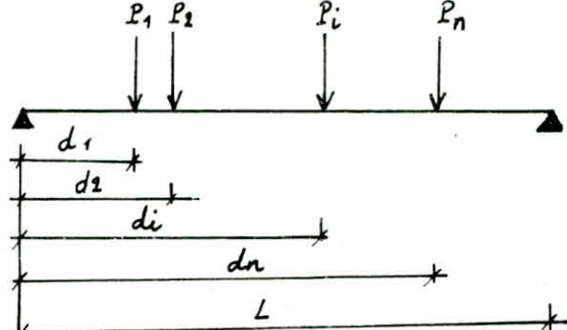
\* - charges linéairement réparties (MC 120; C(D)):

$$M_y = \sum_{m=1,3,5} \frac{4P}{\pi} b \frac{1}{m} M\alpha_m \sin \frac{m\pi c}{L} \sin \frac{m\pi d}{L} \sin \frac{m\pi x}{L}$$

$$M_y = \frac{4Pb}{\pi} \sum_{m=1,3,5} 1 \left( \frac{1}{m} M\alpha_m \sin \frac{m\pi c}{L} \sin \frac{m\pi d}{L} \sin \frac{m\pi x}{L} \right)$$

Pour un système de charges concentrées ( $B_c$ ,  $B_t$ ,  $B_2$ )

$$M_y = \frac{2}{L} b \sum_{m=1,3,5} \sum_{i=1}^n P_i M_{m,i} \sin \frac{m\pi di}{L} \cdot \sin \frac{m\pi x}{L}$$



Tous Calculs faits nous Obtenons les résultats consignés dans le tableau suivant.

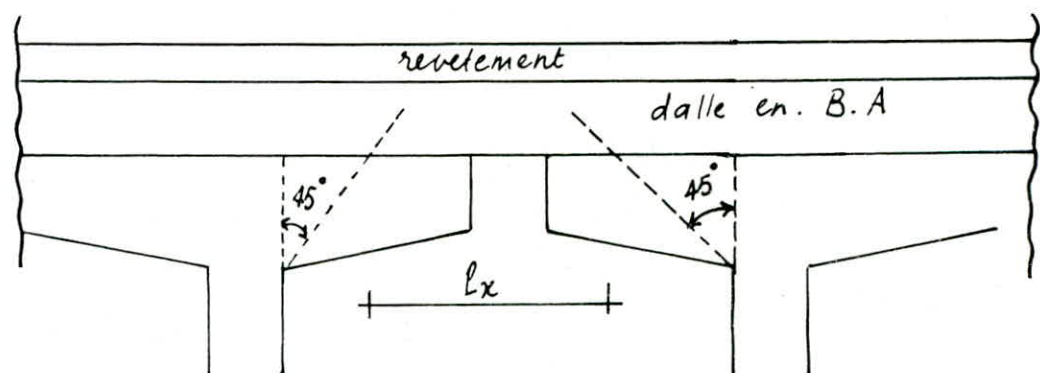
A(l)	B <sub>t</sub>		B <sub>c</sub>		B <sub>2</sub>	Mc120	D	trottoirs	
1	2	1	2	1	2			1	2
$M_y^+(t.m/ml)$	0,148	0,146	0,136	0,079	0,173	0,274	0,093	0,422	0,486
$M_y^-(t.m/ml)$	0,017	-	0,020	0,005	0,025	0,020	0,012	0,0400	0,017

Nous considérons les moments négatifs sur appuis et les Moments positifs en travée. Ces Valeurs ont été majorées dans le cas des Surcharges B et Mc120

### FLÉXION- LOCALE :

La dalle constituant le plancher sera assimilée à un ensemble de panneaux rectangulaires de dimensions  $l_x \times l_y$  ( $l_x < l_y$ ). Ces panneaux seront appuyés sur les poutres principales suivant la direction  $l_y$ , libre suivant la direction  $l_x$ . Ils seront considérés comme partiellement encastrés entre eux dans le sens  $l_y$ .

- Ces Dimensions  $l_x$ ;  $l_y$  seront déterminées en conformité avec les indications de l'IP1



transversalement:  $l_x = 1,72 \text{ m}$

Longitudinalement:  $l_y = 25,5 \text{ m}$

Pour les charges uniformément réparties sur tout le Panneau nous considérerons une bande du Panneau de largeur 1m dans le sens de travail ( $l_x$ ) ce qui reviendrait à calculer une Poutre de longueur  $l_x$  de largeur 1m et d'épaisseur 20cm Supportant une charge uniforme sur toute la longueur  $l_x$ .

Nous calculerons d'abord le Moment isostatique en supposant la "Poutre" simplement appuyée à ses extrémités, puis en supposant les Panneaux semi-encastrés. Le Moment isostatique sera reparti sur appuis et en travée en prenant :

- Le Moment sur Appuis :  $M_{max} \geq (0,4 \div 0,5) M_{ox}$
- Le Moment en travée :  $M_{tx} = (0,75 \div 0,85) M_{ox}$   
 $M_{ox}$  étant le Moment Isostatique.

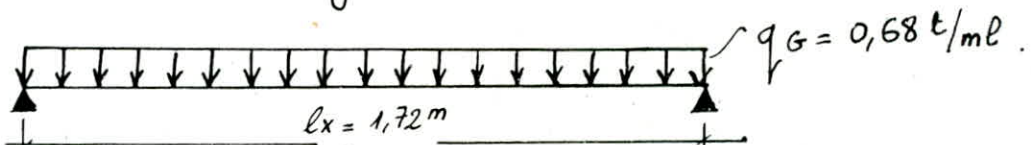
- Dans le sens  $y$  nous prendrons un moment forfaitaire  $M_{ty} = 0,25 M_{ox}$ .  
Pour les charges Concentrées nous appliquerons la méthode de calcul de M. PiGEAUD en supposant la dimension  $l_y$  infinie soit  $\rho = l_x/l_y = 0$ .

#### \* CALCUL - DES - EFFORTS - DUES - AUX CHARGES :

a) - charge Permanente: Elle est due au poids propre de la dalle :

$$2,5 \times 0,20 = 0,50 \text{ t/m}^2$$

et à celui du revêtement bitumé ( $2,2 \times 0,08 = 0,18 \text{ t/m}^2$ )  
Soit une surcharge totale de  $0,68 \text{ t/m}^2$



$$M_{ox} = q_G \frac{l_x^2}{8} = \frac{0,68 \times 1,72^2}{8} = 0,251 \text{ t.m/ml}$$

$$M_{tx} = 0,8 M_{ox} = 0,2 \text{ t.m/ml}$$

$$M_{ay} = 0,5 M_{ox} = 0,125 \text{ t.m/ml}$$

forfaitairement :

$$M_{oy} = 0,25 M_{ox} = 0,0625 \text{ t.m}$$

$$M_{ay} = M_{ax} = 0,125 \text{ t.m/ml}$$

$$M_{ty} = 0,25 M_{tx} = 0,05 \text{ t.m/ml}$$

#### Efforts tranchants

au milieu de  $l_y$  :  $T_x = \frac{q_G l_x l_y}{2 l_y + l_x} = \frac{0,68 \times 1,72 \times 25}{2 \times 25,5 + 1,72} = 0,565 \text{ t.}$

au milieu de  $l_x$  :  $T_y = \frac{1}{3} q_G l_x = \frac{1}{3} \cdot 0,68 \cdot 1,72 = 0,389 \text{ t.}$

## \*- SURCHARGES (A(l)).

$$A = 1041,25 \text{ kg/m}^2 \quad (1 \text{ ou } 2 \text{ voies chargées})$$

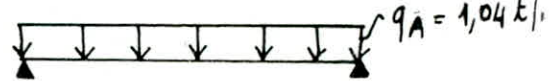
$$M_{ox} = q_A \frac{l_x^2}{8} = 0,384 \text{ t.m/ml}$$

$$M_{ty} = 0,25 M_{tx} = 0,076 \text{ t.m/ml}$$

$$M_{tx} = 0,8 M_{ox} = 0,307 \text{ t.m/ml}$$

$$M_{ax} = 0,5 M_{ox} = 0,192 \text{ t.m/ml}$$

$$M_y = 0,25 M_x = 0,096 \text{ t.m/ml}$$



Efforts tranchants:

$$T_x = q_A \frac{l_x l_y}{2l_y + l_x} = 0,865 \text{ t/ml}$$

$$T_y = q_A \frac{l_x}{3} = 0,596 \text{ t/ml.}$$

## \* Surcharge Br :

Pour les charges concentrées nous appliquerons la méthode de PIGEAUD en tenant compte de la diffusion dans le Plan moyen de la dalle, ainsi donc pour une charge s'appliquant sur une surface  $u \times v$ , après diffusion nous obtiendrons dans le Plan moyen, une aire d'application  $u' \times v'$  telle que ccsagé

$$\begin{aligned} u' &= u + h_0 + \epsilon_{er} \\ v' &= v + h_0 + \epsilon_{er} \end{aligned}$$

$h_0$ : épaisseur de la dalle

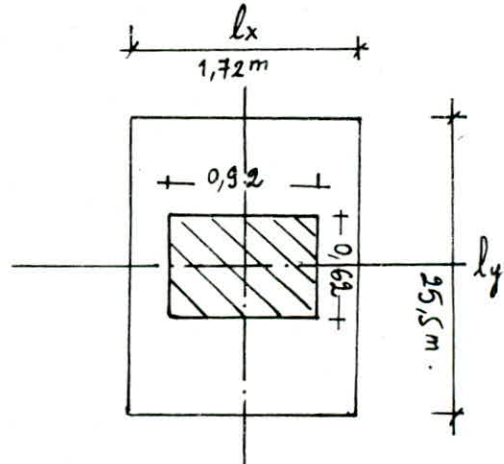
$\epsilon_{er}$ : — — de revêtement.

$\epsilon = 1,5$  revêtement - Peu-Rigide

Pour la Roue Br: on a:  $u = 60 \text{ cm}$ ;  $v = 30 \text{ cm}$

avec  $u \parallel l_x$ ;  $v \parallel l_y$ .

$$\begin{aligned} u' &= 0,60 + 0,20 + 1,5 \times 0,08 = 0,92 \text{ m} \\ v' &= 0,30 + 0,20 + 1,5 \times 0,08 = 0,62 \text{ m.} \end{aligned}$$



## - Moments fléchissants:

$$\begin{aligned} \text{au milieu de } l_x: M_{ox} &= (M_1 + \gamma M_2) P \\ \text{" " de } l_y: M_y &= (M_2 + \gamma M_1) P \end{aligned}$$

$$q = \bar{q} = \frac{P}{u'v'} \quad \text{avec } P = 10 \text{ t}$$

$\bar{q} = q$  = constante de répartition

$P$ : poids total de la Roue ( $P = 10 \text{ t}$ )

$S = u'v'$  = aire de diffusion.

$M_1$  et  $M_2$  sont donnés par des abaques en fonction de  $\frac{P}{l_x}$ ,  $\frac{u'}{l_x}$  et  $\frac{v'}{l_y}$   
(On prendra  $v'/l_x$  lorsque  $l_y$  est infinie)

$$\left. \begin{aligned} \frac{u'}{l_x} &= 0,53 \\ \frac{v'}{l_x} &= 0,36 \end{aligned} \right\} \Rightarrow M_1 = 0,14 \Rightarrow M_x = (M_1 + \gamma M_2) P = 1,52 \text{ t.m/ml.} \\ M_2 = 0,081 \quad M_y = (M_2 + \gamma M_1) P = 1,02 \text{ t.m/ml}$$

## Efforts tranchants

$$u' > v' \quad \left| \begin{array}{l} \text{au milieu de } u': T_{u'} = \frac{P}{2u' + v'} = \frac{10}{2 \cdot 0,92 + 0,62} = 4,065 \text{ t/ml.} \\ \text{au milieu de } v': T_{v'} = \frac{P}{3u'} = \frac{10}{3 \cdot 0,92} = 3,623 \text{ t/ml} \end{array} \right.$$

les efforts tranchants au milieu de  $l_x$  et  $l_y$  s'obtiennent en majorant  $T_{u'}$  et  $T_{v'}$  de 25%  
 - au milieu de  $l_y$ :  $T_x = 1,25 T_{u'} = 1,25 \times 4,065 = 5,081 \text{ t/m}$   
 - au milieu de  $l_x$ :  $T_y = 1,25 T_{v'} = 1,25 \times 3,623 = 4,528 \text{ t/m}$

\* - SURCHARGE Bc: il sera disposé de la façon suivante:  
 le Moment fléchissant est maximum quand il y a 4 Roues  
 de 2 véhicules voisins au milieu de la plaque.

$$u = 0,25 \text{ m} \Rightarrow u' = 0,57 \text{ m}$$

$$v = 0,25 \text{ m} \Rightarrow v' = 0,57 \text{ m}$$

$$P = 6t$$

\* Vérification de l'interférence:

$\alpha$  = entre axe de 2 Roues voisines

$\Delta$  = zone d'interférence

On démontre que :

$$\Delta = u' - \alpha$$

Nous remarquons que nous avons interférence si  $u' > \alpha$

$$\alpha = 0,50 \text{ m.}$$

\* Suivant  $l_x$ :

$$u' = 57 \text{ cm} \quad \} \Rightarrow u' > \alpha$$

$$\alpha = 50 \text{ cm}$$

donc il ya interférence dans ce sens

- Zone d'interférence :

$$\Delta = 57 - 50 = 7 \text{ cm}$$

\* Suivant  $l_y$ :

$v' < \alpha \Rightarrow$  pas d'interférence dans ce sens.

- Calcul de la Pression :  $\sigma = \frac{P}{u'v'} = 18,46 \text{ t/m}^2$

CALCUL. DES. EFFORTS: - Moments fléchissants

a) Surface AA<sub>1</sub>A<sub>2</sub>A<sub>3</sub>:  $u'_1 = 107 \text{ cm}$

$$v'_1 = 93 \text{ cm}$$

$$P_A = \sigma u'_1 v'_1 = 41,65 \text{ t}$$

$$\frac{u'_1}{l_x} = 0,622 \quad \} \Rightarrow M_{11} = 0,0995 ; \quad M_{21} = 0,020 ; \quad \nu = 0,15$$

$$\frac{v'_1}{l_x} = 1,2 \quad \} \quad M_{x1} = (M_{11} + \nu M_{21}) P_A = 4,26 \text{ t.m}$$

$$M_{y1} = (M_{21} + \nu M_{11}) P_A = 1,45 \text{ t.m.}$$

b) Surface BB<sub>1</sub>B<sub>2</sub>B<sub>3</sub>:  $u'_2 = 107 \text{ cm} ; v'_2 = 93 \text{ cm} ; P_B = \sigma u'_2 v'_2 = 18,71 \text{ t}$

$$\frac{u'_2}{l_x} = 0,622 \quad \} \Rightarrow M_{12} = 0,126 ; \quad M_{22} = 0,058$$

$$\frac{v'_2}{l_x} = 0,54 \quad \} \quad M_{x2} = (M_{12} + \nu M_{22}) P_B = 2,52 \text{ t.m}$$

$$M_{y2} = (M_{22} + \nu M_{12}) P_B = 1,43 \text{ t.m.}$$

Pour la Surface A<sub>1</sub>x<sub>2</sub> :  $M_{xg} = M_{x1} - M_{x2} = 1,74 \text{ t.m}$

$$\Omega_1 = v' (2u' - \Delta) ; \quad \Omega_2 = v' \Delta ; \quad M_{yg} = M_{y1} - M_{y2} = 0,02 \text{ t.m.}$$

c) Surface aa<sub>1</sub>a<sub>2</sub>a<sub>3</sub>

$$\frac{u'_3}{lx} = 0,040$$

$$\frac{v'_3}{lx} = 1,20$$

$$u'_3 = 7 \text{ cm} ; P_c = 0,07 \times 2,07 \times 18,46$$

$$v'_3 = 207 \text{ cm}$$

$$P_c = 5 u'_3 v'_3 = 2,67 t$$

$$\left. \begin{array}{l} M_{13} = 0,161 t \\ M_{23} = 0,026 \\ M_{x3} = (M_{13} + \nu M_{23}) P_c = 0,440 \text{ t.m} \\ M_{y3} = (M_{23} + \nu M_{13}) P_c = 0,133 \text{ t.m.} \end{array} \right\} \rightarrow$$

d) Surface bb<sub>1</sub>b<sub>2</sub>b<sub>3</sub>

$$\frac{u'_4}{lx} \approx 0,04 \approx 0$$

$$\frac{v'_4}{lx} = 0,54$$

$$u'_4 = 7 \text{ cm}$$

$$v'_4 = 93 \text{ cm}$$

$$P_d = 5 u'_4 v'_4 = 1,20 t$$

$$\left. \begin{array}{l} M_{14} = 0,229 \\ M_{24} = 0,072 \\ M_{x4} = (M_{14} + \nu M_{24}) P_d = 0,287 \text{ t.m.} \\ M_{y4} = (M_{24} + \nu M_{14}) P_d = 0,127 \text{ t.m.} \end{array} \right\} \rightarrow$$

Pour la surface : 2. D<sub>2</sub> :

$$M_{xp} = M_{x3} - M_{x4} = 0,440 - 0,287 = 0,153 \text{ t.m.}$$

$$M_{yp} = M_{y3} - M_{y4} = 0,133 - 0,127 = 0,006 \text{ t.m.}$$

D'où les moments fléchissant finaux :

$$M_x = M_{xg} + M_{xp} = 1,74 + 0,153 \text{ t.m.} = 1,893 \text{ t.m.}$$

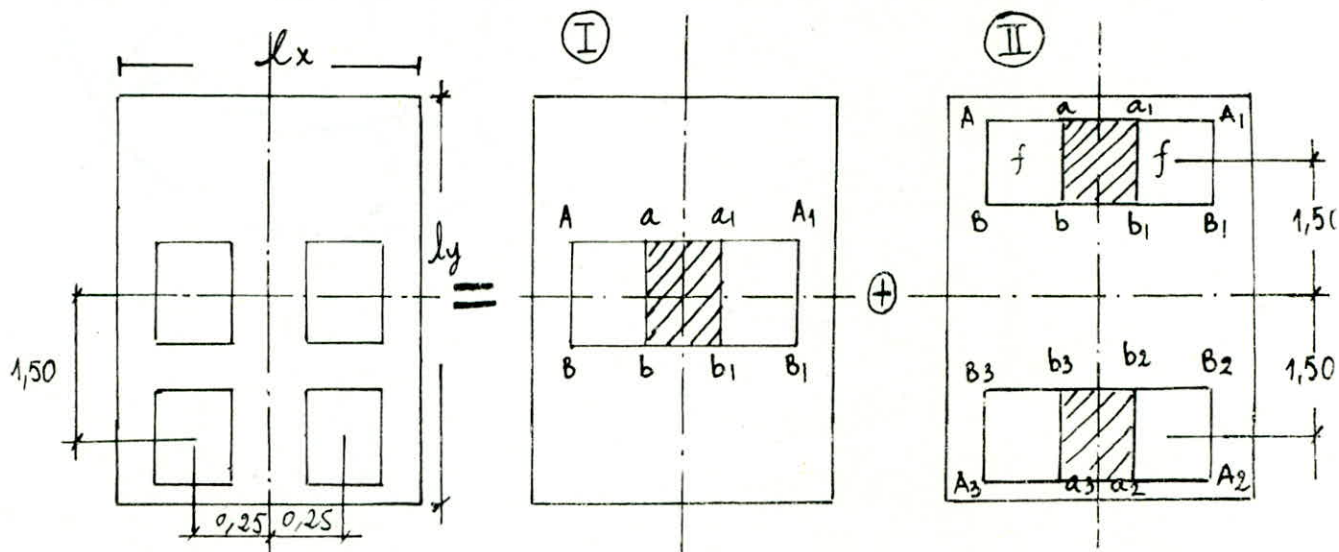
$$M_y = M_{yg} + M_{yp} = 0,02 + 0,006 = 0,026 \text{ t.m.}$$

$$\text{En appui : } M_{ax} = 0,5 M_x = 0,946 \text{ t.m}$$

$$\text{En travée : } M_{tx} = 0,8 M_x = 1,514 \text{ t.m.}$$

\*\* Efforts tranchants

L'effort tranchant maximum à lieu quand deux roues de 2 véhicules voisins se trouve au milieu de la Plaque.



(I) : cas  
Surface AA<sub>1</sub>BB<sub>1</sub>

$$u'_1 = 107 \text{ cm} \\ v'_1 = 57 \text{ cm} \\ \bar{e} = 18,46 \text{ t/m}^2 \\ P_1 = 1,07 \cdot 0,57 \cdot 18,46 = 11,25 \text{ t}$$

$$u'_1 > v'_1 \rightarrow T_{v'_1} = \frac{P_1}{3u'_1} = 3,504 \text{ t} \Rightarrow T_{y_1} = 1,25 T_{v'_1} = 4,37 \text{ t}$$

$$T_{u'_1} = \frac{P_1}{2u'_1 + v'_1} = 4,15 \text{ t} \Rightarrow T_{x_1} = 1,25 T_{u'_1} = 5,18 \text{ t}$$

Surface aa<sub>1</sub>bb<sub>1</sub>

$$u'_2 = 7 \text{ cm} ; u'_2 < v'_2 \\ v'_2 = 57 \text{ cm} \\ P_2 = 5 u'_2 v'_2 = 0,73 \text{ t}$$

$$T_{u'_2} = \frac{P_2}{3v'_2} = 0,426 \text{ t} ; T_{x_2} = 1,25 T_{u'_2} = 0,53 \text{ t}$$

$$T_{v'_2} = \frac{P_2}{2v'_2 + u'_2} = 0,60 \text{ t} ; T_{y_2} = 1,25 T_{v'_2} = 0,75 \text{ t}$$

$$T_{x_2} = T_{x_1} + T_{x_2} = 5,18 + 0,53 = 5,71 \text{ t}$$

$$T_{y_2} = T_{y_1} + T_{y_2} = 4,37 + 0,75 = 5,12 \text{ t}$$

(II) cas

Surface AA<sub>1</sub>A<sub>2</sub>A<sub>3</sub>

$$u''_1 = 107 \text{ cm} \\ v''_1 = 3,57 \text{ m} = 357 \text{ cm} \quad \} \Rightarrow u''_1 < v''_1$$

$$P''_1 = 5 u''_1 \cdot v''_1 = 70,51 \text{ t}$$

$$T_{u''_1} = 6,58 \text{ t} \Rightarrow T_{x''_1} = 8,225 \text{ t}$$

$$T_{v''_1} = 8,58 \text{ t} \Rightarrow T_{y''_1} = 10,72 \text{ t}$$

\* Surface BB<sub>1</sub>B<sub>2</sub>B<sub>3</sub>

$$u''_2 = 107 \text{ cm} ; v''_2 = 243 \text{ cm} ; u''_2 < v''_2 \\ P''_2 = 5 u''_2 \cdot v''_2 = 47,99 \text{ t}$$

$$T_{u''_2} = 6,58 \text{ t} \Rightarrow T_{x''_2} = 8,22 \text{ t}$$

$$T_{v''_2} = 8,09 \text{ t} \Rightarrow T_{y''_2} = 10,11 \text{ t}$$

$$T_x = \frac{T_{x''_1} - T_{x''_2}}{2} = 0,0025 \text{ t} \quad T_y = \frac{T_{y''_1} - T_{y''_2}}{2} = 0,305 \text{ t}$$

\* Surface aa<sub>1</sub>a<sub>2</sub>a<sub>3</sub>

$$u'_1 = 7 \text{ cm} ; v'_1 = 3,57 \text{ m} ; P'_1 = 4,61 \text{ t}$$

$$T_{u'_1} = 0,43 \text{ t} ; T_{x'_1} = 0,538 \text{ t} ; T_{v'_1} = 0,639 \text{ t} ; T_{y'_1} = 0,799 \text{ t}$$

### Surface b<sub>1</sub>, b<sub>2</sub>, b<sub>3</sub>

$$u' = 7 \text{ cm}; v' = 243 \text{ cm}; P' = 3,14 t$$

$$Tu_1 = 0,43t; Tx_1 = 0,538t; Tv_1 = 0,636t; Ty_1 = 0,796t$$

$$Tx_p = \frac{Tx'_1 - Tx_1}{2} \approx 0.t \quad ; \quad Ty_p = \frac{Ty'_1 - Ty_1}{2} = 0,0015t$$

$$Tx' = Tx + Tx_p = 0,0025t$$

$$Ty' = Ty + Ty_p = 0,306t$$

Determination définitif des efforts tranchants max

sous Bc :

$$* \quad Tx^{\max} = Tx' + Tx_2 = 0,0025 + 5,71 = 5,71t$$

$$* \quad Ty^{\max} = Ty' + Ty_2 = 0,306 + 5,12 = 5,42t$$

Sous La Surcharge Bt : ( $P = 8t$ )

$$u' = 92 \text{ cm}; v' = 57 \text{ cm}$$

$$\alpha = 135 \text{ cm} \quad \} \Rightarrow v' < \alpha \quad \text{donc}$$

Il n'y a pas d'interférence dans ce sens  
card. suivant ly.

Surface ABCD

$$u'_1 = 92 \text{ cm}; v'_1 = 192 \text{ cm}$$

$$G = \frac{P}{u'v'} = 15,25 \text{ t/m}^2$$

$$\begin{aligned} u'_1/lx &= 0,534 \\ v'_1/lx &= 1,116 \end{aligned} \quad \} \Rightarrow M_1 = 11,4 \cdot 10^{-2}$$

$$M_2 = 2,8 \cdot 10^{-2}$$

$$P_1 = G u'_1 v'_1 = 26,93t$$

$$Nx_1 = (M_1 + \gamma M_2) P_1 = 3,183 \text{ t.m}; \quad My_1 = (M_2 + \gamma M_1) P_1 = 1,214 \text{ t.m}$$

### Surface A'B'C'D'

$$u' = 92 \text{ cm}; v' = 78 \text{ cm}$$

$$\begin{aligned} u'/lx &= 0,53 \\ v'/lx &= 0,45 \end{aligned} \quad \} \Rightarrow M_1 = 13,7 \cdot 10^{-2}; \quad M_2 = 7 \cdot 10^{-2}$$

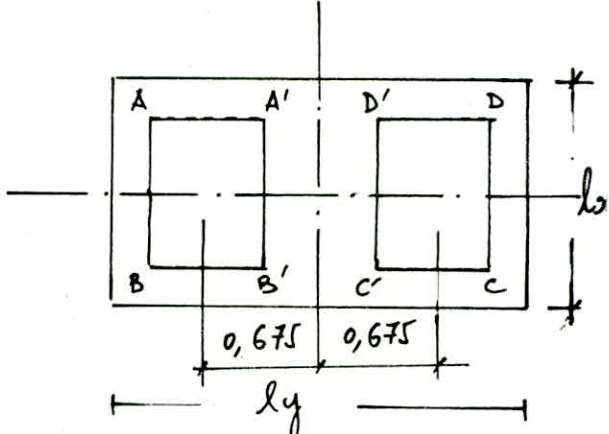
$$P_2 = 6 u' v' = 10,94t$$

$$Nx_2 = 1,613 \text{ t.m/ml}; \quad My_2 = 0,99 \text{ t.m/ml}$$

Les moments fléchissants dues à la charge 8t sont alors:

$$Nx = Nx_1 - Nx_2 = 3,183 - 1,613 = 1,57 \text{ t.m/ml}$$

$$My = My_1 - My_2 = 1,214 - 0,99 = 0,224 \text{ t.m/ml}$$



### \* Efforts tranchants :

l'effort tranchant se calcule de la même manière que B2

$$\begin{aligned} u'_1 &= 92 \text{ cm} \\ v'_1 &= 57 \text{ cm} \\ Tu'_1 &= 3,319 \text{ t/ml} \\ Tv'_1 &= 2,898 \text{ t/ml} \end{aligned} \quad \left\{ \begin{array}{l} u' > v' \\ \text{Système I} \end{array} \right.$$

### Système II :

Nous utiliserons l'artifice de Reoal :

$$\begin{aligned} - \text{Surface } AA'B'B' \\ u' = 92 \text{ cm}; \quad v' = 327 \text{ cm} \\ P'_1 = 6u'v' = 45,87 \text{ t} \\ u' < v' \quad \left\{ \begin{array}{l} Tu^* = 4,67 \text{ t/ml} \\ Tv^* = 6,14 \text{ t/ml} \end{array} \right. \end{aligned}$$

$$\begin{aligned} - \text{Surface } DD'CC' \\ u'_2 = 92 \text{ cm}; \quad v'_2 = 213 \text{ cm} \\ P'_2 = 6u'_2v'_2 = 29,88 \text{ t} \end{aligned}$$

$$u'_2 < v'_2 \quad \left\{ \begin{array}{l} Tu'_2 = 4,67 \text{ t/ml} \\ Tv'_2 = 5,76 \text{ t/ml} \end{array} \right.$$

Pour le système II.

$$Tu'_2 = \frac{1}{2}(Tu^* - Tu'_2) = 0$$

$$Tv'_2 = \frac{1}{2}(Tv^* - Tv'_2) = 0,19 \text{ t/ml}.$$

Pour le système I + II.

$$Tu' = Tu'_1 + Tu'_2 = 3,319 \text{ t/ml}$$

$$Tv' = Tv'_1 + Tv'_2 = 3,088 \text{ t/ml}.$$

finalement les efforts tranchants engendrés par la surcharge  $B_t$  sont :

$$Tx = 1,25 Tu' = 4,148 \text{ t/ml}$$

$$Ty = 1,25 Tv' = 3,860 \text{ t/ml}.$$

Surcharge militaire MC120. Disposition défavorable : on ne peut

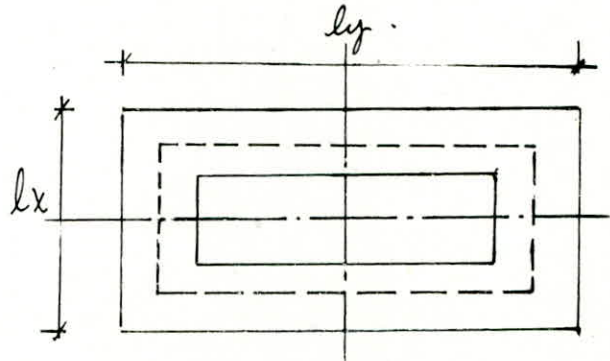
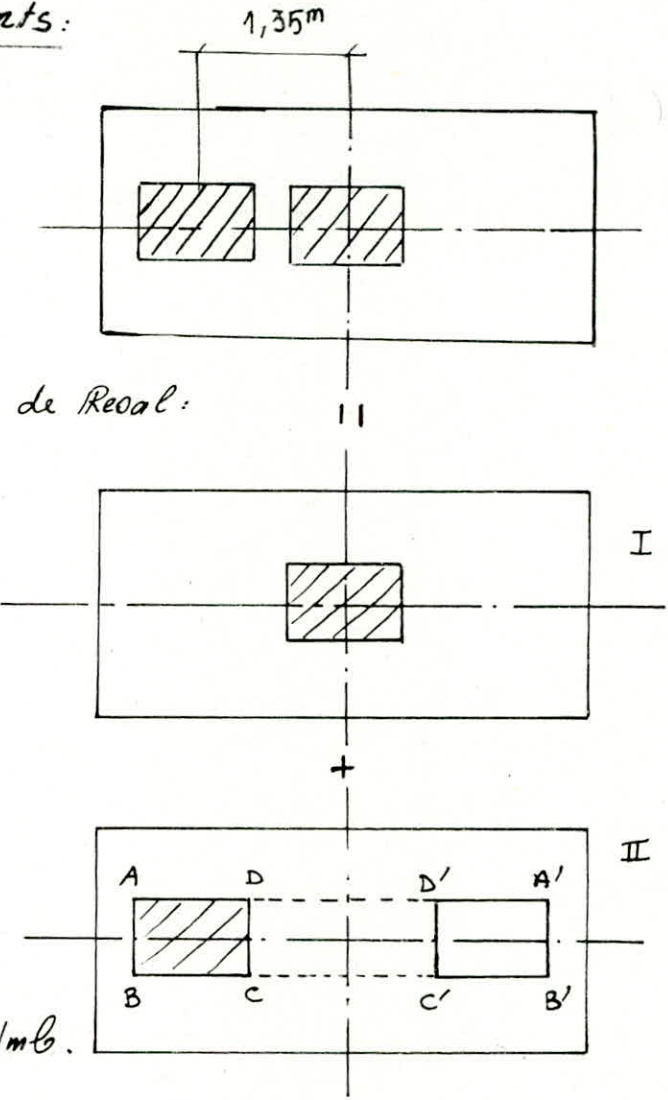
placer qu'une seule chemille de 55t.

$$\begin{aligned} u &= 100 \text{ cm} & u' &= 132 \text{ cm} \\ v &= 610 \text{ cm} & v' &= 649 \text{ cm} \end{aligned}$$

$$Mx = 2,76 \text{ txml} ; \quad My = 0,488 \text{ txml/ml}$$

$$Tu' = 2,855 \text{ t/ml} \rightarrow Tx = 3,568 \text{ t/ml}$$

$$Tv' = 3,883 \text{ t/ml} \rightarrow Ty = 4,853 \text{ t/ml}$$



### Surcharges Militaires Mc80

- On ne peut disposer qu'une seule charrette de 36t centré au milieu du Panneau (disposition défavorable)  
Surface d'impact :  $0,85 \times 4,90$   
Le calcul est analogue à celui du Mc120  
 $M_{bx} = 1,944 \text{ t.m/mf}$  ;  $M_{by} = 0,345 \text{ t.m/mf}$   
 $T_x = 2,872 \text{ t/mf}$  ;  $T_y = 3,875 \text{ t/mf}$ .

### Surcharges Exceptionnelles - (convoi - D -)

- c'est une surcharge de 240t dont la surface d'impact est de  $3,20 \text{ m} \times 18,60 \text{ m}$   
Le procédé de calcul est le même que pour les surcharges militaires

$$M_{bx} = 4,70 \text{ t.m/mf} ; M_{by} = 0,808 \text{ t.m/mf}$$

$$T_x = 3,223 \text{ t/mf} ; T_y = 4,425 \text{ t/mf}$$

### Coefficients de Majoration dynamique :

Les efforts dus aux surcharges B et militaires seront majorés par le coefficient de majoration dynamique S défini par la formule suivante

$$S = 1 + \frac{0,4}{1+0,2L} + \frac{0,6}{1+4P/S}$$

$$L = \min(l_1; l)$$

$$l_1 = \max(l_r, l_p)$$

$l$ : portée des poutres principales  $l=25,5 \text{ m}$

$l_r$ : entre axe des poutres principales de Rive ( $l_r = 11,3 \text{ m}$ )

$$\text{On trouve } L = l_p = 11,3 \text{ m}$$

$P$ : poids total du tablier à l'exception des poutres principales et entretoises compris dans la surface  $L$  par la largeur total du pont en entier  $P = 132 \text{ t}$

$S$ : surcharge totale que l'on peut disposer sur la distance  $L$

- Cas de  $B_c$ : On peut disposer 2 convois de 1 camion ( $b_c = 1,1$ )

$$S = 1,1 \times 2 \times 30 = 66 \text{ t}$$

- Cas de  $B_t$ : On peut disposer 2 tandems ( $b_t = 1$ )

$$S = 1 \times 2 \times 32 = 64 \text{ t}$$

Tableau donnant les valeurs de S :

Surcharge	$B_r$	$B_t$	$B_c$	Mc80	Mc120
$S(t)$	10	64	66	72	110
$S$	1,043	1,096	1,098	1,104	1,135

Comme nous l'avons déjà signalé au début, à ces efforts seront ajoutés les efforts provenant de la flexion transversale ainsi on déterminera le ferrailage.

### Sollicitations maximales :

Moments fléchissants: Nous avons fait les combinaisons pour toute les surcharges:

\* Le Panneau étant supposé semi-encastré

$$f = l_x/l_y = 1/4 \text{ nous prenons}$$

\* Suivant  $l_x$ :  $M_{tx} = 0,8 M_x$  ;  $Max = 0,5 M_x$  : pour les surcharges uniformément réparties.  
 $M_{tx} = 0,75 M_x$  ;  $Max = 0,5 M_x$  : sous les charges localisées

Suivant  $l_y$ :

$$M_{ty} = 0,25 M_{tx} ; May = Max$$

Nous Prenons ci-dessous les valeurs des Moments fléchissants en ( $t \cdot m/m^2$ ) et des efforts tranchants (en  $t/m^2$ ) qui sollicitent le Panneau sous chaque charge "ces valeurs ont été déjà majorées par le coefficient de Majoration dynamique 1,8".

	G	A(l)	Bc	Bt	Br	Mc120	Mc80	D
$M_{tx} (t \cdot m/m^2)$	0,12	0,307	1,440	1,29	1,189	2,349	1,608	3,76
$Max (t \cdot m/m^2)$	0,125	0,192	0,982	0,215	0,792	1,566	1,073	2,35
$M_{ty} (t \cdot m/m^2)$	0,05	0,076	0,360	0,322	0,297	0,587	0,402	0,94
$May (t \cdot m/m^2)$	0,125	0,192	0,982	0,215	0,792	1,566	1,073	2,35
$T_x (t/m^2)$	0,565	0,865	6,269	4,546	5,299	4,049	3,117	3,823
$T_y (t/m^2)$	0,389	0,596	5,951	4,23	4,722	5,508	4,278	4,425

### ETUDE DES SOLlicitations maximales

- Surcharges civiles :  $G + 1,2S$

- Surcharges Militaires et exceptionnelles:  $G + S$

\* Surcharges civile :  $G + 1,2S$

$G$ : moments dû au poids propre

$S$ : Somme des Moments de flexion locale et transversale.

\* Surcharges militaires et exceptionnelles :  $G + S$

Si l'on suit l' $x$  c'est le convoi D qui est le plus défavorable

flexion locale :

$$M_{tx} = 0,2 \text{ t.m/m}\ell ; \quad M_{ax} = 0,125 \text{ t.m/m}\ell \quad \left\{ \begin{array}{l} \text{sous } G \\ \text{sous } C_D \end{array} \right.$$

$$M_{tx} = 3,76 \text{ t.m/m}\ell ; \quad M_{ax} = 2,35 \text{ t.m/m}\ell \quad \left\{ \begin{array}{l} \text{sous } C_D \\ \text{sous } G \end{array} \right.$$

flexion transversale :

$$M_{tx} = 0,486 \text{ t.m/m}\ell ; \quad M_{ax} = 0$$

Moments Résultant :

$$M_{tx} = 4,44 \text{ t.m/m}\ell ; \quad M_{ax} = 2,47 \text{ t.m/m}\ell$$

Si l'on suit l' $y$  : flexion locale uniquement le  $C_D$  est défavorable.

Résultats :  $M_{ty} = 0,99 \text{ t.m/m}\ell ; \quad M_{ay} = 2,47 \text{ t.m/m}\ell$

EFFORTS - TRANCHANTS:

La combinaison la plus défavorable est occasionnée par  $B_C$ .

$$T_x = T_x G + 1,2 T_x B_C = 8,08 \text{ t/m}$$

$$T_y = T_y G + 1,2 T_y B_C = 7,53 \text{ t/m}$$

Determination du Ferrailage :

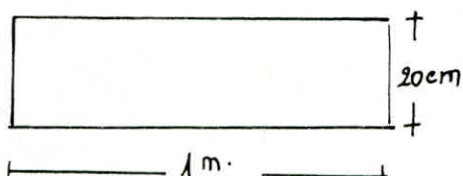
Nous avons un Hourdis d'épaisseur  $ht = 20 \text{ cm}$ . Le diamètre  $\phi$  des armatures à utiliser doit vérifier la Relation :

$$\phi \leq \frac{ht}{10} = 20 \text{ mm}$$

\* Si l'on suit l' $x$  :

ferrailage inférieur:

$$M_b = \frac{15 M}{6 a b h^2} = \frac{15 \times 4,44 \cdot 10^5}{2800 \cdot 100 \cdot 17^2} = 0,0893 \quad \left\{ \begin{array}{l} E = 0,8838 \\ K = 28,0 \end{array} \right.$$



$$A = \frac{M}{6 a E h} = \frac{4,44 \cdot 10^5}{2800 \cdot 0,8838 \cdot 17} = 10,55 \quad \text{Soit } 6T16 = 12,06 \text{ cm}^2$$

### ferraillage Supérieur

$$M_b = \frac{15M}{6a\bar{b}h^2} = \frac{15 \times 2,47 \cdot 10^5}{2800 \times 100 \times 16^2} = 0,045 \quad \begin{cases} E = 0,9104 \\ K = 40,8 \end{cases}$$

$$A = \frac{M}{\bar{b}_a Eh} = 5,69 \text{ cm}^2 \quad \text{soit } 6T12 = 6,78 \text{ cm}^2$$

\* Suivant ly :

### ferraillage inférieur :

$$M_b = \frac{15M}{6a\bar{b}h^2} = \frac{15 \cdot 0,99 \cdot 10^5}{2800 \cdot 100 \cdot 16^2} = 0,022 \quad \begin{cases} E = 0,9351 \\ K = 62,0 \end{cases}$$

$$A = \frac{M}{\bar{b}_a Eh} = \frac{0,99 \cdot 10^5}{2800 \cdot 0,9351 \cdot 16} = 2,36 \quad \text{soit } 6T10 = 4,71 \text{ cm}^2$$

### ferraillage Supérieur :

$$M_b = \frac{15M}{6a\bar{b}h^2} = \frac{15 \cdot 2,47 \cdot 10^5}{2800 \cdot 100 \cdot 16^2} = 0,051 \quad \begin{cases} E = 0,9049 \\ K = 37,6 \end{cases}$$

$$A = \frac{M}{\bar{b}_a Eh} = 6,09 \quad \text{soit } A = 6T12 = 6,78 \text{ cm}^2$$

### Verifications :

#### \*1 - Vérification au cisaillement :

$$\bar{\sigma}_b = \frac{T}{b\bar{z}} \leq \bar{\sigma}_b = 1,15 \bar{b}_b = 8,8 \text{ kgf/cm}^2$$

Suivant lx :  $T_x = 8,08 \text{ t/mB}$  ;  $\bar{\sigma}_b = 5,43 \text{ kg/cm}^2 < \bar{\sigma}_b = 8,8 \text{ kg/cm}^2$   
 $b = 100 \text{ cm}$   
 $\bar{z} = \frac{7}{8} h = 14,87 \text{ cm}$

Suivant ly :  $T_y = 7,53 \text{ t/mB}$

$$\bar{\sigma}_b = \frac{7,53 \cdot 10^3}{\frac{7}{8} \cdot 16 \cdot 100} = 5,38 \text{ kg/cm}^2 < \bar{\sigma}_b = 8,8 \text{ kg/cm}^2.$$

$\bar{\sigma}_b < 1,15 \bar{b}_b$  il n'y a pas de discontinuité de betonnage  
 On ne prévoit pas d'armatures transversales

#### \*2 - Vérification au poinçonnement :

Pour les charges localisées une vérification au non poinçonnement est nécessaire

\* Condition au non poinçonnement

$$\bar{\sigma}_{max} = \frac{1,5 P}{P_c h_0} < 1,2 \bar{b}_b = 9,18 \text{ kg/cm}^2$$

- $P$ : valeur de la charge localisée
- $h_0$ : épaisseur de la dalle
- $P_C$ : périmètre du contour de diffusion sur le plan moyen de la dalle

charge	$P_C = 2(u+v)$	$P$ (kg)	$h_0$ (cm)	$1,5P/P_{cho}$	Conclusion
Br	308	10.000	20	2,44	verified
Roue- avant Bc	208	3000	20	1,08	- II -
Roue- arrière Bc	228	6000	20	1,97	- II -
Roue Bt	298	8000	20	2,01	- II -

### Condition de non Fragilité du béton :

La section réelle  $A$  des armatures longitudinales tendues doit être égale ou supérieur à :

$A = \max(A_0; \min[A_1; A_2])$  Avec  
 $A_0$  = section d'armatures en travée qui résiste aux sollicitations

$A_1$  = section d'armature susceptible de résister aux sollicitations précédentes majorées de 20%

Pour une dalle :  $A_1 = 1,2 A_0$  ;  $f = \frac{lx}{ly} = 0,067$

Suivant  $lx$ :

$$A_2 = 0,69 \frac{\bar{b}b}{6en} bh \left( \frac{2-s}{2} \right)$$

Suivant  $ly$ :

$$A_2 = 0,69 \frac{\bar{b}b}{6en} bh \left( \frac{1+s}{4} \right)$$

Suivant  $lx$ :

$$A_0 = 12,06 \text{ cm}^2$$

$$A_1 = 1,2 A_0 = 14,47 \text{ cm}^2$$

$$A_2 = 2,02 \text{ cm}^2$$

$$A = \max(A_0; \min(A_1; A_2)) = 12,06 \text{ cm}^2$$

Suivant  $ly$ :

$$A_0 = 4,71 \text{ cm}^2$$

$$A_1 = 1,2 A_0 = 5,65 \text{ cm}^2$$

$$A_2 = 0,69 \frac{\bar{b}b}{6en} bh \frac{1+s}{4} = 0,52 \text{ cm}^2$$

$$A = \max(A_0; \min(A_1; A_2)) = 4,71 \text{ cm}^2$$

Conclusion:

Il n'y aura pas de risque de rupture de type fragile

\*- Verification à l'adhérence :

$$\bar{G}_d = 2,5 \text{ kN} \quad \bar{b}_b = 2,5 \times 1,5 \times 7,5 = 28,12 \text{ kg/cm}^2$$

Suivant l<sub>x</sub> :

$$G_d = \frac{T_x}{n P_x z_x} ; \quad T_x = 8,08 \text{ t/mB} ; \quad n = 6 : P_x = \pi \phi \\ P_x = \pi \cdot 1,6 = 5 \text{ cm} ; \quad z_x = \frac{\pi}{8} h_x = 14,87 \text{ cm}$$

$$G_d = \frac{8,08 \cdot 10^3}{6 \times 5 \times 14,87} = 18,11 \text{ kg/cm}^2 < \bar{G}_d = 28,12 \text{ kg/cm}^2$$

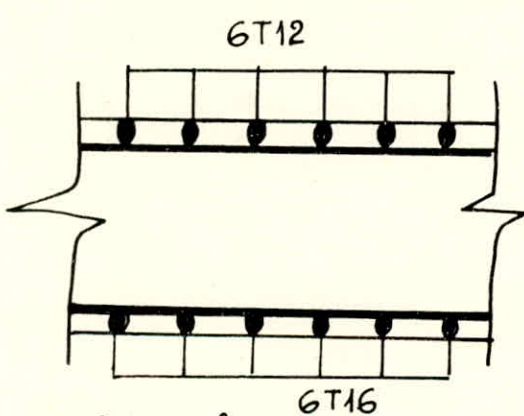
Suivant l<sub>y</sub> :

$$G_d = \frac{T_y}{n P_y z_y} ; \quad T_y = 7,53 \text{ t/mB} ; \quad n = 4. \\ P_y = \pi \phi = \pi \cdot 1 = 3,14 \text{ cm}$$

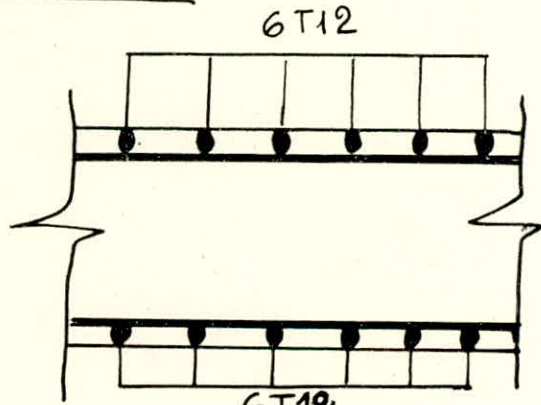
$$G_d = \frac{7,53 \cdot 10^3}{4 \cdot 3,14 \cdot 14} = 28,54 \approx \bar{G}_d = \frac{\pi}{8} h_y = 14 \text{ cm.}$$

donc l'adhérence est assurée.

### SCHÉMA DU FERRAILLAGE



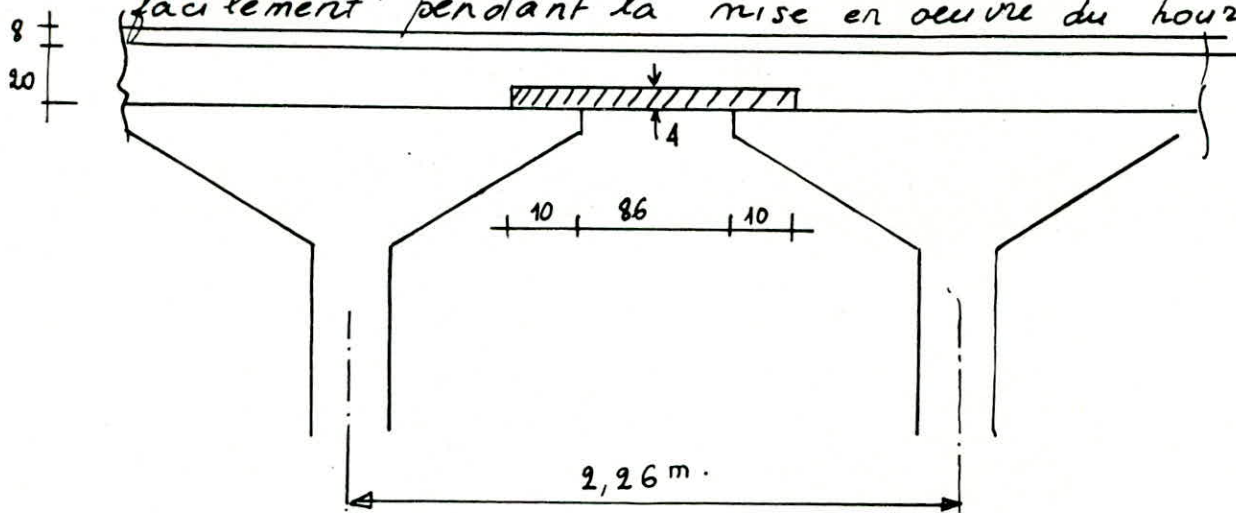
Suivant l<sub>x</sub> :



Suivant l<sub>y</sub> :

# ÉTUDE DE LA PRÉDALLE

- Rôle de la Predalle: Le rôle essentiel de la Predalle est de servir comme coffrage de la dalle. Le coffrage ne sera plus recuperable (coffrage perdu). La Predalle permet aux ouvriers de circuler plus facilement pendant la mise en œuvre du hourdis.



charges et surcharges de la Predalle :

- Charges :

- revêtement :  $2200 \times 0,08 = 176$
- Poids du Hourdis :  $2500 \times 0,20 = 500$
- Poids propre de la Predalle :  $2500 \times 0,04 = 100$

$$G = 776 \frac{\text{kg}}{\text{m}}$$

Surcharges:

Combinaison de calcul:  $q = G + 1,2S = 0,956 \text{ t/m}$

La predalle travaille dans un seul sens

suitant sa longueur  $L = 1,06 \text{ m}$

Elle se calcule comme une route simplement appuyée

$$M_0 = q \frac{l^2}{8} = 0,956 \cdot \frac{1,06^2}{8} = 0,134 \text{ t.m/m}$$

Ferraillage: Méthode de Scharon:

$$\text{Acier: } \phi \leq ht/10 = \frac{40}{10} = 4 \text{ mm} \quad (\text{H.A})$$

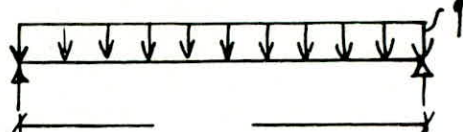
$$h = ht - d = 4 - (1 + 0,25) = 10 \text{ cm}$$

$$M_0 = \frac{15 M_0}{6a b h^2} = 0,0895 \quad \left\{ \begin{array}{l} E = 0,8798 \\ k = 26,6 \end{array} \right. ; \quad \bar{\sigma}_b' = \frac{\bar{\sigma}_a}{k} = 105,26 \text{ kg/cm}^2 < \bar{\sigma}_b'$$

$$A_1 = \frac{M_0}{Eh \bar{\sigma}_a} = 1,97 \text{ cm}^2 \quad \text{Soit } 4 \text{ T8 / ml} \quad (A = 2,01 \text{ cm}^2)$$

Dans l'autre sens nous prenons

$$A_2 = 0,25 A_1 = 0,25 \times 1,97 = 0,492 \text{ cm}^2 \quad \text{Soit } A = 2 \text{ T6} = 0,56 \text{ cm}^2$$



## ETUDE. DE LA. PRÉCONTRAINTE

### - Introduction

Qu'est ce que la précontrainte ?

Le béton armé est un matériau hétérogène formé de deux constituants : le béton et l'acier. Chacun de ces matériaux a un rôle de résistance ; le béton résiste à la compression et les aciers reprennent les efforts de traction.

Le béton précontraint n'est pas un matériau mixte, c'est un matériau qui on a rendu homogène sur le plan fonctionnellement grâce à un traitement mécanique préalable apte à résister aux deux sens de sollicitations (compression et traction). Ce traitement mécanique consiste à soumettre à l'avance le béton à des contraintes de compression dans les zones qui seront ultérieurement tendues.

### : PRECONTRAINTE - PAR - POST-TENSION :

La Précontrainte Par Post-tension consiste à tendre les armatures en prenant appui sur la pièce à Précontrainte.

ANCRAGES: Les ancrages sont destinés à transmettre au béton les forces extérieures dans les armatures sur une surface de répartition tel que le béton localement puisse résister à la contrainte de compression correspondante.

### Hypothèses de. CALCUL

Au cours de la déformation d'une poutre sous l'action d'un système quelconque de forces extérieures, toute section normale à la ligne moyenne reste plane et conserve ses dimensions quand on est dans la limite des contraintes élastiques.

Il s'en suit une répartition linéaire des contraintes, en conséquence les règles de la R.D.M en particulier celle de la flexion composée sont applicables. Contrairement au B.A matériau hétérogène. Le béton précontraint sera considéré comme un matériau homogène non fissuré.

### DISPOSITION DES CABLES.

Pour les sections fortement sollicitées en flexion, les câbles doivent être excentrées et groupés au maximum.

Les câbles doivent être disposés de façon à assurer :

Le betonrage jusqu'au fond du coffrage et la parfaite vibration. Chaque gaine doit être bien enroulée afin de protéger le câble contre la corrosion et d'assurer l'adhérence des gaines au béton.

### RELEVAGE - DES - CABLES.

Notre étude porte sur des poutres isostatiques appuyées simplement par conséquent le moment flexion est maximum dans la section médiane et s'annule en s'approchant des appuis.

On diminue les excentricités en relevant les câbles avant d'atteindre la section d'about où le moment des charges extérieures est nul.

Souvent dans les ouvrages en béton précontraint les contraintes dans le béton en charge sont moins élevées qu'à vide pour cela on doit étudier non seulement l'ouvrage sous les surcharges maximales mais aussi le cas à vide.

Il convient par ailleurs de l'étudier également en phase de construction.

## Calcul des différentes contraintes :

\* - Service à vide :  $\bar{\sigma} = \bar{\sigma}_p + \bar{\sigma}_G$  fibre supérieure  
 \* - Service à vide :  $\bar{\sigma}' = \bar{\sigma}'_p + \bar{\sigma}'_G$  fibre inférieure

\*\* Services en charge :  $\bar{\sigma} = \bar{\sigma}_p + \bar{\sigma}_G + \bar{\sigma}_Q$  fibre supérieure  
 $\bar{\sigma}' = \bar{\sigma}'_p + \bar{\sigma}'_G + \bar{\sigma}'_Q$  fibre inférieure

Dans les deux cas on doit avoir :  $\bar{\sigma}' \leq \bar{\sigma} \leq \bar{\sigma}$        $\bar{\sigma}' \leq \bar{\sigma}' \leq \bar{\sigma}$

Dans notre cas la Poutre la plus sollicitée est la poutre P4 située à  $y=1,13\text{m}$  de l'origine (o) dans le sens transversale :

### \* Notation :

$B$ : aire de la section droite

$I$ : moment d'inertie de la section droite

$i = \sqrt{I/B}$  : Rayon de gyration

$v_s, v_i$  : distances respectivement du CDG à la fibre supérieure et inférieure

$P$ : coefficient de rendement géométrique de la section.

$e_0$  = eccentricité algébrique de la force de précontrainte.

$e_0$  = eccentricité géométrique de la force de précontrainte.

### \* CARACTÉRISTIQUES GEOMÉTRIQUE DE LA SECTION (Poutre + dalle).

$B^{\text{net}} = 9815\text{cm}^2$ ;  $I_G^{\text{net}} = 29751809\text{cm}^4$ ;  $i^2 = 3031\text{cm}^2$ ;  $v_s = 51,52\text{cm}$   
 $v_i = 118,47\text{cm}$ ;  $S^{\text{net}} = 505698\text{cm}^3$ ;  $P = 0,49$ ;  $e = -v_i + d' = -109\text{cm}$

### \* Contraintes élémentaires de flexion dans le béton:

\* Sous charge permanente :  $M_G = 297\text{t.m}$   
 - fibre supérieur :  $\bar{\sigma}_G = \frac{M_G}{I_G^{\text{net}}} \cdot v_s = 51,43\text{kg/cm}^2$   
 - fibre inférieur :  $\bar{\sigma}_G = \frac{M_G}{I_G^{\text{net}}} - \frac{M_G}{I_G^{\text{net}}} \cdot v_i = -118,26\text{kg/cm}^2$

\* Sous surcharges exceptionnelles (convoi D) :  $M_Q = 264\text{t.m}$ .

- fibre supérieur :  $\bar{\sigma}'_Q = \frac{M_Q}{I_G^{\text{net}}} \cdot v_s = 45,71\text{kg/cm}^2$

- fibre inférieur :  $\bar{\sigma}'_Q = \frac{M_Q}{I_G^{\text{net}}} - \frac{M_Q}{I_G^{\text{net}}} \cdot v_i = -105,12\text{kg/cm}^2$

La contrainte de traction totale sur la fibre inférieur est :

$$\bar{\sigma} = \bar{\sigma}_G + \bar{\sigma}'_Q = -223,38\text{kg/cm}^2$$

La poutre est sollicitée en flexion composée sous l'action de l'effort de précontrainte  $P$

- fibre supérieure :  $\bar{\sigma}_p = \frac{P}{B^{\text{net}}} \left( 1 + e \frac{v_s}{i^2} \right)$  traction

- fibre inférieure :  $\bar{\sigma}'_p = \frac{P}{B^{\text{net}}} \left( 1 - e \frac{v_i}{i^2} \right)$  compression

Pour qu'il n'y ait pas de traction à la fibre inférieure nous devons avoir :  $\bar{\sigma}'_p = \frac{P}{B^{\text{net}}} \left( 1 - e \frac{v_i}{i^2} \right) \geq \bar{\sigma}$

D'où  $P = 417\text{ tonnes}$ .

- \* Determination du nombre de câbles:  
 - Les pertes de tensions sont estimées à 25% l'intensité de la force de précontrainte à donner est alors  
 $P_0 = 1,25 P = 521,25 \text{ t}$   
 L'additif à l'IP1 limite la contrainte du câble à la mise en tension à l'origine (Anrage)

\* données du constructeur:

$$R_g = 14904 \text{ kg/cm}^2; T_g = 14302 \text{ kg/cm}^2$$

$$\Rightarrow \sigma_0 = 12668 \text{ kg/cm}^2$$

nombre de câble:  $\eta = \frac{P_0}{w \sigma_0} = \frac{521,25 \cdot 10^3}{5,58 \times 12668} = 7,01$

Nous prenons 7 câbles du type 6T13 TBR FRYSSINET  
 l'ancre est du type actif-actif.

#### \* RELEVAGE DES CÂBLES:

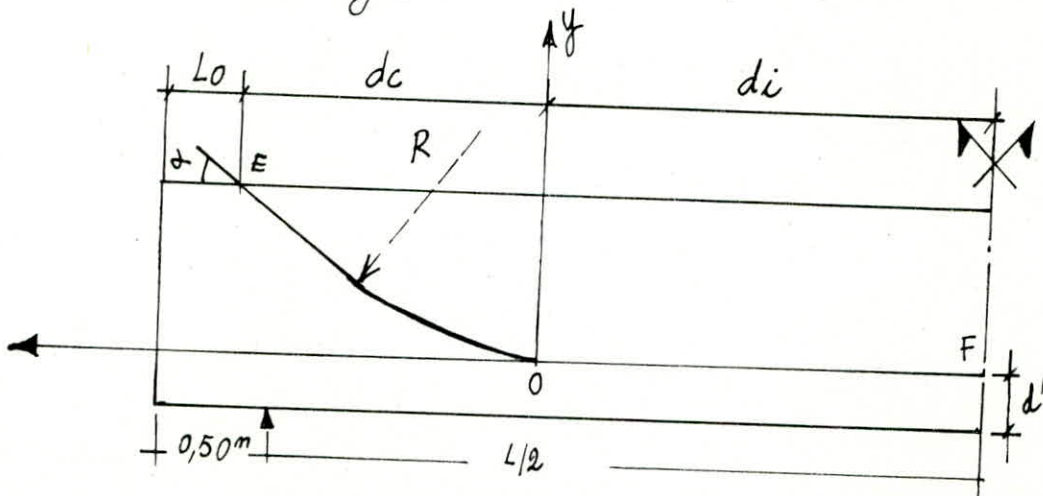
- Vue la symétrie de la poutre et le type d'ancre utilisé nous allons faire la description sur une demi-poutre
- Au niveau de la section médiane les armatures doivent travailler à leur capacité maximale; les 7 câbles doivent être placés pour avoir une excentricité maximale négatif entre la section médiane et l'appui les câbles doivent être relevés progressivement. Pour diminuer l'excentricité (valeur absolue de l'excentricité). Ainsi on diminue l'intensité de l'effort de précontrainte.

A l'about, les câbles qui y arrivent doivent être relevés de manière à ce que le centre de gravité de ces câbles coïncide avec celui de la section droite de la poutre à l'about.

#### \* DISPOSITIONS:

L: Portée du pont :  $\frac{L}{4} \leq L_0 \leq \frac{L}{3} \Leftrightarrow L_0 = 6 \text{ m}; L = 25,5 \text{ m}$

- l'angle de sortie des câbles courbés vaut  $\alpha = 24,15^\circ$
- " " " " d'about  $\alpha = ?$  tel que  $0 \leq \alpha \leq 20^\circ$
- Le rayon de courbure "IR" des câbles vaut:  $R \geq 8000 \phi$   
 $\phi$  = diamètre du fil constituant le câble  
 chaque câble présente une partie parabolique et une partie rectiligne



OF : zone rectiligne de longueur di  
 OE : — Parabolique d'équation  $y = ax^2$   
 di : distance comprise entre le milieu de la poutre et le  
 commencement du relevage  
 dc : project<sup>o</sup> H<sup>le</sup> de la partie parabolique

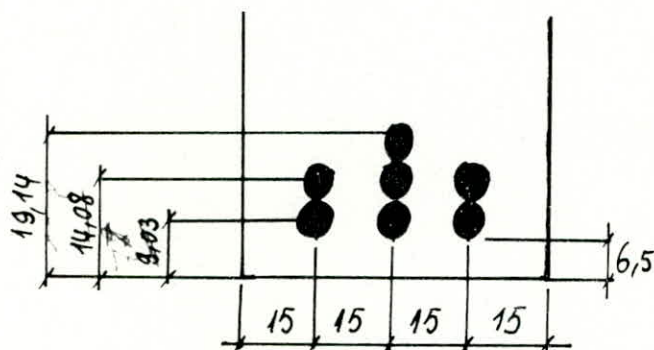
Soit "x" l'abscisse d'un point de la partie parabolique  
 O étant l'origine et "y" son ordonnée on a :

$$y = ax^2 \Rightarrow \frac{dy}{dx} = 2ax ; \text{ Pour } x = dc \text{ on a}$$

$$y = adc^2 \text{ et } \tan\alpha = \left(\frac{dy}{dx}\right)_{x=dc} = 2adc.$$

$$\text{D'où : } a = \frac{\tan^2\alpha}{4y} ; \quad dc = \tan\alpha / 2a.$$

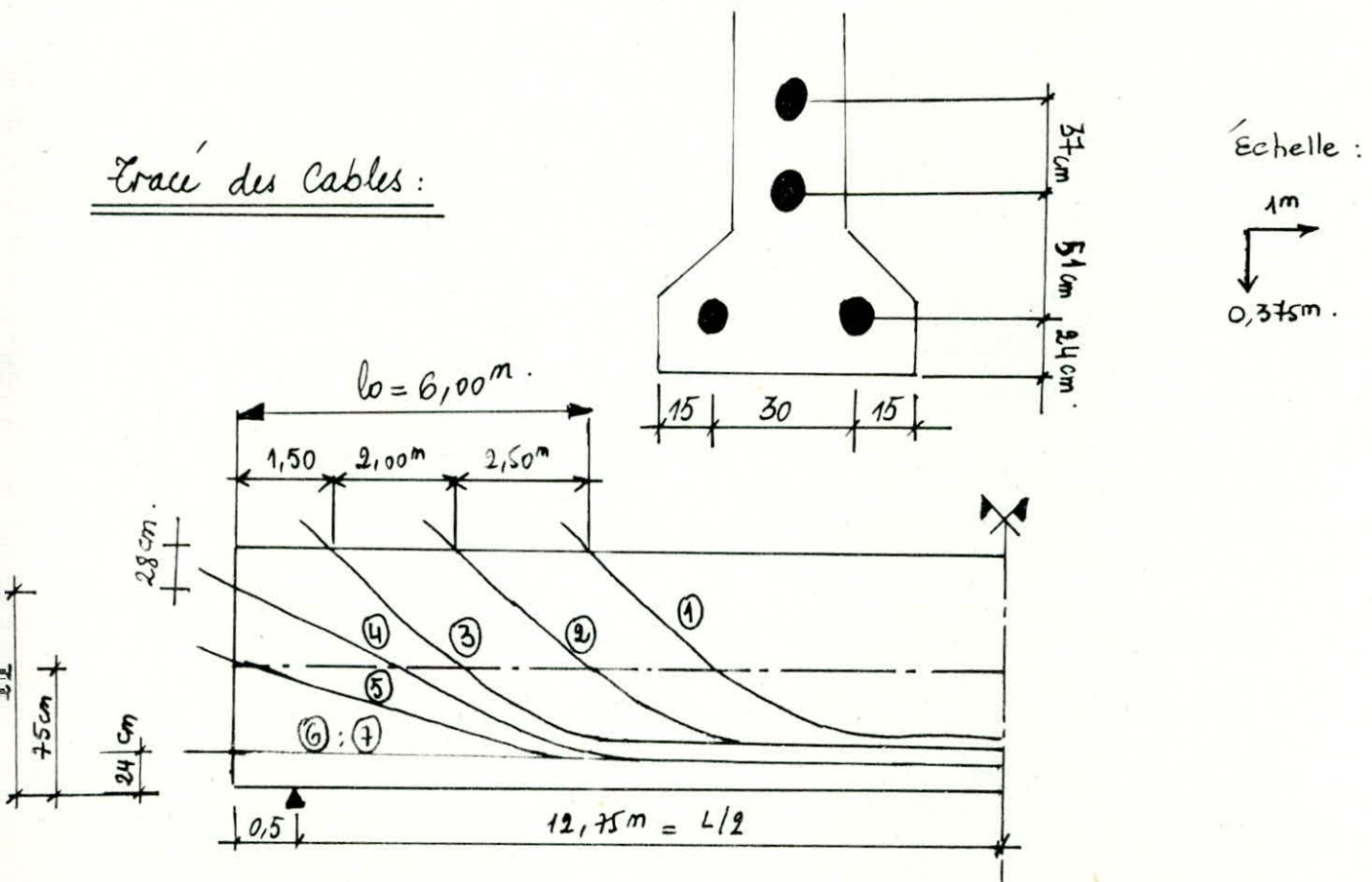
#### \* DISPOSITION DES CABLES À LA SECTION MÉDIANE :



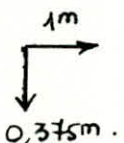
$$d = \frac{3 \times 9,03 + 3 \cdot 14,08 + 1 \cdot 19,14}{7} = 12,63$$

#### DISPOSITION DES CABLES À LA SECTION D'ABOUT

##### Tracé des câbles :



Échelle :



Valeur de  $d_c$  et  $d_i$  Pour chaque cable:

CABLES	$\alpha [^{\circ}]$	$d'(cm)$	$y(cm)$	$a [10^{-4} cm]$	$d_c(cm)$	$d_i(cm)$
①	24,15	19,14	130,86	3,84	583	142
②	24,15	14,08	135,92	3,69	607	368
③	24,15	14,08	135,92	3,69	607	568
④	15	14,08	107,92	1,66	807	518
⑤	10	9,03	65,97	1,17	753	572
⑥	0	9,03	24	0	0	1325
⑦	0	9,03	24	0	0	1325

- Calcul des Caractéristiques géométrique nettes des Sections et des excentricités du Cable équivalent dans chaque section
- Les Caractéristiques géométriques nettes c'est la section Poutre + dalle qui est prise en compte

- Excentricité du Cable équivalent dans une section

- L'effort de précontrainte total a 2 composantes

$$N = \sum P \cos \alpha_i = P \sum \cos \alpha_i$$

$$V = \sum P \sin \alpha_i = P \sum \sin \alpha_i$$

N: Composante horizontale

V: Composante verticale

P: effort de précontrainte d'un seul cable.

$$\text{Soient: } P = \frac{P_0}{7} = 73,85 t \approx 74,46 t$$

$z_i$  = distance du point d'application du cable  $i$  à la fibre supérieure de la section

$Z$  = distance du point d'application du cable équivalent à la fibre supérieure.

$$ZN = \sum z_i P \cos \alpha_i \Rightarrow Z = \frac{\sum z_i \cos \alpha_i}{\sum \cos \alpha_i}$$

$$\text{D'où } Z = \frac{968,97}{6,91} = 140,22 \text{ cm.}$$

- L'excentricité du Cable équivalent / au CDG de la section nette est:

$$e = V_s - Z = -88,7 \text{ cm.}$$

Nous présenterons ci-dessous un exemple de calcul pour la section du quart:  $\frac{L}{4} = 6,375 \text{ m}$

$$x_i \left( \frac{L}{4} \right) = \frac{L}{4} - d_i ; \quad y_i \left( \frac{L}{4} \right) = \alpha_i x_i^2$$

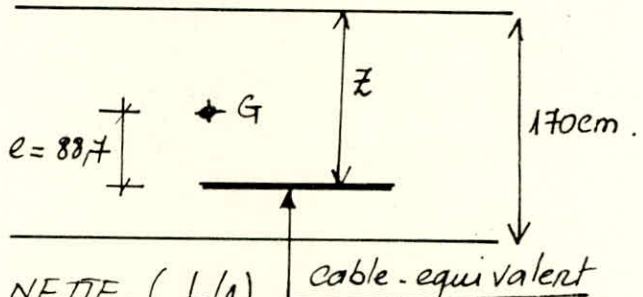
$$\alpha_i = A \operatorname{retg} (2 \alpha_i x_i) ; \quad z_i = h - (y_i + d')$$

CABLES	$\alpha_i [^{\circ}]$	$y_i (10^{-4})$	$z_i$	$\cos \alpha_i$	$\sin \alpha_i$	$z_i \cos \alpha_i$	$z_i^2$
1	20,83	94,27	56,59	0,934	0,355	52,85	3202,42
2	11,24	26,80	129,12	0,980	0,195	126,53	16671,97
3	2,93	1,78	154,14	0,998	0,051	153,83	23759,13
4	2,27	2,37	153,55	0,999	0,039	153,53	23577,6
5	0,878	0,501	160,46	0,999	0,015	160,29	25747,41
6	0	0	160,97	1	0	160,97	25911,34
7	0	0	160,97	1	0	160,97	25911,34
$\Sigma$			975,8	6,91	0,655	968,97	144781,21

$$Z = \frac{\sum z_i \cos \alpha_i}{\sum \cos \alpha_i} = 140,22 \text{ cm}.$$

$$\varrho = 74,46 t$$

$$e = -88,7 \text{ cm}.$$



### CARACTERISTIQUES DE LA SECTION NETTE (L/4)

Aire des trous des cables:  $B(\phi) = \frac{\pi D^2}{4} = \frac{\pi \cdot 5,05^2}{4} = 140,2 \text{ cm}^2$

$$S_\Delta(\phi) = B(\phi) \cdot Z = 140,2 \cdot 140,22 = 19658,84 \text{ cm}^4$$

$$I_\Delta(\phi) = I_0(\phi) + \sum B_i(\phi) z_i^2$$

$$I_\Delta(\phi) = \frac{\pi \cdot 5,05^4}{4} + \pi \cdot \frac{5,05^2}{4} \cdot 144781,21 = 2899944 \text{ cm}^4$$

$$B_{\text{net}} = B_{\text{brut}} - B(\phi) = \frac{1}{4} 10331 - 140,2 = 10190,8 \text{ cm}^2$$

$$S_{\Delta \text{ net}} = S_{\Delta \text{ brut}} - S_\Delta(\phi) = 549671 - 19658,84 = 530012,16 \text{ cm}^3$$

$$I_{\Delta \text{ net}} = I_{\Delta \text{ brut}} - I_\Delta(\phi) = 62005966,5 - 2899944 = 59106022,5 \text{ cm}^4$$

$$V_s = \frac{S_{\Delta \text{ net}}}{B_{\text{net}}} = 52 \text{ cm} ; \quad V_i = ht - V_s = 118 \text{ cm}.$$

$$I_G^{\text{net}} = I_{\Delta \text{ net}} - V_s S_{\Delta \text{ net}} = 31545390,18 \text{ cm}^4$$

### Réultats définitifs:

$$B_{\text{net}} = 10190,8 \text{ cm}^2$$

$$S_{\Delta \text{ net}} = 530012,16 \text{ cm}^3$$

$$I_{\Delta \text{ net}} = 59106022,5 \text{ cm}^4$$

$$e = -88,7 \text{ cm}.$$

$$V_s = 52 \text{ cm}$$

$$V_i = 118 \text{ cm}$$

$$I_G = 31545390,18 \text{ cm}^4$$

$$i^2 = 3095,47 \text{ cm}^2$$

\* Tableau donnant les caractéristiques géométriques des sections nettes et l'excentricité du câble.

Sect <sup>o</sup>	B(cm <sup>2</sup> )	I <sub>G</sub> (cm <sup>4</sup> )	i <sup>2</sup> (cm)	v <sub>s</sub> (cm)	v <sub>i</sub> (cm)	e(cm)	$\Sigma e \cos \alpha$	Z(cm)
L/4	10190,8	31545390,18	3095,47	52	118	-88,7	6,91	140,22
L/2	10190,8	31217956,94	3063,34	51,77	118,23	-105,59	7	157,36
About	14559,89	39954734,99	2744	63,33	106,67	-41,44	3,94	104,77
avant cable 1	10190,8	31381831,59	3079,42	51,86	118,14	-98,87	6,96	150,73
après cable 1	10210,82	31119104,59	3047,64	52,05	117,95	-98,90	6,96	150,95
avant cable 2	10210,88	31294197,49	3064,78	52,13	117,87	-92,43	6,94	144,56
après cable 2	10230,9	31071718,41	3037,05	52,32	117,68	-91,33	6,94	143,65
avant cable 3	14559,9	39063587,47	2686,64	63,06	106,94	-72,06	6,91	135,12
après cable 3	14559,92	38821638,68	2666,33	63,17	106,83	-70,8	6,906	133,97

\* Fuseaux limites et cables équivalents :

Définition : Le fuseau limite est une zone limitée par deux courbes généralement paraboliques dans lequel doit toujours se situer le centre de pression des forces dans les sections pour que ces dernières soient toujours économiques. Le fuseau limite résulte du tracé des 2 fuseaux

1er fuseau limite : C'est le fuseau à l'intérieur duquel doit se trouver le câble équivalent pour qu'il n'y ait pas de traction (quelque soit le cas de charges) sur l'une ou l'autre des fibres extrêmes. Il est limité au niveau de chaque section par :

$$e_1 = a' - \frac{M_G}{N} \quad \text{et} \quad e_2 = a - \frac{M_G + M_Q}{N}$$

avec :

$$a' = -\frac{i^2}{v_s} \quad a = \frac{i^2}{v_i} \quad (a \text{ et } a') \text{ sont les limites du noyau central}$$

2<sup>eme</sup> fuseau limite : C'est le fuseau à l'intérieur duquel doit se trouver le câble équivalent pour que la contrainte maximale reste inférieure ou égale à  $\sigma_b$  (contrainte maximale admissible en compression) sur l'une ou l'autre des fibres extrêmes et quelque soit le cas de charges ce fuseau est définie par les 2 valeurs limites suivante

$$s = \left( \frac{\sigma_b}{N} - 1 \right) \frac{i^2}{v_s} - \frac{M_G + M_Q}{N}$$

$$s' = - \left( \frac{\sigma_b}{N} - 1 \right) \frac{i^2}{v_i} - \frac{M_G}{N}$$

\* Câbles Équivalents : Dans une section de béton précontraint traversé par plusieurs câbles, on peut remplacer fictivement l'ensemble

des forces de précontrainte par leur résultante  $P$  appliquée en un point  $E$ . L'ensemble des câbles en question peut donc être assimilé pour la section considérée à un câble unique passant par  $E$  tangent à la ligne d'action de  $P$  et dont la tension au point  $E$  serait égale à  $P$  le lieu de tout les points  $E$  le long de la poutre donne le tracé du câble dit "câble équivalent".

Les valeurs de  $e_1$ ;  $e_2$ ;  $s$  et  $s'$  pour les sections d'about, médiane et du quart sont regroupées dans les tableaux. Ces valeurs vont nous servir pour tracer le fuseau limite.

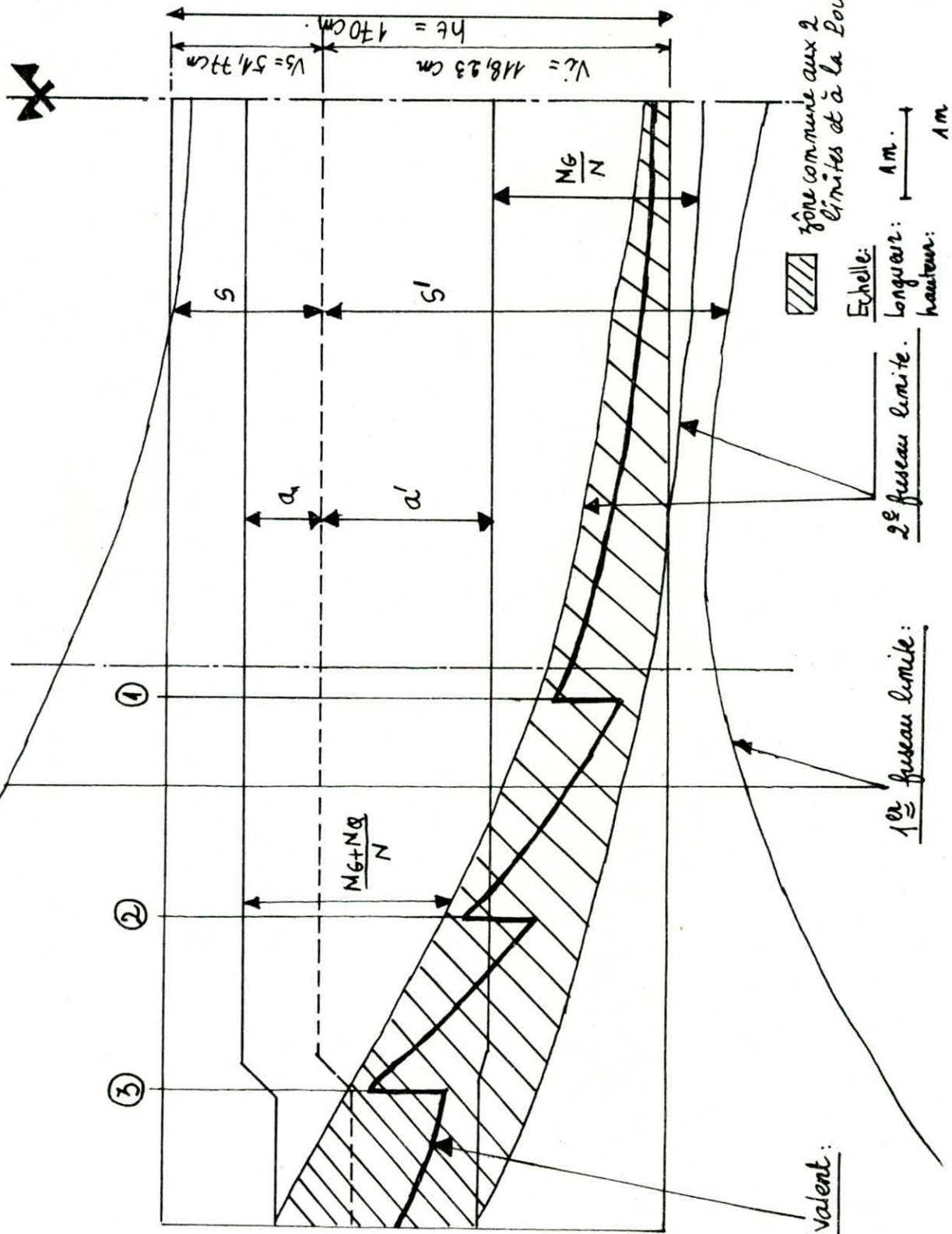
Premier fuseau limite:

Section	MG (t.m)	MQ (t.m)	$N = P \Sigma \cos i$ (t)	MG/N cm.	$\frac{MG+MQ}{N}$ (cm)	a(cm)	a'(cm)	$e_1$ (cm)	$e_2$ (cm)
Mediane	297	264	417	71,2	134,53	25,91	-59,17	-130,37	-108,62
Quart	223	198	412	54,12	102,18	26,23	-59,52	-113,64	-75,95
About	0	0	235	0	0	25,72	-43,32	-48,32	25,72

Deuxième fuseau limite:

Section	$B(\text{cm}^2)$	$N$ (t)	$a'$ (cm)	a(cm)	$\bar{b}_8/N$	MG/N cm	$\frac{MG+MQ}{N}$	$S$ (cm)	$S'$ (cm)
Mediane	10190,8	417	59,17	25,91	4,105	71,2	134,53	49,19	-151,65
Quart	10190,8	412	59,52	26,23	4,155	54,12	102,18	85,60	-136,87
About	14559,89	235	43,32	25,72	10,408	0	0	407,55	-241,97

FUSEAUX . LIMITES . ET . CABLE . EQUIVALENT :



1/ Définition:

La Perte de Precontrainte est la différence entre la force exercée par le vérin sur le câble lors de la mise en tension et la force qui s'exerce en un point d'une armature à une époque donnée. Il existe deux sortes de Pertes de Precontrainte dans le cas de la Precontrainte par post-tension.

\* Les PERTES. INSTANTANÉES:

- frottement
- Recul d'ancre
- Raccourcissement instantané du béton

\* LES PERTES. DIFFÉRÉES:

- fluage du béton
- Relâchement du béton
- Relaxation des Aciers

2/ PERTES. INSTANTANÉES

## - Frottement.

les Pertes dues au frottement peuvent être évaluées par

$$\Delta \sigma_{fr} = \sigma_0 (f \alpha + \rho L)$$

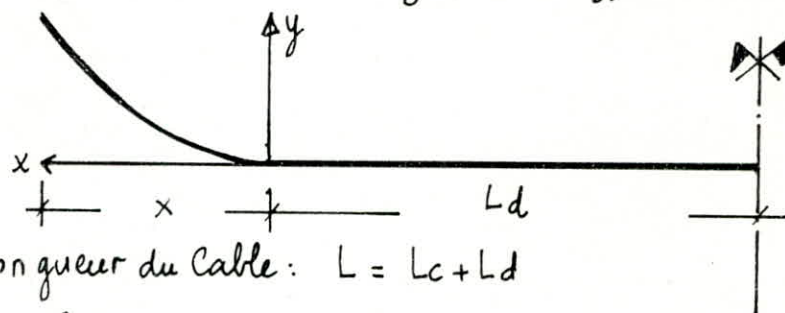
$f$ : coef de frottement cable-gaine ( $f = 0,17$ )

$\alpha [rad]$ : angle de relevage des câbles.

$\rho$ : coef de Pertes en ligne ( $\rho = 0,002 \text{ rad/m}$ )

$\sigma_0$ : Contrainte initiale à la mise en tension

$$\sigma_0 = \min (0,85 R_g ; 0,95 T_g) = 12668 \text{ kg/cm}^2$$



$L$  = Longueur du Cable:  $L = L_c + L_d$

$$y = ax^2 \Rightarrow dy = 2ax dx$$

$$L_c = \int ds = \int \sqrt{(dx)^2 + (dy)^2} = \int \sqrt{1 + (2ax)^2} dx$$

en effectuant un changement de variable nous obtenons:

$$L_c = \frac{1}{4a} \left[ \ln (2ax + \sqrt{1 + (2ax)^2}) + 2ax \sqrt{1 + (2ax)^2} \right]$$

\* Pertes de Frottement entre La section d'about et la section mediane.

cables	$\alpha [°]$	$\alpha [rad]$	$x (m)$	$L_c (m)$	$L_d (m)$	$L (m)$	$a (10^{-2} m)$	$\Delta \sigma_{fr} (\text{kg/cm}^2)$
7	0	0	0	0	13,25	13,25	0	335,70
6	0	0	0	0	13,25	13,25	0	335,70
5	10	0,174	7,53	7,56	5,72	13,28	1,17	711,18
4	15	0,261	8,07	8,16	5,18	13,34	1,66	900,06
3	24,15	0,421	6,07	6,26	5,68	11,94	3,69	1269,16
2	24,15	0,421	6,07	6,26	3,68	9,94	3,69	1158,48
1	24,15	0,421	5,83	6,01	1,42	7,43	3,84	1094,89
$\Delta \sigma_{moy} = 820,73 \text{ kg/cm}^2$								

\* Pertes Par recul d'ancre : dues au relâchement de la tension du vérin.

$$\Delta \delta_{\text{recul}} = 250 [f\alpha + f_l] \frac{x}{l}$$

$$x = \sqrt{\frac{g E_a}{60 \left( \frac{f\alpha}{l} + f \right)}} \Rightarrow x = \sqrt{\frac{g l E_a}{\Delta \delta f_2}} \text{ d'où } \Delta \delta_{\text{recul}} = 2g \frac{E_a}{x}$$

$E_a = 2,1 \cdot 10^6 \text{ kg/cm}^2$ ;  $g = 5 \text{ mm}$

$f = 0,17$ ;  $f = 0,002$

Pour un point de l'armature située à une distance  $x$  de l'ancre

$$x < x \quad \Delta \delta_{\text{recul}} = 2g \frac{E_a (x - z)}{x^2} (\text{kg/cm}^2)$$

cables :	$x(\text{m})$	Appui	à 1,50m	à 3,50m	à 6m	à L/2
(7)	20,35	1031,94	955,87	854,45	727,68	385,39
(6)	20,35	1031,94	955,87	854,45	727,68	385,39
(5)	14	1500	1339,28	1125	857,14	-
(4)	12,47	1684	1481,47	1211,37	873,75	-
(3)	10,18	-	1758,9	1353,63	847,03	-
(2)	9,49	-	-	1396,73	813,78	-
(1)	8,44	-	-	-	719,32	-
$\Delta \delta_{\text{recul}}$ (moyen)		1311,98	1298,27	1132,60	795,19	385,39

\* Pertes Par frottements entre la section d'about et la section d'émergence du Cable 3.

cables	$\alpha(^\circ)$	$\alpha^{2d}$	$x(\text{m})$ $d_c$	$l_c(\text{m})$	$l_d(\text{m})$	$l(\text{m})$	$\Delta \delta (\text{kg/cm}^2)$	$a(10^{-2} \text{ m})$
(7)	0	0	0	0	0	0	0	0
(6)	0	0	0	0	0	0	0	0
(5)	6,30	0,1100	6,03	6,04	0	6,04	389,92	1,17
(4)	7,90	0,1378	6,57	6,62	0	6,62	464,15	1,66

Pertes par frottements entre La section d'about et la section d'émergence du Cable 2.

cables	$\alpha(^\circ)$	$\alpha^{2d}$	$x(\text{m})$	$l_c(\text{m})$	$l_d(\text{m})$	$l(\text{m})$	$\Delta \delta$	$a(10^{-2} \text{ m})$
(7)	0	0	0	0	0	0	0	0
(6)	0	0	0	0	0	0	0	0
(5)	3,64	0,0635	4,03	4,03	0	4,03	237,65	1,17
(4)	4,13	0,0722	4,57	4,58	0	4,58	270,58	1,66
(3)	11,18	0,1952	4,07	4,12	0	4,12	523,69	3,69

\* Pertes par frottements entre La section d'about et la section d'émergence du cable 1.

Cables	$\alpha(^\circ)$	$\alpha^{nd}$	$x(m)$	$l_c(m)$	$l_d(m)$	$l(m)$	$\Delta \sigma_f$	$\text{kg/cm}^2$
⑦	0	0	0	0	0	0	0	0
⑥	0	0	0	0	0	0	0	0
⑤	0,29	0,0051	1,53	1,52	0	1,52	11,02	1,17
④	0,60	0,0106	2,07	2,07	0	2,07	22,88	1,66
③	0,76	0,0132	1,57	1,57	0	1,57	28,46	3,69
②	7,64	0,1335	3,57	3,60	0	3,60	377,50	3,69

\* Raccourcissement instantané du béton:

Les Pertes par raccourcissement instantané du béton sont données par la Relation suivante:

$$\Delta \sigma_{\text{racc}} = \frac{1}{2} \frac{E_a}{E_i} \delta_{bj}'$$

$\delta_{bj}'$ : Contrainte probable du béton au niveau du Centre de gravité des armatures de précontrainte dans la section considérée sous l'effet de toute les actions de longues durées

$$\delta_b' = \frac{N}{B} + \frac{Ne^2}{I} + \frac{M.G.e}{I}$$

A. mi-travée :  $\delta_b' = \frac{417 \cdot 10^3}{10190,8} + \frac{417 \cdot 10^3 (105,59)^2}{31217956,24} - \frac{297 \cdot 10^5 \cdot 105,59}{31217956,24}$

$$\delta_b' = 89,38 \text{ kg/cm}^2$$

⊕ à  $L/4$  :  $\delta_b' = \frac{412 \cdot 10^3}{10190,8} + \frac{412 \cdot 10^3 \cdot 88,7^2 - 223 \cdot 10^5 \cdot 88,7}{31545390,18} = 80,47 \text{ kg/cm}^2$

$$\delta_{bj}' = \delta_b' \text{ moy } = \frac{89,38 + 80,47}{2} = 84,92 \text{ kg/cm}^2$$

$$E_a = 2,1 \cdot 10^6 \text{ kg/cm}^2, \quad E_i = 21000 \sqrt{\delta_{bj}'} = 420000 \text{ kg/cm}^2$$

$$\delta_{bj}' = 400 \text{ kg/cm}^2$$

$$\Delta \sigma_{\text{racc}} = \frac{1}{2} \cdot \frac{E_a}{E_i} \cdot \delta_{bj}' = 212,3 \text{ kg/cm}^2$$

PERTES DIFFÉRÉES :

a) flUAGE:  $\Delta \sigma_{\text{flavage}} = 2 \cdot \frac{E_a}{E_i} \cdot \delta_{bj}' = 849,2 \text{ kg/cm}^2$ .

$$\Delta \sigma_{\text{flavage}} = 849,2 \text{ kg/cm}^2$$

b) Retrait:

$$\Delta \sigma_{\text{retrait}} = E_r \cdot E_a \quad \text{avec } E_r = 2,3 \cdot 10^{-4}$$

$$\Delta \sigma_{\text{retrait}} = 2,3 \cdot 10^{-4} \cdot 2,1 \cdot 10^6 = 483 \text{ kg/cm}^2$$

Relaxation des Aciers

D'après L'IP2 ma:

$$\Delta \sigma_{\text{rel}} = \text{Max} \left\{ \frac{2,4 \cdot \frac{P_{1000}}{100} \cdot \frac{\delta_{pi} - 0,55 R_g}{0,25 R_g} \times \delta_{pi}}{\left( \frac{P_{3000} + 2,5}{1000} \right) \times \frac{\delta_{pi} - 0,55 R_g}{0,25 R_g} \times \delta_{pi}}, \frac{0,25 R_g}{0,25 R_g} \right\}$$

$$\rho_{1000} = 0,050 \quad ; \quad \rho_{3000} = 0,060$$

$$R_g = 14904 \text{ kg/cm}^2; \quad \sigma_{pi} = \sigma_0 - \sum \Delta \sigma_{\text{instantanés}}; \quad \sigma_0 = 12668 \text{ kg/cm}^2$$

À l'about:  $\sigma_{pi} = 12668 - 1311,98 - 212,13 = 11143,89 \text{ kg/cm}^2$

à la section d'émergence du câble 3:

À la section d'émergence du câble 2:

$$\sigma_{pi} = 12668 - 213,51 - 1298,27 - 212,13 = 10943,92 \text{ kg/cm}^2$$

$$\sigma_{pi} = 12668 - 206,38 - 1132,60 - 212,3 = 11116,72 \text{ kg/cm}^2.$$

à la section d'émergence du câble 1:

À la section médiane:

$$\sigma_{pi} = 12668 - 73,31 - 795,19 - 212,3 = 11587,2 \text{ kg/cm}^2$$

$$\sigma_{pi} = 12668 - 385,39 - 820,73 - 212,3 = 11249,58 \text{ kg/cm}^2$$

$$\boxed{\sigma_{pi \text{ moy}} = 11208,26 \text{ kg/cm}^2}$$

$\Delta \sigma_{\text{rel}} = \max \left\{ \begin{array}{l} 10,63 \text{ kg/cm}^2 \\ 226,96 \text{ kg/cm}^2 \end{array} \right\} \Rightarrow \Delta \sigma_{\text{rel}} = 226,96 \text{ kg/cm}^2$

des résultats obtenus seront adoptés pour toutes les sections toutes fois. L'IP2 propose de prendre les pertes différences égale à :

$$\Delta \sigma_{\text{diff}} = \begin{cases} \Delta \sigma_{\text{retr}} + \Delta \sigma_{\text{fluage}} + \Delta \sigma_{\text{rel}} - \frac{\Delta \sigma_{\text{rel}} (\Delta \sigma_{\text{ret}} + \Delta \sigma_{\text{flu}})}{\sigma_{pi} - 0,55 R_g} \\ \text{si } \Delta \sigma_{\text{ret}} + \Delta \sigma_{\text{flu}} < \sigma_{pi} - 0,55 R_g \\ \Delta \sigma_{\text{retrait}} + \Delta \sigma_{\text{fluage}} \text{ sinon.} \end{cases}$$

$$\Delta \sigma_{\text{retr}} + \Delta \sigma_{\text{flu}} = 483 + 849,2 = 1332,2 \text{ kg/cm}^2$$

$$\sigma_{pi} - 0,55 R_g = 11208,262 - 0,55 \cdot 14904 = 3011,062 \text{ kg/cm}^2$$

Nous avons bien :  $\Delta \sigma_{\text{ret}} + \Delta \sigma_{\text{flu}} < \sigma_{pi} - 0,55 R_g$ .

Donc :  $\Delta \sigma_{\text{diff}} = \Delta \sigma_{\text{ret}} + \Delta \sigma_{\text{flu}} + \Delta \sigma_{\text{rel}} - \frac{\Delta \sigma_{\text{rel}} [\Delta \sigma_{\text{ret}} + \Delta \sigma_{\text{flu}}]}{\sigma_{pi} - 0,55 R_g}$ .

$$\Delta \sigma_{\text{diff}} = 1332,2 + 226,96 - \frac{226,96 (1332,2)}{3011,062}$$

D'où :  $\boxed{\Delta \sigma_{\text{diff}} = 1458,74 \text{ kg/cm}^2}$

# VERIFICATIONS DES CONTRAINTES

## \* Phases d'exécution:

Les vérifications des contraintes se feront d'après les phases 1 - 2 - 3 - 4 - 5 qui seront explicitées ci-après.

### \* 1/ Vérification des contraintes normales:

Détermination de la contrainte initiale de calcul.

Nous allons effectuer les vérifications de contraintes au droit de la section médiane

Câbles	1	2	3	4	5	6	7
contrainte de mise en tension $\sigma_0$ [kg/cm²]	12668	12668	12668	12668	12668	12668	12668
Pertes par frottements $\Delta \sigma_f$ [kg/cm²]	1094,89	1158,48	1209,16	900,06	711,18	335,70	335,70
Pertes par recul d'ancreage [kg/cm²]	0	0	0	0	0	385,39	389,35

Câbles	1	2	3	4	5	6	7
Pertes par raccourcissement instantané [kg/cm²]	212,3	212,3	212,3	212,3	212,3	212,3	212,3
contrainte juste après mise en tension [kg/cm²]	11360,81	11297,22	11246,54	11555,6	11744,5	12120	12120

$$\bar{\sigma}_{moy} = 11634,96 \text{ kg/cm}^2$$

Nous prenons comme contrainte initiale de calcul la moyenne des contraintes juste après la mise en tension :

$$\bar{\sigma}_i = 11634,96 \text{ kg/cm}^2$$

Caractéristiques géométriques de la section médiane:

Section	B(cm²)	I(cm⁴)	i²(cm²)	Vs(cm)	Vi(cm)	e(cm)
Poutre seule	5670,8	16448915,7	2900,63	64,57	85,43	-92,79
Poutre + dalle	10190,8	31217956,24	3063,34	51,77	118,23	-105,55

Vérification des contraintes:

\* Phase 1: Contrainte initiale dans chaque câble

$$\bar{\sigma}_i = 11634,96 \text{ kg/cm}^2 \approx 11635 \text{ kg/cm}^2$$

Effort de précontrainte des quatre câbles d'about:

$$N = 11635 \times 4 \times 5,58 = 259693,2 \text{ kg}$$

\* Contrainte engendrée par l'effort de précontrainte:

$$\text{Fibre supérieure: (F.S)} \quad \bar{\sigma}_{ps} = \frac{259693,2}{5670,8} \left( 1 - \frac{92,79 \cdot 64,57}{2900,63} \right)$$

$$\text{Fibre Inferieure: (F.I)} \quad \bar{\sigma}_{pi} = \frac{259693,2}{5670,8} \left( 1 + \frac{92,79 \cdot 85,43}{2900,63} \right).$$

$$\bar{\sigma}_{ps} = -48,79 \text{ kg/cm}^2 ; \quad \bar{\sigma}_{pi} = 170,94 \text{ kg/cm}^2$$

Contrainte produite par le poids propre de la poutre:

$$\bar{\sigma}_{GS} = M \cdot V_s / I \quad ; \quad \bar{\sigma}_{GI} = - \frac{M \cdot V_i}{I}$$

$$\bar{\sigma}_{GS} = \frac{MVs}{I} = \frac{136 \cdot 10^5 \cdot 64,57}{16448915,77} = 53,38 \text{ kg/cm}^2$$

$$\bar{\sigma}_{Gi} = - \frac{136 \cdot 10^5 \cdot 85,43}{16448915,77} = - 70,63 \text{ kg/cm}^2.$$

### \* Calcul des Contraintes effectives

$$FS: \bar{\sigma}_S = \bar{\sigma}_{GS} + \bar{\sigma}_{ps} = 4,59 \text{ kg/cm}^2$$

$$FI: \bar{\sigma}_i = \bar{\sigma}_{Gi} + \bar{\sigma}_{pi} = 100,31 \text{ kg/cm}^2$$

à la fin de la première phase : la première série de câbles va subir une perte de tension estimée à  $\Delta \bar{\sigma}_d / 3$  ( $\Delta \bar{\sigma}_d$  : pertes différencées totales)

La contrainte de service devient

$$11634,96 - 1458,74/3 = 11148,71 \text{ kg/cm}^2$$

L'effort de précontrainte des 4 câbles est :

$$11148 \times 4 \times 5,58 = 248839,20 \text{ kg.}$$

Fibre	Contrainte engendrée par la précontrainte ( $\text{kg/cm}^2$ )	Contrainte due au poids propre (poutre) [ $\text{kg/cm}^2$ ]	Contrainte effective [ $\text{kg/cm}^2$ ]
F. S	-46,75	53,38	6,63
F. I	163,80	-70,63	93,17

\* Phase 2 : les câbles d'about vont encore subir une perte estimée à  $\bar{\sigma}_d / 3$  de la contrainte de service devient :

$$11148,71 - 1458,74/3 = 10662,46 \text{ kg/cm}^2$$

L'effort de précontrainte devient :

$$10662,46 \times 4 \times 5,58 = 237986,10 \text{ kg.}$$

$$(F.S): \bar{\sigma}_{ps} = \frac{237986,10}{5670,8} \left( 1 - \frac{92,79 \times 64,57}{2900,63} \right) = - 44,71 \text{ kg/cm}^2.$$

$$(F.I): \bar{\sigma}_{pi} = \frac{237986,10}{5670,8} \left( 1 + \frac{92,79 \times 85,43}{2900,63} \right) = 156,65 \text{ kg/cm}^2.$$

### \* Contrainte produite par le poids propre de la poutre + dalle :

$$(F.S): \bar{\sigma}_{GS} = \frac{153 \cdot 10^5 \cdot 64,57}{16448915,77} = 60,05 \text{ kg/cm}^2$$

$$(F.I): \bar{\sigma}_{Gi} = \frac{153 \cdot 10^5 \cdot 85,43}{16448915,77} = - 79,46 \text{ kg/cm}^2.$$

Fibre	Contrainte engendrée par précontrainte ( $\text{kg/cm}^2$ )	Contrainte due au poids propre (poutre + dalle)	Contrainte effective [ $\text{kg/cm}^2$ ]
F.S	-44,71	60,05	15,33
F.I	156,64	-79,46	77,18

\* Phase 3 : on met en tension les 3 câbles émergents  
①, ② et ③

Contrainte initiale :  $\bar{\sigma}_i = 11635 \text{ kg/cm}^2$ .

Force de précontrainte des 3 câbles

$$N = 3 \times 11635 \times 5,58 = 194769,9 \text{ kg}$$

La première série de câbles va subir une perte de  $1/3 \times \bar{\sigma}_d$ .

$$10662,46 - \frac{1}{3} \cdot 1458,74 = 10176,21 \text{ kg/cm}^2$$

force de Précontrainte des câbles ④ ⑤ ⑥ et ⑦

$$10176,21 \times 4 \times 5,58 = 227133,08 \text{ kg}$$

l'effort de précontrainte total est :

$$227133,08 + 194769,9 = 421902,98 \text{ kg}$$

Contrainte engendrée par la Précontrainte

$$(F.S): \bar{\sigma}_{ps} = \frac{421902,98}{10190,8} \left( 1 - \frac{105,59 \cdot 51,77}{3063,34} \right) = -32,47 \text{ kg/cm}^2$$

$$(F.I): \bar{\sigma}_{pi} = \frac{421902,98}{10190,8} \left( 1 + \frac{105,59 \cdot 118,23}{3063,34} \right) = 210,11 \text{ kg/cm}^2$$

Contrainte produite par le poids propre (poutre + dalle)

$$(F.S): \bar{\sigma}_{GS} = \frac{231,41 \cdot 10^5 \cdot 51,77}{31217956,24} = 38,37 \text{ kg/cm}^2$$

$$(F.I): \bar{\sigma}_{Gi} = - \frac{231,41 \cdot 105 \cdot 118,23}{31217956,24} = -87,64 \text{ kg/cm}^2$$

Contraintes effectives:

$$(F.S): \bar{\sigma}_S = \bar{\sigma}_{ps} + \bar{\sigma}_{GS} = 5,9 \text{ kg/cm}^2$$

$$(F.I): \bar{\sigma}_i = \bar{\sigma}_{pi} + \bar{\sigma}_{Gi} = 122,47 \text{ kg/cm}^2$$

à la fin de cette phase la deuxième série de câbles ① ② et ③ va subir une perte de  $\frac{1}{3}$  d.

\* Contrainte de service des câbles 1, 2, 3.

$$\bar{\sigma} = 11634,96 - \frac{1}{3} \cdot 1458,74 = 11148,71 \text{ kg/cm}^2$$

effort de précontrainte des câbles

$$P = 4 \times 11148,71 = 248839,2 \text{ kg}$$

\* effort de précontrainte total.

$$227133,08 + 248839,2 = 475972,28 \text{ kg}$$

Contraintes engendrées par la Précontrainte.

$$(F.S): \bar{\sigma}_{ps} = -36,63 \text{ kg/cm}^2$$

$$(F.I): \bar{\sigma}_{pi} = 237,03 \text{ kg/cm}^2$$

Fibre	C. E. par La Precont	C. E. due au pd. pro pre (poutre+dalle)	Contrainte effective
F. S	-36,63	38,37	1,74
F. I	237,03	-87,64	149,39

\* Phase : 4: On met en place la superstructure (trottoir + revet.

$$MG = + \text{garde corps} \cdot MG = 302,77 \text{ t.m.}$$

$$MG = q \frac{l^2}{8} \times \frac{1}{6} = 22,35 \cdot 25,5^2 \times \frac{1}{6} = 302,77 \text{ t.m.}$$

Contraintes engendrées par les charges permanentes:

$$(F.S): \bar{\sigma}_{GS} = \frac{302,77 \cdot 10^5 \cdot 51,77}{31217956,24} = 50,20 \text{ kg/cm}^2$$

$$(F.I): \bar{\sigma}_{Gi} = - \frac{302,77 \cdot 10^5 \cdot 118,23}{31217956,24} = -114,66 \text{ kg/cm}^2$$

la 1<sup>re</sup> série de câbles a subi toute les pertes, l'effort de précontrainte des 4 câbles 4, 5, 6, 7 est :

$$P = 227133,08 \text{ kg.}$$

la deuxième série de câbles va subir une perte estimée à  $\frac{2}{3}$  d.

$$\bar{\sigma} = 11148,71 - \frac{2}{3} \cdot 1458,74 = 10176,21 \text{ kg/cm}^2$$

l'effort de précontrainte total est :

$$227133 + 227133,08 = 454266,08 \text{ kg.}$$

Contrainte engendrées par la précontrainte :

$$(F.S) : \sigma_{ps} = \frac{454266,08}{10180,8} \left( 1 - \frac{105,59 \times 51,77}{3063,34} \right) = -34,96 \text{ kg/cm}^2$$

$$(F.I) : \sigma_{pi} = \frac{454266,08}{10180,8} \left( 1 + \frac{105,59 \times 118,23}{3063,34} \right) = +226,22 \text{ kg/cm}^2$$

Fibre	Contr. eng. par la Precontr. [kg/cm²]	Contr. due au pd. pr. (poutre + dalle + corniche)	Contrainte effectives
F.S	-34,96	50,90	15,94
F.I	226,22	-114,66	111,56

\* Phase : 5 : c'est la phase de service en charge  
on applique les surcharges, dans notre cas c'est le  
convoi (D) qui est le plus défavorable.

$$(F.S) : \sigma_{(G+Q)_S} = \frac{561 \cdot 10^5 \cdot 51,77}{31217956,24} = 93,03 \text{ kg/cm}^2$$

$$(F.I) : \sigma_{(G+Q)_I} = \frac{561 \cdot 10^5 \cdot 118,23}{31217956,24} = -212,46 \text{ kg/cm}^2$$

Tous les câbles ont déjà subi toutes les pertes  
\* contrainte engendrées par la précontrainte

$$(F.S) : \sigma_{ps} = -34,96 \text{ kg/cm}^2$$

$$(F.I) : \sigma_{pi} = 226,22 \text{ kg/cm}^2$$

Fibre	Contr. eng par la Precont. (kg/cm²)	Contr. due au pd. Poutre + dalle + corniche	Contrainte effectives . kg/cm²
F.S	-34,96	93,03	58,07
F.I.	226,22	-212,46	13,76

## II/ vérification des contraintes tangentielle:

- EFFORT tranchant réduit.

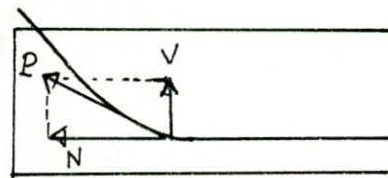
L'effort de précontrainte peut se décomposer au droit de chaque section en deux composantes

$$N = \sum P \cos \alpha \quad V = \sum P \sin \alpha$$

soit  $TQ$  l'effort tranchant du aux sollicitations extérieures, l'effort tranchant réduit s'écrit

$$T_r = TQ - V = TQ - \sum P \sin \alpha$$

### \* Contrainte de cisaillement :



Elle est donnée par la formule de la IRDM :  $\gamma = \frac{T_r}{b \cdot z}$

$$\gamma = \frac{I}{S}, \quad I = \text{moment d'inertie de la section}$$

$$S = M_t \text{ stat / à l'axe H-H passant par le CG de la section}$$

### \* Contrainte de cisaillement admissible :

Elle se détermine par la formule de CHALOS

$$\bar{\gamma}^2 = \frac{\bar{\sigma}}{\bar{\sigma}} (\bar{\sigma}' - \bar{\sigma}_g)(\bar{\sigma}' + \bar{\sigma}_g)$$

$\bar{\sigma}$  et  $\bar{\sigma}'$  sont respectivement les contraintes admissibles de traction et compression

$\bar{\sigma}_g$  : Contrainte au niveau du centre de gravité de la section

\* En phase de construction :

$$\bar{\sigma} = 0,55 \bar{\sigma}_{28} = 17,05 \text{ kg/cm}^2 ; \quad \bar{\sigma}' = 0,55 \bar{\sigma}'_{28} = 220 \text{ kg/cm}^2$$

\* En Phase de Service :  $\bar{\sigma} = 0,42 \sigma_{28} = 13,02 \text{ kg/cm}^2$

$$\bar{\sigma}' = 0,42 \sigma'_{28} = 168 \text{ kg/cm}^2$$

\* Vérifications des contraintes tangentielles :

Le Principe consiste à vérifier pour chaque phase que  $\sigma \leq \bar{\sigma}$  au niveau de chaque section

Section	$B(\text{cm}^2)$	$I(\text{cm}^4)$	$V_S(\text{cm})$	$i^2(\text{cm}^2)$	$e(\text{cm})$	$\sum c_{0,0} \alpha_i$	$\sum s_{0,0} \alpha_i$	$V_i(\text{cm})$
Poutre Seule	10039,92	19973599,05	66,94	1989,41	-67,03	3,949	0,465	83,06
Poutre + Dalle	14559,89	39954734,92	63,33	2744	-41,44	3,949	0,465	106,67

\* Contraintes initiales dans chaque câble à l'about (après les pertes instantanées) :

$$\begin{aligned}\bar{\sigma}_i &= \sigma_0 - \sum \Delta \sigma_{\text{inst}} - \sum \Delta \sigma_{\text{rel}} \\ \bar{\sigma}_i &= \sigma_0 - \sum \Delta \sigma_{\text{racc}} - \sum \Delta \sigma_{\text{recul}} = 12668 - 212,3 - 1311,98 = \\ &\underline{\underline{\bar{\sigma}_i = 11143,72 \text{ kg/cm}^2}}$$

\* Phase 1 :

Contrainte de Service :  $11143,72 - \frac{1}{3} 1458,74 = 10657,47 \text{ kg/cm}^2$

\* Precontrainte par câble :  $P = 10657,47 \times 5,58 = 59468,68 \text{ kg}$

$$N = \sum P c_{0,0} \alpha_i = 59468,68 \times 3,949 = 234841,81 \text{ kg}$$

$$V = \sum P s_{0,0} \alpha_i = 59468,68 \times 0,465 = 27652,93 \text{ kg}$$

$$Tz = Tg - V = 9 \frac{l}{2} - V = 1,67 \cdot \frac{25,5}{2} - 27,65 = -6,35 \text{ t}$$

$$b_0 = 60 - 5,05 = 54,95 \text{ cm.}$$

$$S = \frac{G_0 \cdot (66,94)^2}{2} + 12 \times 40 \times 60,94 \times 2 + 40 \times 4 \times 53,60 = 201507,30 \text{ cm}^3$$

$$Z = \frac{I}{S} = \frac{19973599,05}{201507,3} = 99,12 \text{ cm}$$

$$\text{d'où } \bar{\sigma} = \frac{-6,35 \cdot 10^3}{54,95 \times 99,12} = -1,165 \text{ kg/cm}^2$$

\* Calcul de  $\bar{\sigma}$  :

Contrainte produite par  $N$

$$(F.S) : \frac{234841,81}{10039,92} \left( 1 + \frac{67,03 \times 66,94}{1989,41} \right) = 76,14 \text{ kg/cm}^2$$

$$(F.I) : \frac{234841,81}{10039,92} \left( 1 - \frac{67,03 \times 83,06}{1989,41} \right) = -42,07 \text{ kg/cm}^2$$

\* Contrainte au niveau du Centre de gravité de la section

$$\sigma_g = 76,14 + (76,14 + 42,07) \cdot \frac{66,94}{150} = 128,89 \text{ kg/cm}^2$$

$$\text{d'où } \bar{\sigma}^2 = \frac{\bar{\sigma}}{\bar{\sigma}'} (\bar{\sigma} - \sigma_g)(\bar{\sigma} + \sigma_g) \Rightarrow 32,10 \text{ kg/cm}^2 = \bar{\sigma}.$$

$$|\bar{\sigma}| = 1,165 < \bar{\sigma} = 32,10 \text{ kg/cm}^2$$

\* Phase 2 : La Première série d'armature va subir une perte estimée à  $\frac{1}{\Sigma \Delta \sigma d}$

$$\text{Precontrainte résiduelle : } 10657,47 - \frac{1}{3} \times 1458,74 = 10171,92 \text{ kg/cm}^2$$

$$\text{Precontrainte par câble : } 10171,92 \times 5,358 = 56755,42 \text{ kg/cm}^2$$

$$N = 56755,42 \times 3,949 = 224127,17 \text{ kg}$$

$$V = 56755,42 \times 0,465 = 26391,27 \text{ kg}$$

$$T_2 = (T_{\text{poutre}} + \text{dalle}) - V = 36,3 - 26,39 = 9,91 \text{ t}$$

$$\gamma = \frac{9910}{54,95 \cdot 99,12} = 1,81 \text{ kg/cm}^2$$

### Contrainte produite par N

$$(F.S) : \frac{224127,17}{10039,92} \left( 1 + \frac{67,03 \times 66,94}{1989,41} \right) = 72,66 \text{ kg/cm}^2$$

$$(F.I) : \frac{224127,17}{10039,92} \left( 1 - \frac{67,03 \times 83,86}{1989,41} \right) = -40,15 \text{ kg/cm}^2$$

$$\bar{\sigma}_g = 72,66 + (72,66 + 40,15) \frac{66,94}{150} = 123 \text{ kg/cm}^2$$

$$\bar{\sigma}^2 = (32,44)^2 \text{ kg/cm}^2 \Rightarrow \bar{\sigma} = 32,44 \text{ kg/cm}.$$

$$|\bar{\sigma}| = |\bar{\sigma}| \text{ vérifier.}$$

\* Phase 3 :

### Contrainte résiduelle:

$$10171,92 - \frac{1}{3} \cdot 1458,74 = 9684,97 \text{ kg/cm}^2$$

$$\text{Contrainte par 3 câbles : } 9684,97 \times 5,58 = 54042,15 \text{ kg}$$

$$N = 54042,15 \times 3,949 = 213412,45 \text{ kg}$$

$$V = 54042,15 \times 0,465 = 25129,60 \text{ kg}$$

$$T_2 = 36,3 - 25,12 \text{ g} = 11,17 \text{ t}$$

$$S = 40200 \text{ t}, 46 \text{ cm}^3 \quad z = 99,38 \text{ cm}$$

$$\bar{\sigma} = \frac{11,17 \cdot 10^3}{54,95 \cdot 99,38} = 2,045 \text{ kg/cm}^2$$

### Contrainte engendrée par N

$$(F.S) : \frac{213412,15}{14559,89} \left( 1 - \frac{41,44 \times 63,33}{2744} \right) = 0,63 \text{ kg/cm}^2$$

$$(F.I) : \frac{213412,15}{14559,89} \left( 1 + \frac{41,44 \times 106,67}{2744} \right) = 38,26 \text{ kg/cm}^2$$

$$\bar{\sigma}_g = 0,63 + (0,63 - 38,26) \cdot \frac{63,33}{170} = -13,38 \text{ kg/cm}^2$$

$$\bar{\sigma} = 22,07 \text{ kg/cm}^2 \Rightarrow |\bar{\sigma}| = 2,045 \text{ kg/cm}^2 < \bar{\sigma} = 22,07 \text{ kg/cm}^2$$

\* Phase 4 : toutes les pertes ont été déjà consommées

$$\text{Contrainte par Câble 3 : } 9684,97 - \frac{1}{3} \cdot 1458,74 = 9198,72 \text{ kg/cm}^2$$

$$N = 9198,72 \times 3,949 = 202697,73 \text{ kg.}$$

$$V = 9198,72 \times 0,465 = 23867,92 \text{ kg.}$$

$$T_2 = 24765 - 23867,92 = 897,08 \text{ kg}$$

$$\bar{\sigma} = \frac{897,08}{54,95 \times 99,38} = 0,164 \text{ kg/cm}^2$$

Contrainte engendrée par N:

$$(F.S) : \sigma_g = 0,606 \text{ kg/cm}^2 ; \quad (F.I) : \bar{\sigma} = 22,24 \text{ kg/cm}^2$$

$$|\sigma| = \bar{\sigma} \quad \text{vérifiée}$$

\* Phase 5

$$N = 202697,73 \text{ kg} \quad V = 23867,92 \text{ kg}$$

$$T_2 = 52080 - 23867,92 = 28212,08 \text{ kg}$$

$$\bar{\sigma} = \frac{28212,08}{54,95 \times 99,38} = 5,16 \text{ kg/cm}^2$$

$$|\sigma| < \bar{\sigma} = 22,24 \text{ kg/cm}^2 .$$

Le principe de calcul est le même pour les autres sections. Les résultats pour les sections d'émergence des câbles ①, ② et ③ sont regroupés dans les tableaux suivants :

- Section d'émergence du câble ① :

	Phase 1	Phase 2	Phase 3	Phase 4	Phase 5
$ Z  \text{ [kg/cm}^2]$	7,71	17,78	16,68	9,97	26,45
$\bar{Z} \text{ [kg/cm}^2]$	32,24	27,74	30,11	30,93	30,93

- Section d'émergence du câble ② :

	Phase 1	Phase 2	Phase 3	Phase 4	Phase 5
$Z$	1,27	11,65	14,55	5,27	23,11
$\bar{Z}$	28,67	29,73	31,81	31,38	31,38

- Section d'émergence du câble ③ :

	Phase 1	Phase 2	Phase 3	Phase 4	Phase 5
$Z$	1,28	4,16	4,27	2,28	7,28
$\bar{Z}$	30,47	31,28	32,68	32,49	32,49

A chaque section et à chaque phase nous avons :

$$Z < \bar{Z}$$

## VERIFICATION A LA RUPTURE

Les ouvrages en béton précontraint présentent un caractère particulier car le fait d'adopter des contraintes modérées pour les cas de charges extrêmes ne garantit pas la sécurité vis-à-vis d'une augmentation de ces charges.

L'I.P.1 prescrit une majoration de la surcharge seule dans le rapport de 80%.

### 1/ SECURITE A LA RUPTURE EN FLEXION:

#### (A) MOMENT DE RUPTURE PAR LE BETON:

Nous vérifierons la condition :  $M_g + 1,8M_\varphi \leq 0,7M_{RB}$ .

avec :

$$M_g = 259 \text{ t.m}$$

$$M_\varphi = 264 \text{ t.m}$$

$M_{RB} = M_{RB1} + M_{RB2}$  (Moment de rupture du béton).  
Calcul de  $M_{RB}$ :

$$M_{RB1} = 0,35 b_0 h \sigma'_n \quad (\text{relatif à l'âme})$$

$$M_{RB2} = \min \left\{ \begin{array}{l} 0,8(b-b_0)h_0(h-\frac{h_0}{2})\sigma'_n \\ 0,35(b-b_0)h^2\sigma'_n \end{array} \right\}$$

$$h = h_t - d' = 170 - 13 = 157 \text{ cm}$$

$$h_0 = 12 \text{ cm}$$

$$b_0 = 18 \text{ cm}$$

$$b = 143 \text{ cm}$$

$$\sigma'_n = 400 \text{ Kg/cm}^2$$

$$\left. \begin{array}{l} M_{RB1} = 621,15 \text{ t.m} \\ M_{RB2} = 724,8 \text{ t.m} \end{array} \right\} \Rightarrow M_{RB} = 1345,95 \text{ t.m}$$

$$M_g + 1,8M_\varphi = 734,2 \text{ t.m} < 0,7M_{RB} = 942,16 \text{ t.m} \quad (\text{vérifié})$$

#### (B) MOMENT DE RUPTURE PAR LES ACIERS

Nous vérifierons la condition :

$$M_g + 1,8M_\varphi \leq \begin{cases} 0,9 M_{RA} & \text{si } M_f < M_{RA} \\ 0,8 M_{RA} & \text{si } M_f \geq M_{RA} \end{cases}$$

avec  $M_{RA} = 0,9 h_w R_g$  (Moment de rupture de l'acier)

$$M_f = \sigma \cdot \frac{I}{V} \quad (\text{Moment de fissuration})$$

#### Calcul de $M_f$ et de $M_{RA}$ :

. Pour  $M_{RA}$ :

$$w = 5,58 \times 7 = 39,06 \text{ cm}^2 \quad (\text{section des câbles})$$

$$R_g = 14904 \text{ Kg/cm}^2 \quad (\text{contrainte de rupture garantie})$$

$$h = h_t - d_i = 157 \text{ cm}$$

$$\Rightarrow M_{RA} = 0,9(157) \times 39,06 \times 14904 = 822,57 \text{ t.m}$$

. Pour  $M_f$ :

$$\sigma = \sigma_p + 2\sigma_n : \text{pour la fibre inférieure.}$$

$$\sigma_p = \text{contrainte due à la précontrainte.}$$

$$\sigma_n = 31 \text{ kg/cm}^2 \quad (\text{Contrainte de traction})$$

$$\sigma'_p = \frac{N}{B} \left( 1 - e^{-\frac{V}{I^2}} \right) = \frac{417 \times 10^3}{10190,8} \left( 1 + \frac{105,59 \times 118,23}{3063,34} \right)$$

$$\sigma'_p = 207,67 \text{ kg/cm}^2$$

$$\text{d'où } \sigma = 269,67 \text{ kg/cm}^2$$

$$M_G + 1,8 M_Q = 734,2 \text{ t.m}$$

$$\sigma = 269,67 \text{ kg/cm}^2$$

$$\left. \begin{aligned} I &= 31217956,24 \text{ cm}^4 \\ V_i &= 118,23 \text{ cm} \end{aligned} \right\} \Rightarrow M_f = 712,04 \text{ t.m} < M_R = 822,57 \text{ t.m.}$$

$$M_G + 1,8 M_Q = 734,2 \text{ t.m} < 0,9 M_R = 740,31 \text{ t.m} \quad (\text{Vérifié}).$$

## 2% SECURITE A LA RUPTURE PAR EFFORT TRANCHANT:

$$\text{Nous vérifierons la condition : } \sigma = \frac{2C}{\sin 2\delta} \leq 0,5 \sigma'_{28}.$$

L'effort tranchant réduit est :  $T_r = T_Q + 1,8 T_Q - V$

$$T_G = 46,54 \text{ t}$$

$$T_Q = 41,38 \text{ t}$$

$$V = 25,12 \text{ t}$$

$$\left. \begin{aligned} T_r &= 95,904 \text{ t} \end{aligned} \right\}$$

$$\sigma = \frac{T_r}{b_0 \times z} \quad \text{avec } b_0 = 60 - 5,05 = 54,95 \text{ cm}.$$

$$z = \frac{I}{S} = \frac{39954734,22}{402007,46} = 99,38 \text{ cm}.$$

$$\sigma = \frac{95,904 \times 10^3}{54,95 \times 99,38} = 17,56 \text{ kg/cm}^2$$

$$\operatorname{tg} 2\delta = \frac{2C}{\sigma_g}$$

Calcul de  $\sigma_g$ :

$$\text{Fibre supérieure : } \sigma'_p = \frac{213412,45}{14559,89} \left( 1 - \frac{41,44 \times 63,33}{2744} \right) = 0,638 \text{ kg/cm}^2$$

Fibre inférieure :

$$\sigma'_p = \frac{213412,45}{14559,89} \left( 1 + \frac{41,44 \times 106,67}{2744} \right) = 38,26 \text{ kg/cm}^2$$

Au niveau du centre de gravité nous aurons :

$$\sigma_g = 0,638 (38,26 - 0,638) \times \frac{63,33}{170} = 14,65 \text{ kg/cm}^2$$

$$\text{d'où } \operatorname{tg} 2\delta = \frac{8Z}{\sigma_g} = \frac{2 \times 17,56}{14,65} = 2,39 \Rightarrow 2\delta = 67,29$$

$$\sigma = \frac{2C}{\sin(2\delta)} = \frac{2 \times 17,56}{\sin(67,29)} = \frac{35,12}{0,9224} = 38,04 \text{ kg/cm}^2$$

$$\sigma = 38,04 \text{ kg/cm}^2 < 0,5 \sigma'_{28} = 200 \text{ kg/cm}^2 \quad (\text{Vérifié})$$

En ce qui concerne la contrainte des armatures transversales nous prendrons :

$$\delta = \frac{67,29}{2,35} = 33,645 \text{ soit } \operatorname{tg} 2\delta = 0,665$$

Nous vérifierons la conditions :  $\sigma_a = \frac{\epsilon \cdot T_r}{A_t} \times \frac{\operatorname{tg} \delta}{z} \leq 1,2 \text{ en}$

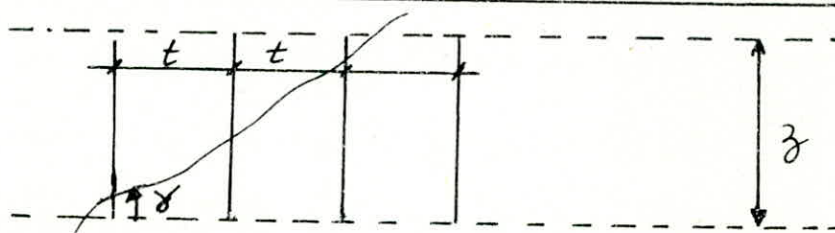
$$\sigma'_a = \frac{15 \times 95904}{2,35} \times \frac{0,665}{99,38} = 4096,21 \text{ kg/cm}^2 < 1,2 \text{ en} = 5040 \text{ kg/cm}^2 \quad (\text{Vérifié})$$

## ARMATURES TRANSVERSALES

Les armatures transversales ont essentiellement pour rôle de couvrir les fissures qui peuvent être produites par le retrait et la reprise de bétonnage.

Espacement des armatures transversales :  $t$  :

Nous admettons que les fissures qui peuvent se produire font un angle  $\gamma$  avec la parallèle à la fibre moyenne de la poutre.  
L'angle  $\gamma$  est tel que :  $\operatorname{tg} 2\gamma = \frac{2z}{\sigma_g}$ .



Soit  $n$  le nombre de cadres de section  $A'_t$  espacés de  $t$ .

$$n = \frac{L}{t} = \frac{\gamma}{t \cdot \operatorname{tg} \gamma} \quad \text{nous devons avoir : } \frac{T_r}{n A'_t} \leq \bar{\sigma}_{at}$$

$$\bar{\sigma}_{at} = \sigma_{en f_a} \quad \text{avec} \quad f_a' = \begin{cases} 2/3 \text{ s'il y a reprise de bétonnage} \\ 1 - \frac{1}{3} \left( \frac{C}{Z} \right)^2 \text{ sinon.} \end{cases}$$

$$\frac{T_r}{n A'_t} = \frac{T_r}{A'_t} \times \frac{\operatorname{tg} \gamma}{\gamma} \leq \bar{\sigma}'_{at} \Rightarrow t \leq \frac{\bar{\sigma}'_{at} \cdot A'_t}{T_r} \times \frac{\gamma}{\operatorname{tg} \gamma}$$

Toutefois  $t$  doit vérifier  $t \leq \bar{t}$  avec :

$$\bar{t} = \inf \left\{ \begin{array}{l} h t \left( 1,25 - 0,95 \frac{C}{Z} \right) \\ b \cdot \left( 5 - 2 \frac{C}{Z} \right) \\ 4 b_0 \end{array} \right\}$$

### Section d'about :

$$\begin{aligned} T_r &= 6350 \text{ Kg} \\ \sigma_g &= 128,89 \text{ Kg/cm}^2 \\ z &= 99,12 \text{ cm} \\ \frac{C}{Z} &= 1,165 \text{ Kg/cm}^2 \\ Z &= 32,10 \text{ Kg/cm}^2 \\ A'_t &= 2,35 \text{ cm}^2 \quad (3T10). \end{aligned}$$

$$f_a' = \left[ 1 - \frac{1}{3} \left( \frac{1,165}{32,10} \right)^2 \right] = 0,99 \quad \text{pas de reprise de bétonnage.}$$

$$\bar{\sigma}'_{at} = 4200 \times 0,99 = 4158 \text{ Kg/cm}^2$$

$$\operatorname{tg} \vartheta = \frac{\alpha G}{r_g} = \frac{2 \times 1,165}{128,89} = 0,018 \Rightarrow \vartheta = 0,515 \Rightarrow \operatorname{tg} \vartheta = 0,0089$$

$$t \leq \frac{4158 \times 2,35 \times 99,12}{6350 \times 0,0089} = 17,137 \text{ cm}$$

$$t \leq \begin{cases} 170 \left( 1,25 - 0,95 \times \frac{1,165}{32,10} \right) = 182,33 \text{ cm} \\ 54,95 \left( 5 - 2 \times \frac{1,165}{32,10} \right) = 270,76 \text{ cm} \\ 4 \times 54,95 = 219,80 \text{ cm} \end{cases}$$

Pourcentage minimale :

$$\tilde{w}_t = 0,25 \times \frac{h_t}{h_t + 3b_0} = 0,25 \times \frac{170}{170 + 3 \times 54,95} = 12,69\% \simeq 13\%$$

$$0,1\% < \tilde{w}_t < 0,2\%$$

$$\bar{E} = \frac{A't}{\tilde{w}_t \cdot b_0} = \frac{2,35 \times 100}{0,13 \times 54,95} = 32,89 \text{ cm}.$$

Nous prenons un espace :  $t = 30 \text{ cm}$ .

#### SECTION D'EMERGENCE DU CABLE ④:

$$T_e = 11814 \text{ kg}$$

$$\sigma_g = 267,20 \text{ kg/cm}^2$$

$$z = 26,45 \text{ kg/cm}^2$$

$$\tilde{z} = 30,93 \text{ kg/cm}^2$$

$$\sigma_{at} = \left[ 1 - \frac{1}{3} \left( \frac{26,45}{30,93} \right)^2 \right] \times 4200 = 3176,18 \text{ kg/cm}^2$$

$$\tan \vartheta = 2 \cdot \frac{26,45}{267,20} = 0,1979 \Rightarrow \vartheta = 5,59^\circ$$

$$t = \frac{3176,18 \times 2,35 \times 118,25}{11814 \times 0,97} = 37,02$$

$$\bar{t} = \inf \begin{cases} 170 \left( 1,25 - 0,95 \times \frac{26,45}{30,93} \right) = 74,8 \\ 12,95 \left( 5 - 2 \times \frac{26,45}{30,93} \right) = 42,60 \\ 4 \times 12,95 = 51,80 \end{cases}$$

Nous prendrons  $t = 35 \text{ cm}$

Pourcentage minimal :  $\tilde{w}_t = 0,25 \times \frac{150}{150 + 3 \times 12,95} = 0,198$

## 2/ ARMATURES LONGITUDINALES

Ces armatures vont jouer le rôle des armatures de construction et des armatures de peau.

D'après l'IP1 (Article 18) Le pourcentage minimal des armatures longitudinales à mettre doit être pris égal à la moitié du pourcentage des armatures transversales.

\* A l'about:

$$\hat{w}_p = 0,5 \hat{w}_t = 0,13 \times 0,5 = 0,065$$

section minimal des armatures.

$$A_{min} = B_{âme} \times \hat{w}_p$$

$$B_{âme} = 60 \times 150 = 9000 \text{ cm}^2 \Rightarrow$$

$$A_{min} = \frac{9000 \times 0,065}{100} = 5,85 \text{ cm}^2$$

\* En travée:

$$\hat{w}_p = 0,5 \times 0,198 = 0,099 \Rightarrow A_{min} = \frac{2700 \times 0,099}{100} = 2,67 \text{ cm}^2$$

Nous prenons des T12 comme armatures longitudinales, les armatures vont être placées le long de l'âme, dans le talon et dans la table de la poutre.

Cadre du Talon:

D'après la disposition de l'IP1, les cadres du talon doivent être choisis de manière à satisfaire la relation suivante:

$$\textcircled{1} \quad \frac{\hat{w}_t}{t} \geq C \cdot \frac{\sigma_{28}}{\sigma_{en}}$$

$\hat{w}_t$ : pourcentage des  $A_t$  (cadre du talon).  
 $t$ : espacement des cadres du talon.  
 $C$ : enrobage.

$$\textcircled{2} \quad \frac{\hat{w}_t}{t} \geq 1,3D \cdot \frac{\sigma_{28}}{\sigma_{en}}$$

La relation  $\textcircled{1}$  est applicable si  $D \leq C \leq 1,3D$

la relation  $\textcircled{2}$  est applicable si  $C > 1,3D$ .

avec  $D$ : diamètre de la gaine.

Nous utilisons des T12 comme cadre du talon.

$$\sigma_{en} = 4200 \text{ Kg/cm}^2; A_t = 2,35 \text{ cm}^2; \sigma_{28} = 31 \text{ Kg/cm}^2; D = 5,05 \text{ cm}$$

\* section médiane:

$$C = 7 \text{ cm} > 1,3D = 6,565 \text{ cm} \quad \text{nous utiliserons la relation } \textcircled{2}$$

$$t \leq \frac{\hat{w}_t \times \sigma_{en}}{1,3D \sigma_{28}} \Rightarrow t \leq 20,63 \text{ cm} \quad \text{nous prenons } t = 15 \text{ cm}$$

\* Section d'about:

$$C = 8 \text{ cm} \Rightarrow C > 1,3D = 6,565 \text{ cm}$$

$$t \leq \frac{\hat{w}_t \sigma_{en}}{1,3D \sigma_{28}} \Rightarrow t \leq 13,54 \text{ cm}$$

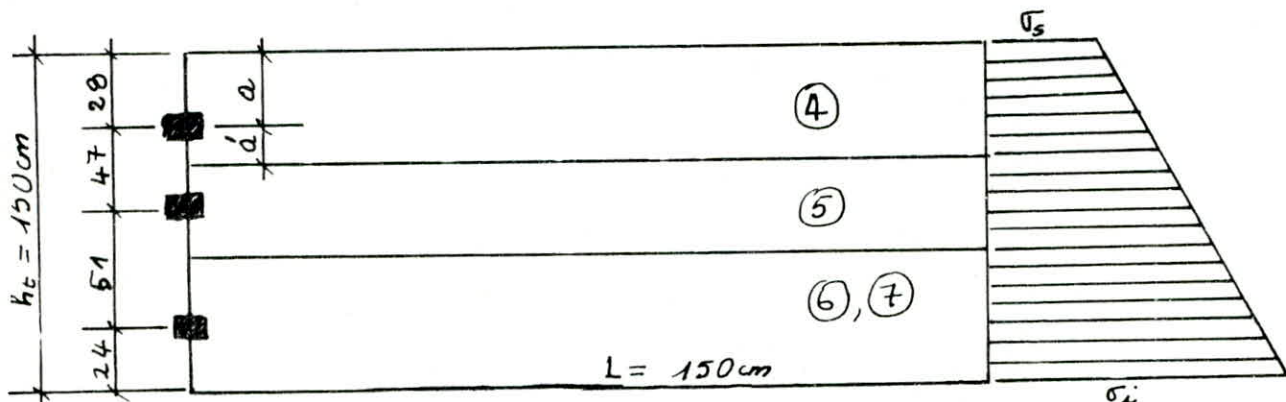
Nous prenons  $t = 10 \text{ cm}$ .

## ETUDE DE LA ZONE D'ABOUT

### 1°/ INTRODUCTION:

Au niveau de la zone d'about, la précontrainte n'a pas son plein effet qu'à une certaine distance de son point d'application. Cette distance est appelée zone de régularisation qui est le siège des efforts complexes.

### 2°/ DETERMINATION DES EFFORTS:



$L$  : zone de régularisation des contraintes supposée égale à la hauteur de la poutre.

$a, a'$  : distance de l'ancre aux bords du prieur qui lui est associé.

(4) : prieur associé à l'ancre du câble (4)

(5) : prieur associé à l'ancre du câble (5)

(6), (7) : prieur associé à l'ancre du câble (6) ou (7).

Effort de surface  $T_s$  et calcul des frettés:

L'effort de surface  $T_s$  est donné par la formule établie selon la théorie de GUYON.

$$T_s = \left[ 0,04 + 0,2 \left( \frac{a-a'}{a+a'} \right)^3 \right] \times F$$

avec  $F$ : force utile du câble dans le cas d'un ancre incliné; nous majorons  $F$  de 10%.

A l'about la contrainte du câble est  $\sigma_0$ .

$\sigma = 10657,47 \text{ Kg/cm}^2$  (contrainte après pertes instantanées)

$$F = 1,1 \times 10657,47 \times 5,58 = 65415,55 \text{ Kg}$$

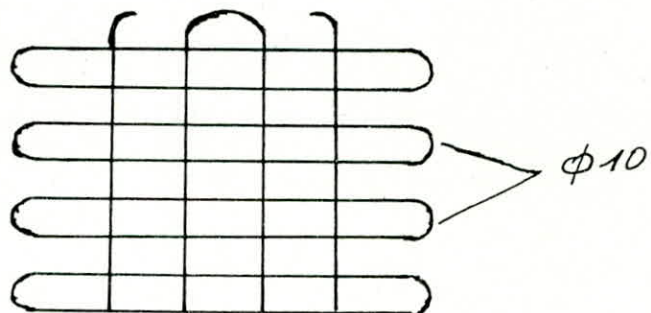
Les valeurs de  $T_s$  sont regroupées dans le tableau suivant:

Prieur	$a[\text{cm}]$	$a'[\text{cm}]$	$F [\text{t}]$	$0,04F [\text{t}]$	$0,2 \left( \frac{a-a'}{a+a'} \right)^3 \cdot F$	$T_s$
(4)	28	23,5	65,42	2,62	0,0087	2,63
(5)	23,5	25,5	65,42	2,62	-0,00088	2,62
(6), (7)	25,5	24	65,42	2,62	0,00036	2,62

Calcul de frettés: nous utilisons des aciers doux ;  $\bar{\sigma}_a = \frac{2}{3} \times 2400$

$$T_{max} = 2,63t ; A = \frac{T_{max}}{\bar{\sigma}_a} = \frac{2,63 \times 10^3}{1600} = 1,65 \text{ cm}^2$$

Nous adoptons une frette verticale en  $\phi 10$  formée par 4 branches ( $A = 3,14 \text{ cm}^2$ ). Cette frette commune aux ancorages sera placée le plus près possible de la face d'about tout en respectant les conditions d'enrobage. Nous ajoutons également une frette horizontale formée de 4 branches.



### Effort d'éclatement $T_e$

Notation:  $a$ : longueur de l'ancrage

$2a$ : longueur du prisme fictif avec accès; si  $a > a' \Rightarrow 2a'$

$K$ : coefficient de réduction

$F$ : force utile du câble

$S$ : surface du prisme fictif

$P$ : contrainte moyenne d'éclatement

$\sigma_{y_{max}}$ : contrainte max d'éclatement

Posons:

$$y = \frac{a'}{2a} ; \sigma_{y_{max}} = 0,65P(1-y) \quad [\text{kg/cm}^2]$$

$$P = \frac{F}{S} ; K = 1 - \left( \frac{S}{\sigma_{y_{max}}} \right)^2$$

$T_e$ : évaluée à partir de règle des prismes symétriques (prisme fictif).

$$T_e = \frac{F}{3} (1-y) \cdot K$$

### Les dimensions à prendre en compte :

- pour le prisme  $i$ :  $2axa$ ; plaque d'ancrage.

$$a_1 \times a_2 = 24 \times 24 \text{ cm}^2$$

$F$ : force utile du câble =  $65,42t$

Prisme	$2a \text{ [cm]}$	$y$	$\frac{F}{3}(1-y) \text{ [t]}$	$S = 2a \cdot a$	$\sigma_y^{max} = 0,65P(1-y)$	$P = \frac{F}{S} \text{ [kg/cm}^2]$	$T_e = \frac{F}{3}(1-y)K \text{ [t]}$
④	47	0,51	10,68	1316	15,82	49,71	7,95
⑤	47	0,51	10,68	1198,5	17,37	54,58	8,42
⑥, ⑦	48	0,51	10,68	1224	17,01	53,44	8,32

$T_e^{max} = 8,42t$ : Les armatures nécessaires pour reprendre cet effort ont une section.

$$A = \frac{8,42 \times 10^3}{1600} = 5,26 \text{ cm}^2$$

Nous adoptons  $5\phi 12$  ( $A = 5,65 \text{ cm}^2$ )

Nous prévoyons aussi des armatures pour reprendre la poussée au vide :  
 $w = 0,3\%$ .

$$A_{\text{anc}} = 60 \times 150 = 9000 \text{ cm}^2; A_t = \frac{0,3}{100} \times 9000 = 27 \text{ cm}^2$$

soit 9 cadres  $\phi 14$  ( $A = 27,7 \text{ cm}^2$ ).

Contrainte maximale sous l'ancrage :

Le règlement admet comme contrainte admissible de compression sous l'ancrage la valeur :

$$\bar{\sigma}_{t.m}' = \frac{1}{1,6} \cdot \bar{\sigma}_j' \times K; \text{ avec}$$

$$K = 1 + \left( 3 - \frac{a_1}{b_1} - \frac{a_2}{b_2} \right) \sqrt{\left( 1 - \frac{a_1}{b_1} \right) \left( 1 - \frac{a_2}{b_2} \right)}$$

$a_1$  et  $a_2$  : dimensions de la plaque d'ancrage.

$b_1$  et  $b_2$  : dimensions de la section du prisme ayant même centre de gravité que la plaque.

Vérification des contraintes:

Dans notre cas les plaques d'ancrage sont circulaires de diamètre  $\phi = 24 \text{ cm}$ ; le diamètre de la gaine des armatures est  $\phi = 5,05 \text{ cm}$ . La section nette de la plaque est :  $\Delta$ :

$$\Delta = \frac{\pi}{4} \left[ (24)^2 - (5,05)^2 \right] = 432,35 \text{ cm}^2$$

Contrainte admissible de compression:

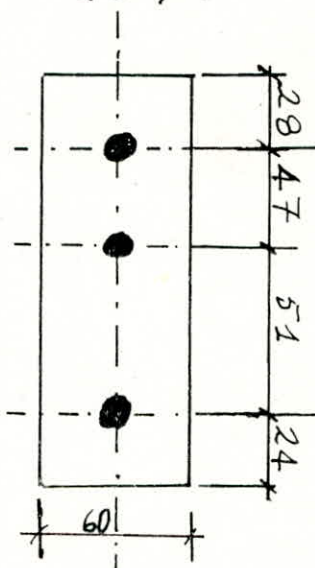
$$\bar{\sigma}' = \frac{1}{1,6} \times 400K = 250K [\text{kg/cm}^2]$$

prisme, (4) : on prend  $a_1 = a_2 = 24 \text{ cm}$ ;  $b_1 = 60 \text{ cm}$ ;  $b_2 = 50 \text{ cm}$

$$\Rightarrow K_4 = 1 + \left( 3 - \frac{24}{60} - \frac{24}{50} \right) \sqrt{\left( 1 - \frac{24}{60} \right) \left( 1 - \frac{24}{50} \right)} = 1,74 \Rightarrow$$

$$\bar{\sigma}'_4 = 435 \text{ kg/cm}^2$$

$$\bar{\sigma}'_4 = \bar{\sigma}'_5 = \bar{\sigma}'_6 = \bar{\sigma}'_7 = \frac{65,42 \times 10^3}{432,35} = 151,31 \text{ kg/cm}^2 < \bar{\sigma}'_4$$



# CALCUL DES DEFORMATIONS

## 1°/ FLECHES ET CONTRE-FLECHES

Les flèches sont comptées positivement vers le bas et négativement vers le haut (contre-fleches).

### (A) FLECHE DU POIDS PROPRE

$$f_g = \frac{5 q_g L^4}{384 EI}$$

$$q_g = 3,725 t/m^l$$

$$L = 25,5 m$$

$$E = E_r = \frac{1}{3} E_i = 1,4 \times 10^6 t/m^2$$

$$I = 312\ 179\ 56,24 \times 10^{-8} m^4$$

$$\left. \begin{array}{l} \\ \end{array} \right\} \Rightarrow f_g = 4,69 \text{ cm.}$$

### (B) FLECHE DE PRECONTRAINTE

$$f_p = \frac{1}{2} \int_0^{L/2} \frac{M \cdot x}{EI} dx + \frac{1}{2} \int_{L/2}^L \frac{M}{EI} (L-x) dx$$

Pour un diagramme des moments symétriques par rapport à l'axe de la poutre, l'expression de la flèche à mi-travée s'écrit

$$f_p = \int_0^{L/2} \frac{M}{EI} x dx$$

Cette valeur représente le moment statique à  $EI$  près, de l'aire limitée par le diagramme des moments de précontrainte dans chaque section et l'axe horizontal de référence sur la demi-longueur par rapport à l'appui de gauche.

Nous traçons le diagramme des moments de précontrainte à partir des trois valeurs des moments ( $x=0, x=\frac{L}{4}, x=\frac{L}{2}$ )

- La contrainte initiale à la mise en tension:  $11635 \text{ kg/cm}^2$
- La contrainte en service:  $10176 \text{ kg/cm}^2$

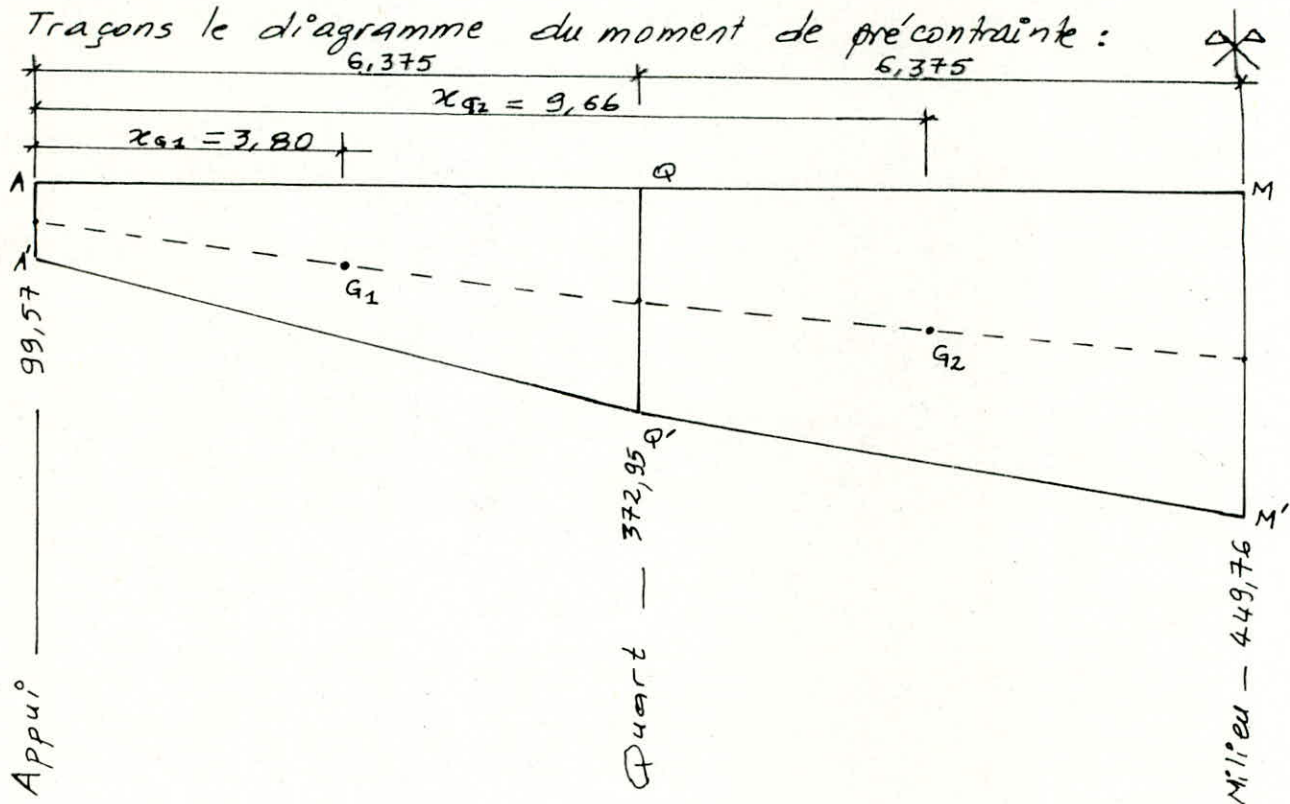
Nous prendrons comme valeur de précontrainte:

$$M_m' = \frac{11635 + 10176}{2} = 10905,5 \text{ kg/cm}^2$$

La précontrainte par câble est  $P = 60852,69 \text{ kg}$   
 $P = 60,85 t$

Section	$\sum \cos \alpha$	$N [t]$	$e [10^{-2} m]$	$M_p [t.m]$
Médiane	7	425,95	- 105,59	449,76
Quart	6,91	420,47	- 88,70	372,95
About	3,949	240,29	- 41,44	99,57

Tracons le diagramme du moment de précontrainte :



Aire	Aire du trapèze [m²]	Distance de G: $G = \frac{\sum B_i x_i}{\sum B_i}$ [m]	Moment statique
AQQ'A'	-1506,15	3,80	-5723,37
QMM'Q'	-2622,38	9,66	-25332,19
$\int_0^{l/2} M \cdot x \cdot dx = - - - - - 31055,56$			

Nous avons donc comme contre-fleche de précontrainte :

$$M \cdot x = -31055,56$$

$$E = 1,4 \times 10^6 \text{ t/m}^2$$

$$I = 312\ 179\ 56,24 \times 10^{-8} \text{ m}^4$$

$$\} \Rightarrow f_p = -7,10 \text{ cm}$$

(c'est une fléche vers le haut)

### C) FLECHE DE CONSTRUCTION:

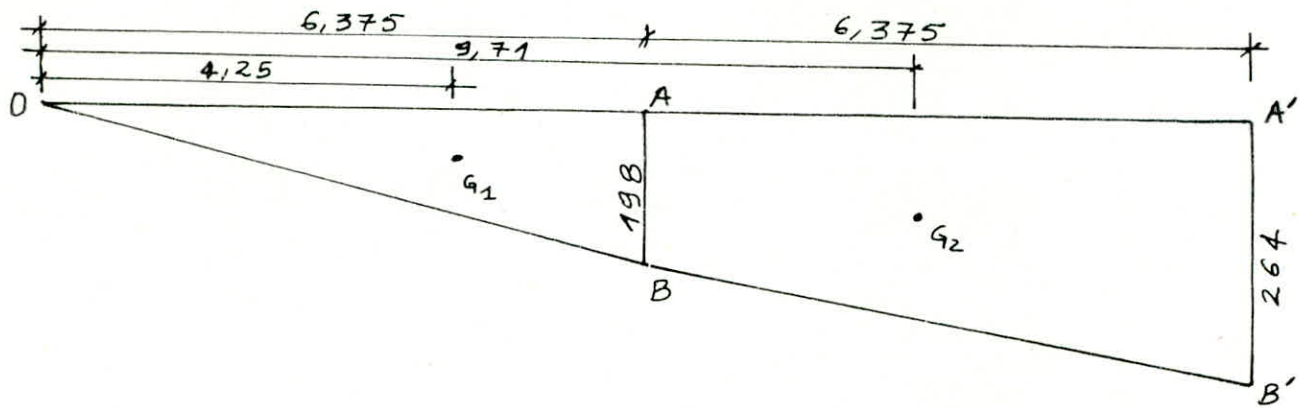
Nous adopterons pour le fond de coffrage une fléche de construction  $f_c$  vers le bas:

$$f_c = \frac{3}{4} (f_p - f_g) = \frac{3}{4} (7,10 - 4,69) = -1,81 \text{ cm}$$

### D) FLECHE DE SURCHARGE:

La surcharge D qui est la plus défavorable, n'est pas uniforme. Pour cela nous allons utiliser la même méthode que celle utilisée pour le calcul de la fléche de précontrainte.

$$E = E_i = 420\ 000 \text{ kg/cm}^2 = 4,2 \times 10^6 \text{ t/m}^2$$



Aire	Distance de G	Moment statique
OAB	631,125	4,25
AA'B'B	1472,625	9,71
$\int_0^{l/2} M \cdot x \cdot dx = - - - - -$		16981,47

Nous avons donc comme flèche de surcharge.

$$M \cdot x = 16981,47 \text{ t.m}^3$$

$$E = 4,8 \times 10^6 \text{ t/m}^2$$

$$I = 31217956,24 \times 10^{-8} \text{ m}^4$$

$$\} \Rightarrow \ell_{\varphi} = 1,30 \text{ cm}$$

Nous aurons finalement :

- En service à vide :

$$f = \ell_p + \ell_q + \ell_c = -7,10 + 4,69 + 1,81 = -0,6 \text{ cm}$$

- En service en charge :

$$f = \ell_p + \ell_q + \ell_c + \ell_{\varphi} = 0,7 \text{ cm}$$

## 2<sup>e</sup>/ ROTATION D'APPUI :

### (A) ROTATION D'APPUI SANS POIDS PROPRE

Il est parfois utile de calculer les rotations  $\beta$  aux appuis. Nous avons :

$$\beta = \int_0^{\ell} \frac{M \cdot x}{EI \cdot l} dx.$$

Nous pouvons donc dire que  $\beta$  est à  $EI$  près, égal au moment statique par rapport à l'appui de gauche de l'ensemble de l'aire limitée par le diagramme des moments et l'axe horizontal de référence pour le calcul d'une valeur suffisamment approchée de  $\int M \cdot x \cdot dx$ .

Nous vérifierons toutefois que si le diagramme de  $M$  est symétrique nous pourrons écrire :

$$\beta = \frac{1}{EI \cdot l} \int_0^{\ell} M \cdot \frac{l}{2} \cdot dx = \frac{1}{2EI} \int_0^{\ell} M \cdot dx.$$

Sous charge uniformément répartie  $q_a$ , le diagramme des moments est une parabole (valeur maximale au milieu :  $q_a \cdot \frac{l^2}{8}$ ) et nous avons alors :

$$\beta = \frac{q_g \cdot L^3}{24EI}$$

$q_g = 3,725 \text{ t/m}^2$   
 $L = 25,5 \text{ m}$   
 $E = 1,4 \times 10^6 \text{ t/m}^2$   
 $I = 312\,179\,56,24 \times 10^{-8} \text{ m}^4$

$$\left. \begin{array}{l} \\ \\ \end{array} \right\} \Rightarrow \beta_g = 0,0059$$

### (B) ROTATION D'APPUI SOUS PRECONTRAINTE:

Surface AMM'A' (Cf diagramme de la flèche due à la précontrainte)

$$\int_0^L M dx = 2(-1506,15 - 2622,38) = -8257,06 \text{ t.m}^2$$

$$\int_0^L M du = -8257,06 \text{ t.m}^2$$

$E = 1,4 \times 10^6 \text{ t/m}^2$   
 $I = 312\,179\,56,24 \times 10^{-8} \text{ m}^4$

$$\left. \begin{array}{l} \\ \\ \end{array} \right\} \Rightarrow \beta_p = \frac{1}{2EI} \int_0^L M du = -0,0094$$

### (C) ROTATION D'APPUI SOUS SURCHARGES:

$$\beta_\phi = \frac{1}{2EI} \int_0^L M dx \quad (\text{avec } E = 4,2 \times 10^6 \text{ t/m}^2)$$

$$\int_0^L M dx = 2(631,125 + 1472,625) = 4207,5 \text{ t.m}^2$$

(Cf. diagramme de la flèche due aux surcharges)

d'où  $\beta_\phi = 0,0016$

Nous aurons en définitive :

- En service à vide :

$$\beta = \beta_g + \beta_p = 0,0059 + (-0,0094) = -0,0035$$

- En service en charge :

$$\beta = \beta_g + \beta_p + \beta_\phi = -0,0019$$

## 3/ DEPLACEMENT D'APPUI

### (A) DEPLACEMENT Dû A LA ROTATION:

$$\Delta_\beta = \beta \cdot \frac{ht}{2} \quad \text{avec } \beta = 0,0035 \text{ et } ht = 1,70 \text{ m}$$

$$\Delta_\beta = 0,0029 \text{ m}$$

### (B) DEPLACEMENT Dû AU RETRAIT:

$$\Delta_x = 3 \times 10^{-4} \times \frac{L}{2} \quad (\text{avec } L = 25,5 \text{ m})$$

d'où  $\Delta_x = 0,0038 \text{ m}$

### (C) DEPLACEMENT Dû AU FLUAGE:

Récapitulation des contraintes de compression sur la fibre inférieure :

En service	$\sigma_A$ à l'appui 36,34	$\sigma_M'$ au milieu 135,34
A la mise en tension	38,26	142,32
Valeur moyenne	37,3	138,84

La valeur moyenne de la contrainte sur la fibre inférieure serait évaluée à :

$$\sigma_m' = \frac{\sigma_A + \sigma_M'}{2} = \frac{37,3 + 138,84}{2} = 88,07 \text{ kg/cm}^2$$

Le déplacement dû au flUAGE sur un appui est donc :

$$\Delta f = \frac{L}{2} \cdot \frac{\sigma_m'}{E}$$

$$\left. \begin{array}{l} L = 25,5 \text{ m} \\ E = 1,4 \times 10^6 \text{ t/m}^2 \\ \sigma_m' = 88,07 \text{ kg/cm}^2 = 880,7 \text{ t/m}^2 \end{array} \right\} \Rightarrow \Delta f = 0,0080$$

#### D) DEPLACEMENT DÜ A LA VARIATION DE TEMPERATURE:

$$\Delta t = \pm \frac{L}{10000} \quad \text{avec } L = 25,5 \text{ m.}$$

d'où  $\Delta t = \pm 0,0025 \text{ m.}$   
Nous aurons en définitive

$$\begin{aligned} \Delta_{\max} &= \Delta_\beta + \Delta_2 + \Delta f + \Delta t \\ &= 0,029 + 0,0038 + 0,0080 + 0,0025 = 0,0172 \end{aligned}$$

soit  $\Delta_{\max} = 1,72 \text{ cm}$  (surcharge appui).

# JOINTS DE CHAUSSEE

## 1/ ROLE DES JOINTS :

Ils assurent la continuité de surface de circulation entre deux éléments d'un ouvrage malgré leur déplacement relatif dû à l'effort des écarts de température, au retrait et à la rotation.

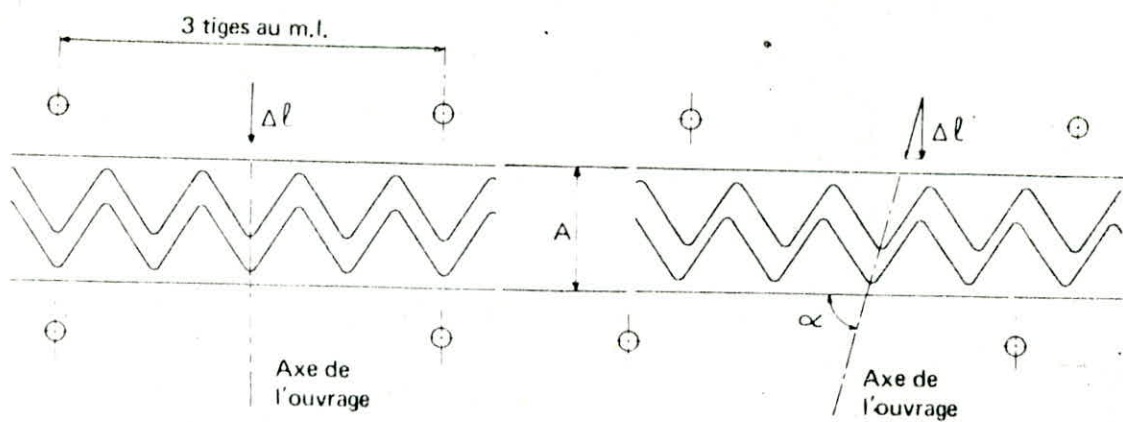
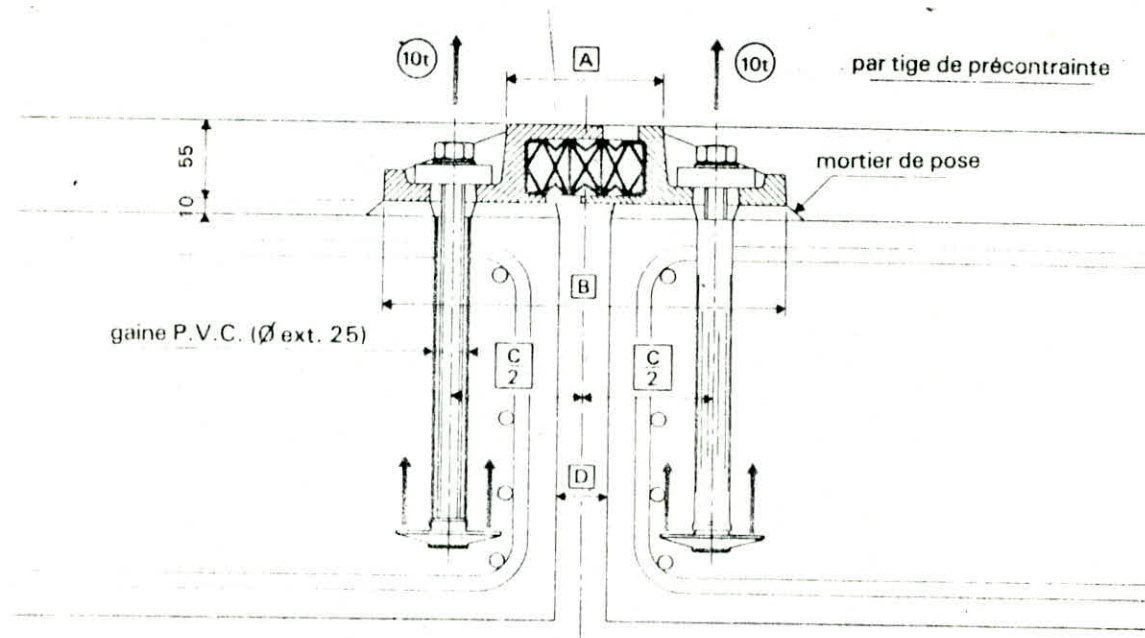
## 2/ CHOIX DU TYPE DE JOINT :

Le déplacement à prendre en compte est approximativement :

$$\Delta = \frac{2}{3} (\Delta\theta + \Delta_r + \Delta_f) + \Delta_t \\ = \frac{2}{3} (0,029 + 0,0038 + 0,0080) + 0,0025$$

$$\Delta = 0,0297 \text{ m soit } 29,7 \text{ mm.}$$

Nous choisissons les joints type CIPÉC W.50



Les cotés ABCD varient en fonction de l'ouverture du joint tant à la pose qu'au fonctionnement. L'écartement des deux lignes de tiges précontraintes (cote C) et le réglage définitif du joint (cote A) seront déterminés à partir des indications fournies par le Bureau d'Etudes de l'entreprise.

$$0 \leq \Delta \ell < 50 \text{ mm}$$

A	B	C	D
$111 \pm \frac{\Delta \ell}{2}$	$285 \pm \Delta \ell / 2$	$185 \pm \Delta \ell / 2$	$35 \pm \Delta \ell / 2$

La capacité  $\Delta \ell$  peut être légèrement augmentée si l'on admet, qu'en position ouverte, les pointes des dents ne sont plus en alignement.

# DIMENSIONNEMENT DES APPAREILS D'APPUIS :

Introduction: Les appareils d'appuis utilisés sont des appuis enrobés d'élastomère, l'aspect extérieur de l'appui est celui d'un bloc de caoutchouc ou de néoprène.

Le néoprène constituant les appareils d'appuis est peu compressible mais d'autre part très déformable par cisaillement (distorsion). Ils permettent la dilatation ainsi que la torsion de la section d'appui dans toutes les directions.

- CHARGES. SOLICITANT L'ENSEMBLE DE L'OUVRAGE

## A/ \*- Charges Verticales : I/ Charges Permanentes :

- Poids propre de la Poutre :  $P_p = 42,68 \text{ t}$
- Poids propre de l'étanchéité + revêtement routier (renviant à une Poutre intermédiaire) :  $G_{e,i} = 2,26 \cdot 0,08 \cdot 26,475 \cdot 23 = 11 \text{ t}$
- Poids propre de la dalle :  $G_d = 2,26 \cdot 0,2 \cdot 26,475 \cdot 25 = 29,92 \text{ t}$
- Poids propre d'un trottoir (renviant à une Poutre de Rive)  $G_{t,i} = (0,06 \cdot 0,6 + 2,42(0,28 + 0,22)) \cdot 26,475 \times 25 + 0,5 \cdot 26,475 = 43,75 \text{ t}$
- Poids renviant à une Poutre de Rive :  $G_{r,i} = 42,68 + 29,92 + 43,75 = 116,35 \text{ t}$
- Poids renviant à une poutre intermédiaire :  $G_{i,i} = 42,68 + 29,92 + 11 = 83,6 \text{ t}$
- Poids propre renviant à une culée :  $G_c = 0,5(2 \times 116,35 + 4 \times 83,6) = 283,55 \text{ t}$
- Poids renviant à une Pile :  $G_p = G_c \times 2 = 567,10 \text{ t}$
- \*- Poids renviant à 1m de la poutre
  - Poutre de Rive :  $g_{r,i} = \frac{116,35}{26,45} = 4,4 \text{ t/ml}$ .
  - Poutre intermédiaire :  $g_{i,i} = \frac{83,6}{26,45} = 3,16 \text{ t/ml}$ .

## II/ SURCHARGES D'EXPLOITATIONS:

Caractéristique de l'ouvrage:  $l_r = l_s = 8,00 \text{ m}$ ,  $N = 2$  voies port de 1<sup>re</sup> classe.

Système de charges A:

$$A(l) = 2,3 + \frac{360}{l+12} = 1190 \text{ kg/m}^2 \Rightarrow A(l)_1 = 11,9 \text{ kN/m}^2$$

$$l = 25,5 \text{ m}$$

- Valeur des coefficients  $a_1, a_2$ :  $a_1 = 1$  (2 voies chargées, 1<sup>re</sup> classe,

$$V = \frac{8}{2} = 4 \text{ m}; \Rightarrow a_2 = 0,875 \Rightarrow a_1 \cdot a_2 = 0,875$$

$$A(l)_1 = 1190 \times 0,875 = 1040 \text{ kg/m}^2$$

Surcharges linéaire:

$$A(l_1) = 2,26 \times 1040 = 2350 \text{ kg/m}.$$

- Surcharges revenant à une Culée :  $Ac = 1040 \times 8 \times 26,475 \times 0,5 = 110,14 t$
- Surcharges revenant à une Pile :  $Ap = 7,01 \times 8 \times 0,5 \left( 2. \frac{26,475}{2} + 0,05 \right)$

SYSTÈME : B :

coefficient de Majoration dynamique  $S$ :

$$S = 1 + \frac{0,4}{1+0,2\ell} + \frac{0,6}{1+4G/S}$$

$$S_1 = 1 + \frac{0,4}{1+0,2 \cdot 25,5} + \frac{0,6}{1+4 \cdot 2.283,55} = 1,09$$

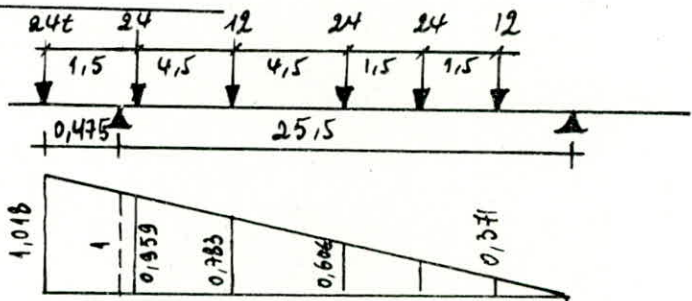
$$S_2 = 1 + \frac{0,4}{1+0,2 \cdot 25,5} + \frac{0,6}{1+4 \cdot \frac{567,1}{1200}} = 1,09 ; \text{ Valeur de } b_c = 1,10 \text{ 2 files}$$

Réaction maximale revenant à une culée

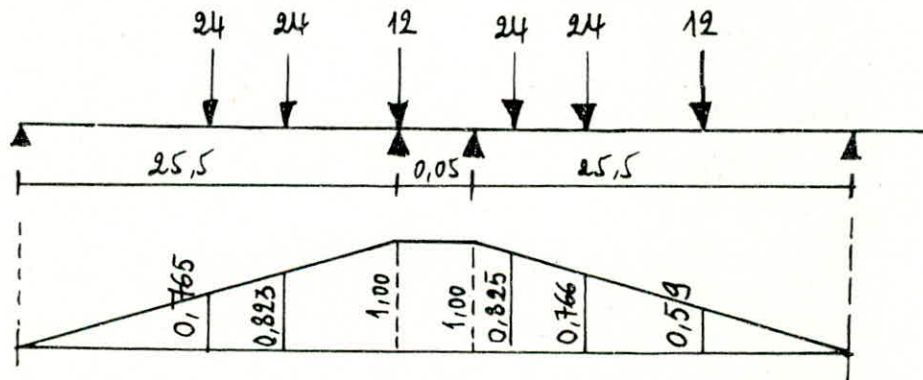
$$R_c^o = 24(1,018 + 0,959 + 0,606 + 0,548) + 12(0,783 + 0,371) = 88,99 t$$

$$R_c = S b_c R_c^o = 1,09 \cdot 1,1 \cdot 88,99$$

$$R_c = 106,7 t$$



Réaction maximale revenant à la Pile:



$$R_p = 24(0,765 + 0,823 + 0,825 + 0,766) + 12(1 + 0,59) = 95,33 t$$

Système MC 120 : Il est évident que ce cas de charges n'est pas plus défavorable que les antérieures.

Surcharges de trottoirs :  $q_t = 0,15 t/m^2$  ; largeur chargée d'un trottoir est 1,5 m.

$$\bar{q}_t = 1,5 \times 1,5 = 2,25 \text{ KN/m} = 0,225 \text{ t/m}.$$

- Réaction d'une culée :  $R_c = 0,5 \times 0,225 \times 26,475 = 3 t$

- Réaction de la pile :  $R_p = R_c \times 2 = 6 t$

## Réaction min et max sur culée et pile (y compris la ponderation)

$$R_{\min} = R(\text{charge Permanente}) ; \quad R_{\max} = R(\text{ch.p}) + R(A(l)) + R(\text{trottoir})$$

### - Réact de la Pile :

$$RP^{\min} = 567,1 t$$

$$RP^{\max} = 567,1 + 148,5 + 2 \cdot 6 = 727,6 t$$

### Réaction de la Culée

$$RC^{\min} = 283,55 t ; \quad RC^{\max} = 283,55 + 110,14 + 2 \times 3 = 399,7 t$$

### Tableau recapitulatif:

	t	t	t	t	t
<u>APPUIS</u> <u>charges - surch</u>	G(t)	A(l)	trottoir(t)	Bc(t)	seisme 0,07 G(t)
Culée :	283,55	110,14	3	106,7	19,84
Pile :	567,1	148,5	6	113,25	39,69

Les Accélérations sismiques verticales et horizontales sont prise égales respectivement à :  $E_V = 0,07$  ;  $E_H = 0,10$  conformément au recommandations du C.P.S.

### B/ \*\*. CHARGES - HORIZONTALES :

- VENT: Le vent souffle horizontalement dans une direction normale à l'axe longitudinal de la chaussée. Il développe sur toute surface frappée normalement une pression  $P$ . La valeur  $P$  est prise égale à  $0,25 \text{ t/m}^2$  (CPC article 14). L'effort horizontal du vent est  $H_V = P L_p h$   
 $P = 0,25 \text{ t/m}^2$  ;  $L_p = 52 \text{ m}$ . portée du pont ;  $h =$  hauteur du tablier  $h = 1,78 \text{ m}$   
d'où  $H_V = 23,14 \text{ t}$

### Freinage

des surcharges de chaussées  $A(l)$ ;  $B_c$  sont susceptibles de développer des Réactions de freinage. La résultante de ces efforts peut-être supposé centrée sur l'axe longitudinal de la chaussée.

- L'effort de freinage développé par  $A(l)$  est :

$$F_A = \frac{A}{20 + 0,0035 \Omega} \cdot \Omega$$

Calcul de la Surface  $\Omega$ :

$$\Omega = L_p \cdot L_s \quad \text{avec } L_p = 52 \text{ m}, \quad L_s = 8 \text{ m} \Rightarrow \Omega = 416 \text{ m}^2$$

avec  $A = 1190 \text{ kg/m}^2 \Rightarrow F_A = 23 \text{ t}$

- L'effort de freinage développé par  $B_c$  obt  $F_{B_c} = 30 \text{ t}$   
Un seul Camion est supposé freiné et développe une force de freinage égale à son poids.

SEISME:  $H_s = E_H G = 0,10 (22,35 \times 52) = 116,22 \text{ tonnes}$

VARIATIONS LINEAIRES DU TABLIER: ce sont des déformations dues au fluage, au retrait et aux variations de températures. Ces déformations affectent les appuis de l'ouvrage et provoquent sur ces appuis des efforts très considérables.

\* FLUAGE:  $\frac{\Delta l_f}{L_p} = E_{\infty}$  avec  $E_{\infty}$  = Déformation relative du au fluage  

$$\frac{\Delta l_f}{L_p} = E_{C\infty} = \frac{E_c}{E_{C28}} \varphi_{\infty} \quad \text{avec } E_c = 85 \text{ kg/cm}^2; E_{C28} = 40 \cdot 10^4 \text{ kg/cm}^2; \varphi_{\infty} = 2, \Rightarrow \Delta l_f = 24,3 \text{ mm.}$$

RETRAIT:

On admet que 60% du retrait se sont produits avant la mise en place des poutres préfabriquées

$$\frac{\Delta l_r}{L_p} = - \left[ \frac{100-60}{100} \varphi_r \right] \rightarrow \Delta l_r = -0,40 \varphi_r L_p$$

$$\varphi_r : \text{ estimé à } 3 \cdot 10^{-4} \Rightarrow \Delta l_r = -6,24 \text{ mm.}$$

TEMPERATURE

$$\Delta l_t = \pm E \Delta t L_p \quad \text{avec } E \Delta t \text{ estimé à } 0,3\%$$

$$\Delta l_t = \pm 0,0003 \cdot 52 \cdot 10^3 = \pm 15,6 \text{ mm.}$$

BILAN DES VARIATIONS LINEAIRES DUES AU FLUAGE, AUX RETRAIT, ET AUX VARIATIONS DE TEMPERATURES.

\* Allongement:  $\Delta l_{max}^+ = +15,6 \text{ mm}$

\* Retrécissement:  $\Delta l_{min}^- = -(15,6 + 6,24 + 24,3) = -46,14 \text{ mm.}$

DETERMINATIONS DES APPAREILS D'APPUIS

\* Reactions dans les axes d'appuis

Culée: - sous la charge permanente:  $\frac{283,55}{6} = 47,25 \text{ t}$

- sous charge défavorable A(l):

Sur la culée seront disposés 6 appareils d'appuis sous les poutres y aboutissant qui devront supporter chacun:

sous ch. perm:  $47,25 \text{ t}$

sous A(l):  $18,35 \text{ t}$

$$\frac{110,14}{6} = 18,35 \text{ t}$$

- La réaction maximale sur chaque appui est  $R_{max} = 47,25 + 18,35 = 65,6 \text{ t}$

- La réaction minimale est  $R_{min} = 47,25 \text{ t}$

Pile:  $\frac{567,1}{12} = 47,25 \text{ t}$

$\frac{148,5}{12} = 12,37 \text{ t}$

Conclusion: La réaction maximale sur chaque appui est:

$$R_{max} = 65,6 \text{ t}$$

$$R_{min} = 47,25 \text{ t.}$$

## CHOIX DES APPAREILS D'APPUIS

Nous choisissons (sous réserve de vérification ultérieures) un appareil d'appui 200/400/83/43 type 5 donné par le Catalogue CUMBA de Capacité 100t en élastomère fretté.

### - VÉRIFICATIONS DES CONTRAINTES NORMALES :

L'appareil d'appui choisi admet une contrainte de :

$$\sigma_m = \frac{100 \cdot 10^3}{a \cdot b} = \frac{100 \cdot 10^3}{20 \times 40} = 125 \text{ kg/cm}^2$$

$$\sigma_{\max} = \frac{R_{\max}}{ab} = \frac{65,6 \cdot 10^3}{20 \times 40} = 82 \text{ kg/cm}^2$$

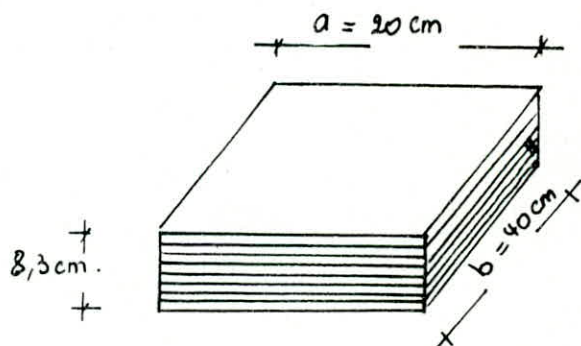
$$\sigma_{\min} = \frac{R_{\min}}{ab} = \frac{47,25 \cdot 10^3}{20 \times 40} = 59 \text{ kg/cm}^2$$

Vérifications :

$$\sigma_{\max} < \sigma_m \Leftrightarrow 82 \frac{\text{kg}}{\text{cm}^2} < 125 \text{ kg/cm}^2$$

$$\sigma_{\min} < \sigma_m \Leftrightarrow 59 \text{ kg/cm}^2 < 125 \text{ kg/cm}^2$$

finalement On pourra dire que les contraintes normales peuvent être reprise par les appuis choisis.



### \* Calcul des Rigidités :

Pour la Répartition des efforts Horaux sur l'infrastructure nous assimilons notre structure à Portique. Le tablier est supposé infiniment rigide. L'effort horizontale sera donc repartis entre les appuis piles et culée en fonction de leur rigidité.

La Rigidité de ces appuis sont calculées à partir des Constantes de Ressort ou (Amortissement) des éléments constitutifs ces appuis (appareils d'appuis, fûts, fondations)

- Nous appelons par  $S$  la déformation d'un élément d'appui sous l'action d'un effort Horaux unitaire ( $H = 1$ ). C'est cette valeur  $S$  qu'on désigne sous le nom de Constante de Ressort.
- La déformation d'une pile ou d'une culée sous l'effet d'un effort Horaux unitaire est :  $\sum S_i = S_1 + S_2 + S_3$

$S_1$  = déformation de l'élastomère

$S_2$  = ——— des fûts de la pile ou voiles de la culée.

$S_3$  = ——— des fondations.

Désignons par  $K$  la rigidité d'un appui (pile ou culée) donnée par :

$$K = \frac{1}{\sum S_i}$$

### Application au Projet :

#### \* Déformation de L'élastomère ( $S_1$ )

$$S_1 = \frac{T_r}{n G A}$$

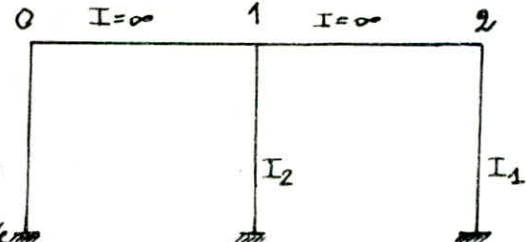
$T_r$  = hauteur de l'élastomère

$G$  = module de cisaillement de l'élastomère

$A$  =  $a \cdot b$  (aire de l'élastomère)

$n$  = nombre d'appareil d'appuis.

$$A = 20 \times 40 = 800 \text{ cm}^2 ; \quad G = 20 \text{ kg/cm}^2$$



#### appareils d'appuis au niveau de la culée

$$n = 6 ; \quad T_r = 8,3 \text{ cm} ; \quad \Rightarrow \quad S_{10} = S_{12} = 0,0864 \text{ cm.}$$

#### appareils d'appuis au niveau de la pile:

$$n = 12 ; \quad T_r = 8,3 \text{ cm} ; \quad \Rightarrow \quad S_{11} = 0,0432 \text{ cm. . .}$$

#### \*\* déformation de la Culée et de la pile:

- les Rigidités des Voiles de la Culée sont assez grande par conséquent nous pouvons admettre que la déformation de la culée est nulle (Rigidité infinie)

$$\text{d'où. } S_{20} = S_{22} = 0$$

## - deformation d'un fut de la pile:

$$\delta_{21} = \frac{h^3}{3EI_n}$$

$$E = 21 \cdot 10^3 \sqrt{6_{28}} = 21000 \sqrt{300} = 3,63731 \cdot 10^6 \text{ t/m}^2$$

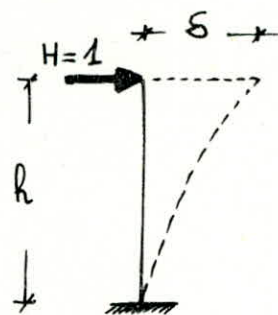
$I$  = Inertie d'un fut de la pile.

$E$  = module d'élasticité du béton.

$n$  = nombre de fut

$h$  = hauteur de la pile.

$$h = 6,32 \text{ m} ; n = 2 ; I = \frac{\alpha b^3}{12} = 1,20 \cdot (1,60)^3 / 12 = 0,409 \text{ m}^4$$



## \* deformation de la fondation

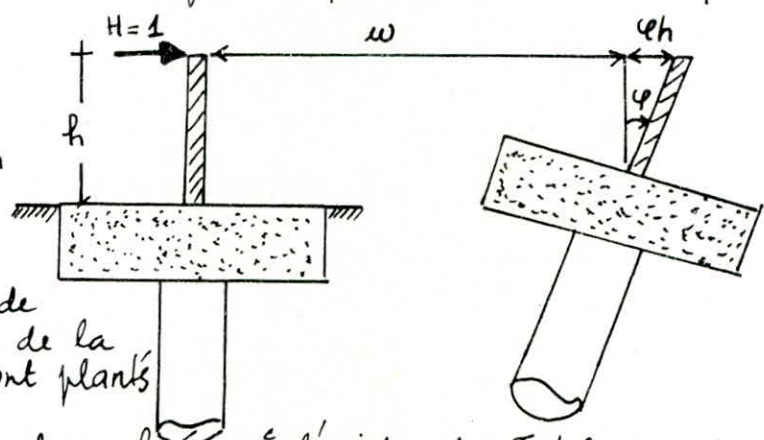
La deformation d'une fondation sur une file de pieux et comme indiqué dans la figure ci-contre:

La deformation se traduit par:

$w$  = déplacement en tête du pieu

$\varphi h$  = déplacement dû à la rotation de la fondation.

Ce déplacement et cette rotation dépendent des caractéristiques de la fondation sur pieu et aussi de la réaction du sol où les pieux sont plantés.



Ce déplacement et cette rotation sont évalués à l'aide des tableaux de HEINRICH - WERNER dans l'ouvrage "BETON UND STAHLBETONBAU" qui tiennent compte des caractéristiques du sol.

\* - Les déformations en tête des pieux sont données par les relations

$$EIw = \frac{\chi_{wM^*}}{\lambda^2} M^* + \chi_{wp^*} \frac{P^*}{\lambda^3} ; EI\varphi = \chi_{\varphi M^*} \frac{M^*}{\lambda} + \chi_{\varphi p^*} \frac{P^*}{\lambda^2}$$

$P^*$ : effort tranchant en tête de pieu engendré par la charge unitaire  
Pour une fondation de  $n$  pieux on a pour chaque pieu

$$P^* = \frac{1}{n} (\text{t})$$

$M^*$ : moment fléchissant en tête du pieu engendré par la charge unitaire  
Pour chaque pieu on aura:  $M^* = \frac{1 \cdot h}{n} (\text{t.m})$ .

$\lambda$  = paramètre dépendant du module de réaction du sol. Cu.  
et des caractéristiques de pieu

$$\lambda = \frac{1}{\alpha} = \sqrt{\frac{bCu}{4EI}}$$

$$\alpha = \left( \frac{4EI}{bCu} \right)^{1/4}$$

b = diamètre du pieu

Cu = module de réaction du sol de la fondation

I = inertie d'un pieu

E = module de déformation instantanée du béton.

Quand au coefficient  $\chi_{\varphi M^*}$ ;  $\chi_{\varphi p^*}$ ;  $\chi_{WNT}$ ;  $\chi_{WP^*}$   
 ils sont donnés par les tables de WERNER en fonction du  
 paramètre  $\lambda$ , de la longueur du pieu, du module  
 de réaction du sol. On voit aussi que de la forme de  
 variation de ce module le long du pieu et au fil du  
 mode d'appui du pied du pieu (libre ou simplement  
 articulé)

## APPLICATION AU PROJET:

### \* La déformation de la fondation de la pile :

La semelle de fondation s'appuie sur une file de 4 pieux "n=4"

#### - Calcul des efforts en tête du pieu :

$$P^* = \frac{H}{n} = \frac{1}{4} = 0,25 t \quad ; \quad M^* = \frac{1 \cdot h}{n} = \frac{6,32}{4} = 1,58 t \cdot m$$

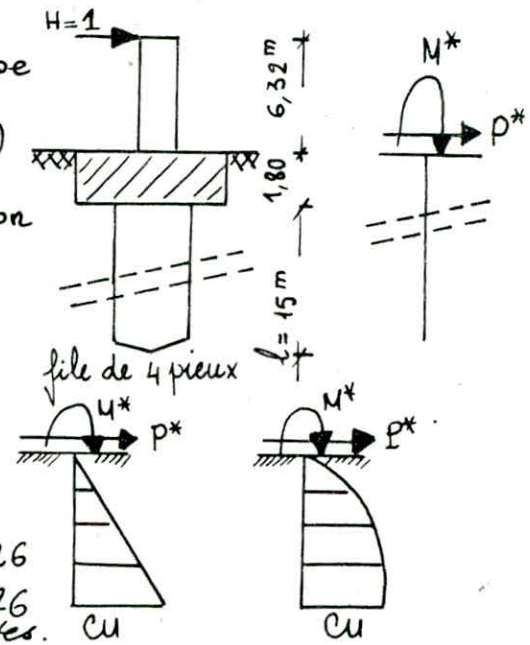
de Module de Réaction Cu est estimé à  
 $Cu = 6000 t/m^3$

Sa variation le long du pieu est prise contre celle d'un sol très acqueux (variation linéaire avec  $Cu(x) = Cu \frac{x}{l}$ ) à la profondeur x du sol et celle d'un sol présentant une réaction moyenne (variation parabolique de Cu le long du pieu)

• Le pied du pieu est supposé libre.

$$\lambda = \left( \frac{b \cdot Cu}{4EI} \right)^{1/4} \Rightarrow \lambda = 0,267 ; \lambda b = 4$$

$$b = 1,20 m ; I = 0,10178 m^4 ; E = 3,45 \cdot 10^6 t/m^2$$



Les tables de Mr Werner donnent :  $\chi_{WNT} = -1,26$

$$\chi_{WP^*} = -1,68 ; \chi_{\varphi M^*} = 1,54 ; \chi_{\varphi p^*} = 1,26$$

En calculant avec les formules précédentes.

$$\text{On obtient : } \begin{cases} w = 14,23 \cdot 10^{-5} m \\ \varphi = 3,853 \cdot 10^{-5} \end{cases}$$

D'où le déplacement de la fondation de la pile

$$\delta_{31} = w + \varphi h = 38,58 \cdot 10^{-5} m = 0,38 mm = 0,038 cm$$

### \*\* Déformation de la fondation de la culée

La semelle de liaison est appuyé sur 2 files de 3 pieux chacune (n=6)

On peut considérer que la rotation en tête du pieu est nulle ( $\varphi = 0$ ) d'où  $P^* = \frac{1}{6} = 0,166 t$  pour une longueur de pieu  $l = 17 m$  et en considérant le même cas de réaction de sol et mode d'appui en pied du pieu que pour la pile les tables de Mr. WERNER donnent :

$$\chi_{WNT} = -1,79 ; \chi_{WP^*} = -1,311 ; \chi_{\varphi M^*} = 1,311 ; \chi_{\varphi p^*} = 1,595$$

La rotation en tête de pieu étant empêchée  
 On pose  $\varphi = 0$  d'où le moment fléchissant développé par la réaction du sol :  $M^* = -\frac{\chi_{\varphi p^*}}{\lambda} \cdot P^* = -0,756 t \cdot m$

D'où le déplacement en tête de pieu :  $w = \delta_{30} = \delta_{32} = 0,0214 cm$ .

$$w = \delta_{30} = \delta_{32} = \frac{1}{EI\lambda^2} \left[ \chi_{WNT} \cdot M^* + \chi_{WP^*} \cdot \frac{P^*}{\lambda} \right]$$

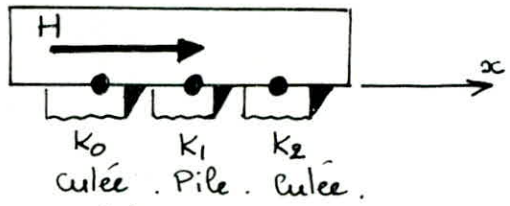
## Repartition - des Efforts - Horizontaux :

des Efforts Horaux agissant sur la superstructure seront repartis sur les différentes Appuis en fonction de leur rigidité ainsi pour chaque Appui reçoit un Pourcentage:

$$H_i \% = \frac{K_i}{\sum K_i}$$

des Rigidités pour les 3 appuis étant connus et les charges Horizontales Nous recapitulons tout les Resultats dans le tableau ci-dessous.

\* l'effort sur chaque Appui sera :  $H_i = H \cdot \frac{K_i}{\sum K_i}$



	abscisse $x_i$ (m)	elast $\delta_{1i}$ (cm)	ouC $\delta_{2i}$ (cm)	Fond $\delta_{3i}$ (cm)	$\delta_{ii}$ defor (cm)	rigid $K_i$	$k_i x_i$	$H_i \%$	$H_{Fr}$ (t)	$H_{Sais}$ (t)
Culée (0)	0	0,0864	0	0,0214	0,1078	9,276	0	30	9	34,86
Pile (1)	26	0,0432	0,0028	0,038	0,084	11,90	30940	40	12	46,48
Culée (2)	52	0,0864	0	0,0214	0,1078	9,276	48235	30	9	34,86
$\Sigma \rightarrow$								100%	30	116,22

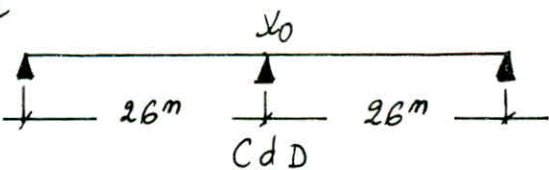
\* EFFORTS SUR LES APPUIS RESULTANT DES VARIATIONS LINÉAIRES DU TABLIER :

Les déplacements du Tablier seront comptés à partir du Centre de déplacement. Ce dernier est défini comme étant la Position de la section du tablier du Pont qui ne subit aucun déplacement

- la Position du Centre de déplacement est donnée par :

$$x_0 = \frac{\sum k_i x_i}{\sum k_i} = 26,00 \text{ m.}$$

La Pile n'est pas affecté par un déplacement linéaire La variation linéaire d'un point d'abscisse  $x_i$  s'écrit  $\Delta l_i = \Delta l_{max} \frac{x_i}{L}$



$\Delta l_{max}$ : déplacement maximal due au flUAGE, température et retrait

$$\Delta l_{max} = 46,14 \text{ mm.}$$

cette variation linéaire engendre un effort sur l'appui

$H_{VL} = \frac{n G \cdot u_e \cdot a \cdot b}{T}$  ; ( $a, b, T$ ) étant les caractéristiques des appareils d'appui  $T$  et  $n$  leur nombre

\* sur la Pile:  $x_i = 0$  ;  $u_{lp} = 0$  ;  $H_{vlp} = 0$

\* sur La Culée:  $x_i = 26,00 \text{ m}$ ;  $u_{lc} = \frac{\Delta l_{max}}{L} x_i = 23,07 \text{ mm.}$

$$\Delta l_{max} = 46,14 \text{ mm} ; L = 52 \text{ m} ; x_i = 26,00 \text{ m}$$

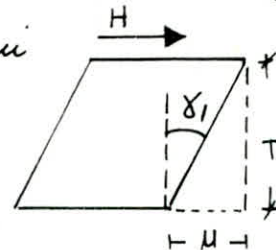
$$H_{vlc} = \frac{n G \cdot u_{lc} \cdot a \cdot b}{T} = 26,68 \text{ t} \quad \text{avec } T = 83 \text{ mm; } G = 20 \text{ kg/cm}^2$$

$$a \times b = 800 \text{ cm}^2 ; n = 6$$

I/ - Verification au cisaillement:

\* I<sub>1</sub>/ sous variation linéaire: condition à vérifier  $\gamma_H = G \tan \gamma_1 \leq 0,5 G$

$\rightarrow \tan \gamma_1 \leq 0,5$   
M: étant la déformation de l'appareil d'appui  
 sous variation linéaire. Ceci provient du constat expérimental que le module de cisaillement  $G$  de l'élastomère sous un effort dynamique est le double de celui du même élastomère sous un effort statique. Soit numériquement:



Pour la Pile :

Pour la Culée :  $\frac{U_{lp}}{T} = 0 \Rightarrow \tan \gamma_1 = 0 < 0,5$  vérifiée

$$\frac{U_{lc}}{T} = \frac{23,07}{83} = 0,27 < 0,5 \text{ vérifiée}$$

\* I<sub>2</sub>/ sous variation linéaire + freinage:

on vérifie que:  $G \tan \gamma_1 + \frac{H_{fr}}{n \cdot a \cdot b} \leq 0,7 G \rightarrow \tan \gamma_1 + \frac{H_{fr}}{n G a b} \leq 0,7$

Pile :  $\frac{U_{lp}}{T} + \frac{H_{fr}}{n G a b} = 0 + \frac{1,2 \cdot 10^4}{12 \cdot 20 \cdot 20 \cdot 40} = 0,062 < 0,7 \text{ vérifiée}$

Culée :  $n=6 ; H_{fr} = 9,00t \Rightarrow \frac{U_{lc}}{T} + \frac{H_{fr}}{n G a b} = 0,27 + \frac{9,00 \cdot 10^3}{6 \cdot 20^2 \cdot 40} = 0,36 < 0,7$

\* I<sub>3</sub>/ sous variation linéaire + séisme:

On doit vérifier:  $\gamma_H = \tan \gamma_1 + \frac{H_s}{n G \cdot ab} \leq 1,33$

Pile :  $\frac{U_{lp}}{T} + \frac{H_s}{n G \cdot ab} = 0 + \frac{4,64 \cdot 10^4}{12 \cdot 20^2 \cdot 40} = 0,24 < 1,33 \text{ vérifiée}$

Culée :  $n=6 \quad \frac{U_{lc}}{T} + \frac{H_s}{n G \cdot ab} = 0,27 + \frac{34,86 \cdot 10^3}{6 \cdot 20^2 \cdot 40} = 0,63 < 1,33 \text{ vérifiée}$

I<sub>4</sub>/ sous variation linéaire + freinage + Séisme:

Condition à vérifier:  $\tan \gamma_1 + \frac{H_{fr}}{2 n G a b} + \frac{H_s}{2 n G a b} \leq 1,3$

Pile :  $0 + \frac{1}{2 \cdot 12 \cdot 20^2 \cdot 40} (1,2 + 4,64) \cdot 10^4 = 0,15 < 1,3$

Culée :  $0,27 + \frac{1}{2 \cdot 6 \cdot 20^2 \cdot 40} (9,00 + 34,86) \cdot 10^3 = 0,49 < 1,3$

I<sub>5</sub>/ sous charge verticale + charge H<sup>le</sup> + Rotation d'appui:

Condition à vérifier:  $\gamma = \gamma_N + \gamma_H + \gamma_\alpha \leq 5G$

$\gamma_N = \frac{1,56 \max}{\beta} \quad (\text{contrainte de cisaillement due à la charge verticale. } \sigma_{\max} = 82 \text{ kg/cm}^2)$

$\beta = \frac{a \cdot b}{2t(a+b)}$  (coefficient de forme de l'appareil d'appui)

$t$  = épaisseur du feuillet élémentaire de l'élastomère ( $t=8\text{mm}$ ) .

$$\text{d'où } \gamma_N = \frac{1,56 \max}{a \cdot b} \cdot 2t(a+b) = 14,76 \text{ kg/cm}^2 = 147,6 \text{ t/m}^2$$

$$\sigma_{\max} = 82 \text{ kg/cm}^2; \quad t = 0,8 \text{ cm}; \quad a = 20 \text{ cm}; \quad b = 40 \text{ cm}$$

\*  $\gamma_N = 147,6 \text{ t/m}^2$

$$\times \gamma_H = G t g \gamma_1 + \frac{H_s}{n \cdot a \cdot b} = 20 \cdot 0,27 + \frac{55,78 \cdot 10^3}{6 \cdot 20 \cdot 40} = 17,02 \text{ kg/cm}^2$$

$\gamma_H = 170,2 \text{ t/m}^2$

$\gamma_H$ : Contrainte due à la charge  $H^{Le}$  sous Variation linéaire + Seism.

\*  $\gamma_d = \frac{1}{2} \frac{\alpha^2}{t^2} \left( \frac{\alpha_T + \alpha_0}{n} \right) G$  contrainte due à la Rotation d'appui

$\alpha_0$ : rotation due aux imperfections de l'appareil d'appuis et au défaut d'exécution  $\alpha_0 = \frac{1}{100} \text{ rad}$

$\alpha_T$ : rotation d'appui  $\alpha_T = 0,0025 \text{ rad}^{100}$  calculée (en charge, en seism)

n: nombre de feuillet d'élastomère par appareil d'appui = 10

$$\gamma_d = \frac{1}{2} \cdot \frac{40^2}{0,8^2} \cdot \left( \frac{0,01 + 0,0025}{10} \right) \cdot 20 = 31,25 \text{ kg/cm}^2$$

Finalement. On doit vérifier :

$$\gamma = \gamma_N + \gamma_H + \gamma_d \leq \bar{\gamma} = 5G = 100 \text{ kg/cm}^2$$

$$\gamma = 14,76 + 17,02 + 31,25 = 63,03 \text{ kg/cm}^2 < 100 \text{ kg/cm}^2 \text{ vérifié}$$

I6/ Condition de non soulevement de l'appui:

$$\text{On vérifie que : } \alpha_t = \frac{\alpha_T + \alpha_0}{n} \leq \frac{3}{\beta} \cdot \frac{t^2}{\alpha^2} \cdot \frac{\sigma_{\max}}{G}$$

↔ 1,25 < 5,9 Condition satisfaitte.

I7/ Condition de non cheminement et de non glissement:

1<sup>ere</sup> condition :  $\sigma_{\min} \geq 20 \text{ kg/cm}^2$

2<sup>eme</sup> condition : Condition satisfaitte puisque  $\sigma_{\min} = 59 \text{ kg/cm}^2$

$$N: \text{effort normal minimal provenant du tablier à vide}$$

$$R_{\min} = 47,25 \text{ t}$$

f: coefficient de frottement total :

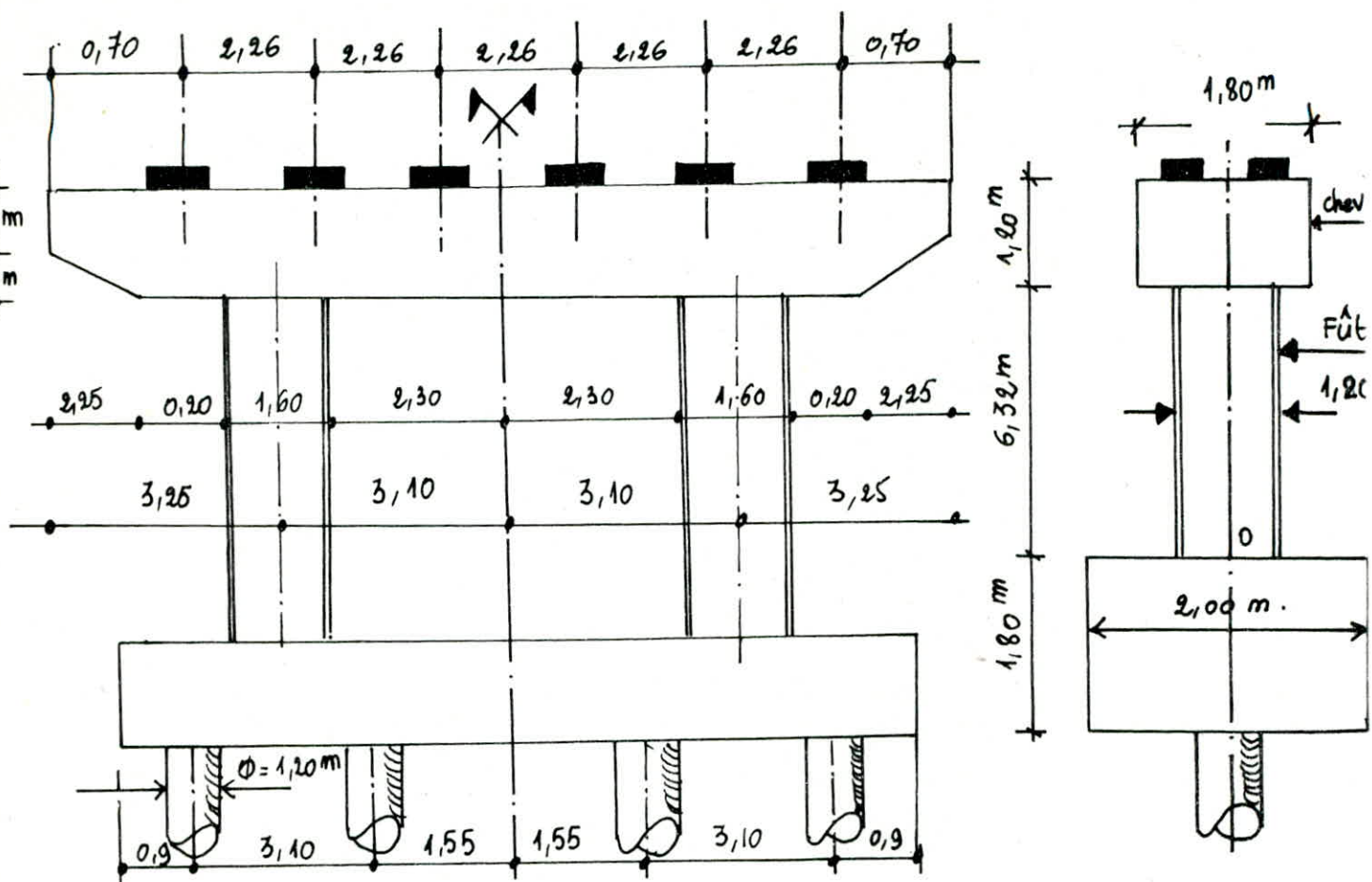
$$f = 0,1 + \frac{6}{\sigma_{\max}} + 0,15 = 0,323$$

\* Appareils d'appui de la culée :

$$H = \frac{1}{6} [9,0 + 34,86 + 26,68] = 11,75 \text{ t} \rightarrow f_N = \frac{H}{15,69 \text{ t}} \rightarrow H \neq f_N$$

$$\text{Pour La Pile: } H = \frac{10}{12} (1,2 + 4,64) = 4,86 \text{ t} < f_N = 15,69 \text{ t}$$

Conclusion: toutes les vérifications sont satisfaittes donc le choix de nos appareils d'appuis sont correct.

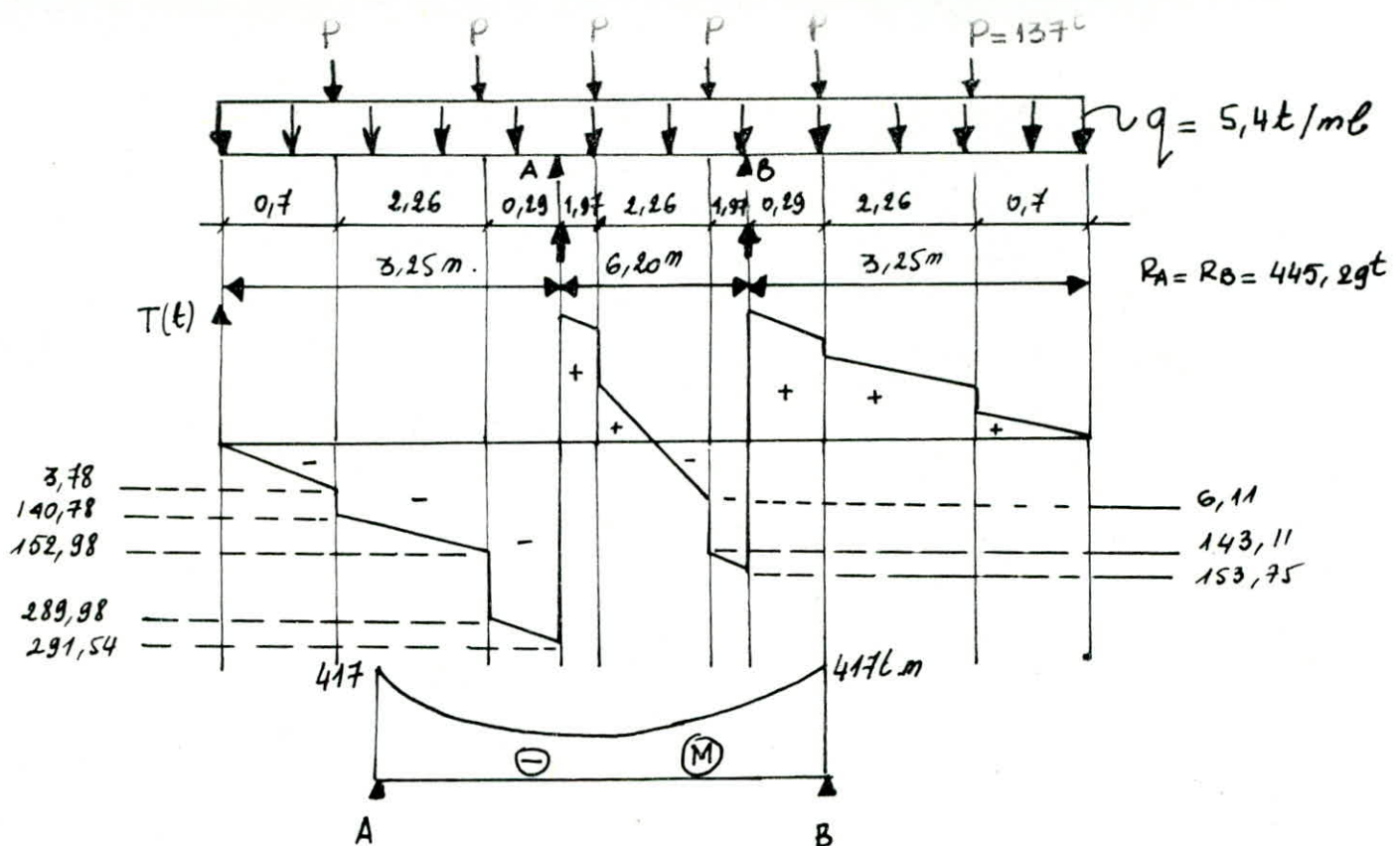


\* ETUDE DU CHEVETRE: Le rôle du chevêtre est de transmettre les efforts provenant du tablier aux autres éléments de la pile tels que les futs, la fondation. Le chevêtre doit être conçu pour pouvoir reprendre son propre poids et les efforts provenant du tablier. Il sera étudié comme une poutre dont les appuis sont les futs.

#### EVALUATION DES EFFORTS:

- Poids Propre du chevêtre:  $q_G = 2,5 \times 1,80 \times 1,20 = 5,4 \text{ t/m}^3$
- efforts provenant du tablier: Nous admettant que les efforts provenant du tablier sont également répartis aux poutres qui les transmettent à notre chevêtre en charge concentrée
  - Poids propre du tablier dans chaque poutre:  $P_G = \frac{570}{6} = 95 \text{ t}$
  - surcharge: Pour la pile: chaque poutre transmet  $P_s = \frac{2 \times 106,33}{6} = 35,44 \text{ t}$
  - Charge Concentrée:  $P = P_G + 1,2 P_s = 137,00 \text{ t}$

#### \* schéma statique du chevêtre:



Moment en Appui:  $M_{appA} = M_{appB} = 417 t \cdot m = M_{max}$ :

Effort tranchant maximum:  $T_{max} = 291,54 t$ .

### \* Ferrailage du chevêtre : (Méthode Pierre Charon.)

$$\text{Sur Appui: } h = \frac{M}{f_t} - d = \frac{417 t \cdot m}{120} - 6 = 114 \text{ cm}$$

$$M_b = \frac{15 M}{\bar{\sigma}_a b h^2} = \frac{15 \cdot 417 \cdot 10^5}{2670 \cdot 180 \cdot 114^2} = 0,1001 \Rightarrow \begin{cases} \epsilon = 0,8741 \\ K = 24,7 \end{cases}$$

$$\bar{\sigma}_b' = \frac{\bar{\sigma}_a}{K} = \frac{2670}{24,7} = 108 \text{ kg/cm}^2 < \bar{\sigma}_b' = 180 \text{ kg/cm}^2 \quad (1 \text{ bar} \approx 1 \text{ kg/cm}^2)$$

$$A = \frac{M}{\bar{\sigma}_a E h} = \frac{417 \cdot 10^5}{2670 \cdot 0,8741 \cdot 114} = 156,73 \text{ cm}^2$$

$$\text{Nous Prenons } 32 T25 = 157 \text{ cm}^2 = A.$$

### \* Condition de non fissuration :

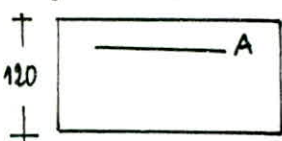
$$\bar{\sigma}_1 = \frac{k \gamma_0}{\phi} \cdot \frac{w_f}{1+10w_f}; \quad \bar{\sigma}_2 = 2,4 \sqrt{\frac{k \gamma_0}{\phi} \bar{\sigma}_b'}; \quad k = 10^6; \quad \gamma_0 = 1,6$$

$$w_f = \frac{A}{B_f} = \frac{157}{2 \cdot 6 \cdot 180} = 0,072$$

$$\text{d'où: } \bar{\sigma}_1 = 2679 \text{ kg/cm}^2; \quad \bar{\sigma}_2 = 1662,76 \text{ kg/cm}^2$$

$$\bar{\sigma}_a = \min(2670, \max(\bar{\sigma}_1, \bar{\sigma}_2)) = 2670 \text{ kg/cm}^2$$

La condition de non fissuration est satisfait



## EFFORTS - TRANCHANTS

$$T_{\max} = 291,54 t ; \quad \bar{\sigma}_b = \frac{T}{b} = \frac{T}{b \cdot \frac{7}{8} \cdot h} = \frac{291,54 \cdot 10^3}{180 \cdot \frac{7}{8} \cdot 114} = 16,23 \text{ kg/cm}^2$$

$$\bar{\sigma}'_b = 108 \text{ kg/cm}^2 ; \quad \bar{\sigma}'_{b_0} = 90 \text{ kg/cm}^2 \quad \bar{\sigma}_b = 7,5 \frac{\text{kg}}{\text{cm}^2}$$

$$\bar{\sigma}'_{b_0} < \bar{\sigma}'_b < 2 \bar{\sigma}'_{b_0} \Rightarrow \bar{\sigma}_b = \left( 4,5 - \frac{\bar{\sigma}'_b}{\bar{\sigma}'_{b_0}} \right) \bar{\sigma}'_{b_0} = 24,75 \text{ kg/cm}^2$$

on a bien  $\bar{\sigma}_b = 16,23 \text{ kg/cm}^2 < \bar{\sigma}_b = 24,75 \text{ kg/cm}^2$

Nous utiliserons des cadres perpendiculaires à la ligne moyenne (armature d'âme droite)

$$\bar{\sigma}_{at} = \max \left( \frac{2}{3} ; 1 - \frac{\bar{\sigma}_b}{\bar{\sigma}_{b_0}} \right) = 0,759$$

$$\bar{\sigma}_{at} = \bar{\sigma}_{at} \bar{\sigma}_{eu} ; \quad \bar{\sigma}_{eu} = 4000 \text{ kg/cm}^2 \Rightarrow \bar{\sigma}_{at} = 3036 \text{ kg/cm}^2$$

\* ARMATURES TRANSVERSALES: Nous adoptons 5 cadres  $\phi 10$  en U

Soit  $A_t = 10 \cdot 0,785 = 7,85 \text{ cm}^2$

L'espacement des  $A_t$  sera :  $t \leq \frac{3 \bar{\sigma}_{at}}{T}$

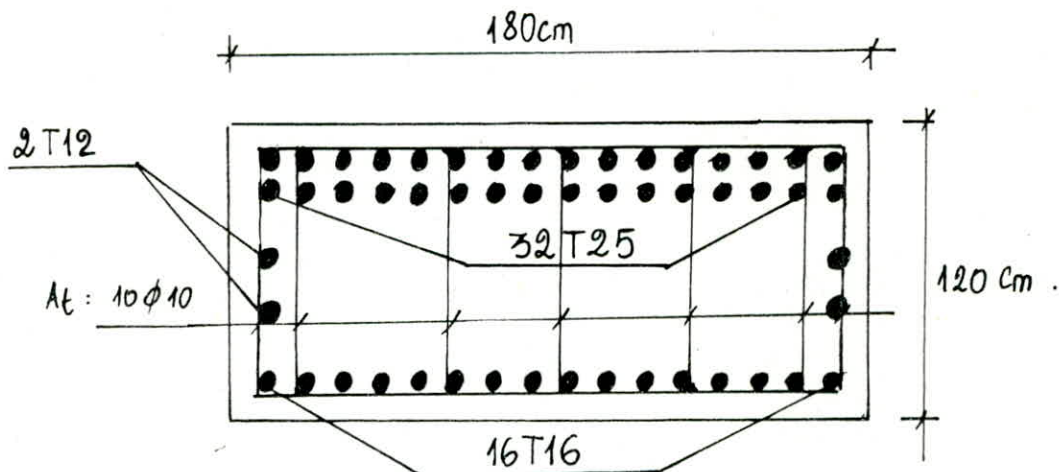
$$t \leq \frac{99,75 \cdot 3036}{291,54 \cdot 10^3} \cdot 7,85 \Rightarrow t \leq 8,15 \text{ cm.}$$

Nous prendrons donc  $t = 15 \text{ cm}$  sur appui car l'effort est important et  $t = 20 \text{ cm}$  en travée là où l'effort est moins important

CALCUL de  $\bar{t}$        $\bar{t} = \min \left( 0,2h ; \left( 1 - \frac{0,3 \bar{\sigma}_b}{\bar{\sigma}_b} \right) h \right) = 22,8 \text{ cm.}$

On a bien  $t < \bar{t}$

## Schéma de Ferrailage des Sections



\* Etude du Fût : les fûts de la pile sont sollicités par des charges verticales (poids de la pile, charges et surcharges du tablier) et des charges horizontales (variation linéaire du tablier freinage, séisme) les charges horizontales en gendrent à la base des fûts des moments fléchissant.

### EFFORTS À LA BASE DES FÛTS

Condition - normale	G + 1,2 P + T :			
	Eff. Htaux H(t)	Eff. V. N(t)	d (m)	Mf/tm
chevêtre : $2,5(1,8 \times 1,20 \times 12,7)$	0	68,58	0	0
fûts : $2,5(1,20 \times 1,60 \cdot 6,32) \times 2$	0	60,67	0	0
Tablier	0	570	0	0
Surcharge	0	113,25	0	0
Variation linéaire du Tablier	0	0	0	0
Freinage :	12	0	7,52	90,24

Combinaisons du 1<sup>er</sup> Genre: G + 1,2 P + T

$$1 \quad \begin{cases} N_{\max} = 68,58 + 60,67 + 570 + 1,2 \cdot 113,25 = 835t \\ H_{\max} = 1,2 \cdot 12 = 14,4t \\ M_{\max} = 90,24 t.m. \end{cases}$$

$$2 \quad \begin{cases} N_{\min} = 68,58 + 60,67 + 570 = 699,17t \\ M_{\min} = 0 t.m. \\ H_{\min} = 0 t. \end{cases}$$

### CALCUL DES EFFORTS À LA BASE DE CHAQUE FÛT

$$1 \quad \begin{cases} N_{\min} = 349,58t \\ H = 0 \\ M = 0 \end{cases}$$

$$2 \quad \begin{cases} N_{\max} = 417,5t \\ H_{\max} = 7,2t \\ M_{\max} = 54,14 \cdot t.m. \end{cases}$$

Condition extrême	H(t)	N(t)	d(m)	Mf/tm (t.m)
chevêtre : 68,58   1,07 0,93		73,38 63,77		
Fût : 60,67   1,07 0,93		64,91 56,48		
Tablier : 570   1,07 0,93		567,1 492,9		
Surcharge .		113,25		
Variation linéaire Tablier		0		
Freinage	12	0	7,52	90,24
Séisme $46,48 + 0,1 \cdot 111,56$	57,63	0	6,60	380,35

$$N_{\max} = 705,9t ; H_{\max} = 69,63t ; M_{\max} = 470t.m.$$

EFFORTS à la base de chaque fût :

$$N_{\max} = 352,5t ; H_{\max} = 34,81t ; M_{\max} = 235t.m.$$

\* Effort résultant d'un choc de Véhicule auto. routier sur un fut:

des bulletins SETRA donnent comme valeur nominale de choc de véhicules

- choc frontal : 100t
- choc lateral : 50t

La force statique équivalente s'applique à 1,50m au dessus de la chaussée

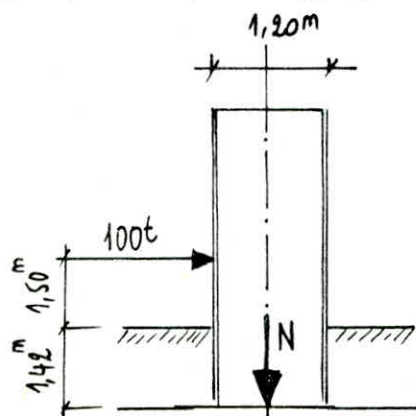
\* - Sollicitations de calcul par fut

$$\text{charge permanente} = \frac{1}{2} (\text{PP Zablier} + \text{PP chevêtre}) + \text{pp. fut.}$$

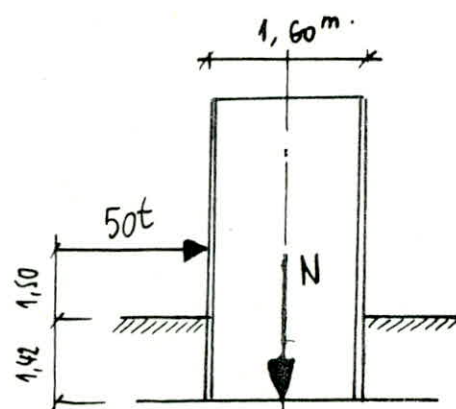
$$N = \frac{1}{2} (570 + 68,58) + 60,67 = 379,96t$$

choc frontal : Moment frontal =  $\pm 100 \cdot 2,92 = 292t \cdot m$

choc lateral : Moment lateral =  $\pm 50 \cdot 2,92 = 146t \cdot m$ .



choc frontal.



choc lateral

\* FERRAILLAGE DU FUT:

Nous venons de voir que le fut est à chaque fois sollicité en flexion composé. Nous feraiillerons donc en condition sismique puis on fera une vérification en condition normale.

\* Susceptibilité du fut au flambement :

Pour nous placer dans le domaine de la sécurité il nous est très difficile de définir la nature des appuis aux extrémités du fut. On adopte pour la longueur  $l_c$ .  $l_c = \beta l_0$  avec  $\beta = 1,3$  (poteau flexible encastré élastiquement aux 2 extrémités)  $l_0 = 6,32m \Rightarrow l_c = 1,3 \cdot 6,32 = 8,216m$  nous avons un fut rectangulaire :  $(b \cdot h_t) = (120 \times 160)$ .

$$\text{l'élançlement : } \lambda = \frac{l_c}{i} ; i = \sqrt{\frac{I}{B}} = \frac{0,23}{1,92} = 0,34m$$

$$i = \frac{h_t}{\sqrt{12}} = \frac{1,20}{\sqrt{12}} = 0,34$$

$$\lambda = \frac{l_c}{i} = 23,76 < 35$$

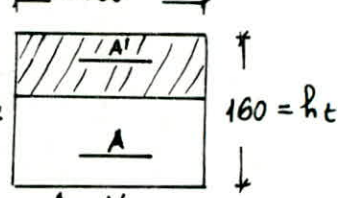
Notre fut se calcule en flexion composé sans tenir compte de l'effet du flambement.

## Ferraillage du fût suivant la condition sismique:

$N_{max} = 352,5 t$  ;  $H_{max} = 34,81 t$  ;  $M_{max} = 235 t \cdot m$   
excentricité :

$$e_0 = \frac{M}{N} = 0,66 m ; \frac{ht}{2} = 0,80 m.$$

$$e_1 = \frac{ht}{6} = 0,26 m ; \bar{\sigma}_a = 4000 \text{ kg/cm}^2$$



$e_0 > e_1 \rightarrow$  La section est partiellement comprimée

$$e_0 < \frac{ht}{2} \rightarrow \bar{\sigma}'_{fc} = \bar{\sigma}'_{bo} \left( 1 + \frac{e_0}{3e_1} \right) \text{ avec } \bar{\sigma}'_{bo} = \frac{90 \text{ kg}}{\text{cm}^2}$$

$$\rightarrow \bar{\sigma}'_{fc} = 166,15 \text{ kg/cm}^2 \Rightarrow \bar{\sigma}'_b = 1,5 \bar{\sigma}'_{fc} = 249 \text{ kg/cm}^2$$

### \* Ferraillage suivant (L'aide mémoire béton armé VICTOR-Davidovici)

$$\lambda = \frac{N^2}{Mb\bar{\sigma}'_b} = 0,176 ; K = \frac{\bar{\sigma}_a}{\bar{\sigma}'_b} = 16,06 \quad \frac{d}{ht} = 0,05$$

Tableau donne :  $w = 2,6$  ;  $K_b = 0,28$

calcul de  $ht$ :

$$ht = \sqrt{\frac{1 \text{ M}}{K_b b \cdot \bar{\sigma}'_b}} = 52,99 \text{ cm}$$

d'où :  $A = \frac{\tilde{w} b ht}{100} = 165 \text{ cm}^2 \Rightarrow$  le ferraillage adopté

est  $A = 21T32 = 168,88 \text{ cm}^2$

### \* Vérification des contraintes:

$$K_e = \frac{N}{M} ht = 2,4 ; \tilde{w} = \frac{100 \cdot A}{b ht} = 0,879$$

Tableau :  $K_b = 0,11$  ;  $K = 6,38$

$$\bar{\sigma}'_b = \frac{M}{K_b b ht^2} = 69,54 \text{ kg/cm}^2 < \bar{\sigma}'_b = 249 \text{ kg/cm}^2 \text{ vérifiée}$$

### \* Vérification à un choc accidentelle:

$$* M_f = 292 \text{ t.m} \quad N = 379,96 t \quad A = 21T32 = 168,88 \text{ cm}^2$$

$$e_0 = \frac{M}{N} = 0,768 > e_1 \Rightarrow S.P.C$$

$$K_e = \frac{N}{M} ht = 2 ; \tilde{w} = \frac{100 A}{b ht} = 0,879$$

Tableau donne :  $K_b = 0,12$  ;  $K = 8,50$

$$\bar{\sigma}'_b = \frac{1}{K_b} \cdot \frac{M}{b ht^2} = 79,21 \text{ kg/cm}^2 < \bar{\sigma}'_b = 249 \text{ kg/cm}^2 \text{ vérifiée}$$

$$\bar{\sigma}_a = K \bar{\sigma}'_b = 673,28 \text{ kg/cm}^2 < 4000 \text{ kg/cm}^2 \text{ vérifiée}$$

\* Dans l'autre sens : on a :

$$M = 146 \text{ t.m} ; N = 379,96 t \quad A = 21T32$$

Le même calcul nous amènera à une vérification acceptable.

\* Vérification des Contraintes en Condition normale:

$$N = 835 t ; H = 14,4 t ; M = 90,24 t.m. \quad A = 21T32 = 168,88 \text{ cm}^2$$

$$\underline{e}_0 = \frac{M}{N} = 0,108 \text{ m} < e_1 = 0,26 \text{ m} \rightarrow \text{La Sect}^{\theta} \text{ est entièrement comprimé.}$$

Vérifions tout-d'abord si il n'est pas nécessaire de mettre des armatures cod. Si le béton tout seul est capable de reprendre les contraintes de compression

$$\sigma_{b1,2}' < \bar{\sigma}_b' \quad ?? \quad \bar{\sigma}_b' = 249 \text{ kg/cm}^2$$

$$\sigma_{b1,2}' = \frac{N}{bht} + \frac{6M}{bh_t^2} = (61,11 ; 25,86)$$

La Condition est vérifiée

Dans ce cas le béton tout seul peut reprendre les efforts de compression dûs à la flexion composé

- Nous allons donc ferraillez avec le % minimal de compression

$$A'min = \frac{1,25}{10^3} \cdot \theta_1 \cdot \theta_2 \cdot \theta_3 \cdot \frac{N}{\bar{\sigma}_{b0}'} \quad \theta_1 = 1,4 \text{ fut extrême}$$

$$\theta_2 = 1 + \frac{lc}{4a-2c} = 2,30$$

$$\text{Soit } A'm = 56,76 \text{ cm}^2 \text{ soit } A'_1 = A'_2 = \frac{A'm}{2} \quad c = 0,05 \text{ cm.}$$

$$A'_1 = A'_2 = \frac{A'm}{2} = 28,38 \text{ cm}^2 \quad \theta_3 = 1 + \frac{2160}{6en} = 1,52$$

D'où on adopte le ferrailage déjà calculé soit : 21T32.

\* Armatures transversales Par unité de Longueur:

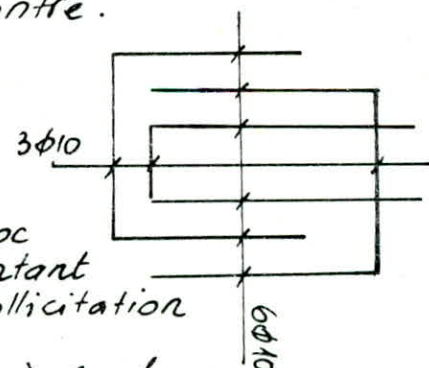
Nous choisissons 3 cadres φ10 en forme de U disposés comme le montre la figure ci-contre.

$$At_1 = 6 \cdot 0,78 = 4,68 \text{ cm}^2$$

$$At_2 = 3 \cdot 0,78 = 2,34 \text{ cm}^2$$

\* Vérification au cisaillement:

l'effort tranchant provoqué par un choc éventuel d'un véhicule est plus important que celui engendré par une autre sollicitation



L'effort tranchant maximal sous le choc à la base du fut à pour valeur

- choc frontal :  $T_f = 100t$

$$\bar{\sigma}_{at} = 6en \text{ (2}^{eme} \text{ genre).}$$

- choc lateral :  $T_l = 50t$

- choc lateral :  $A = \frac{T_e}{7/8 \cdot h \cdot \bar{\sigma}_{at}} = 0,09 \text{ cm}^2 < At_1 = 4,68 \text{ cm}^2$

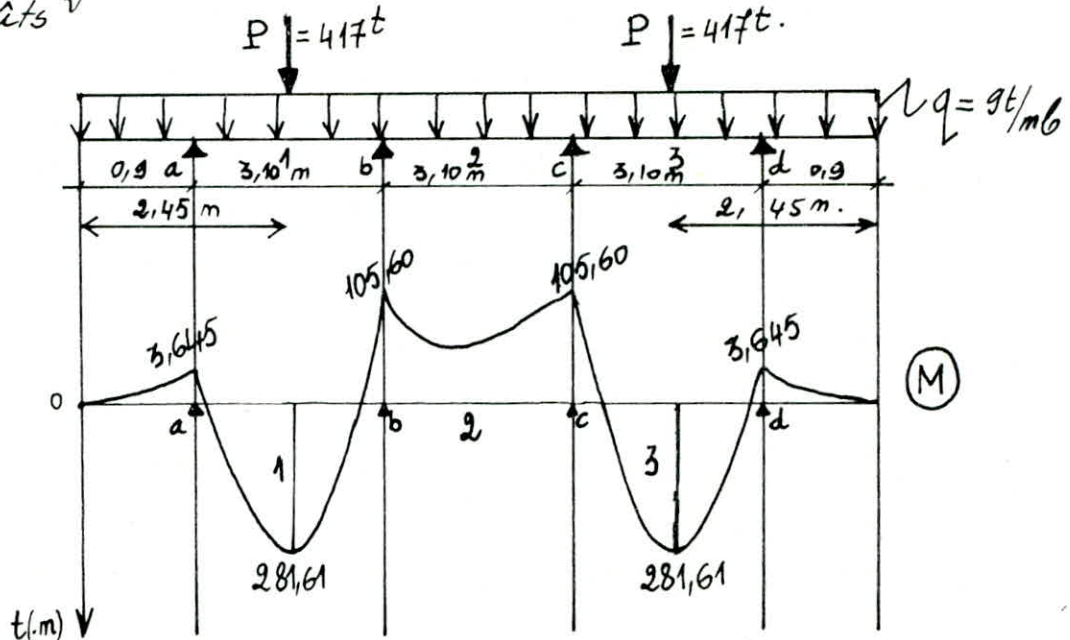
choc frontal :  $A = \frac{8 \cdot T_f}{7 \cdot h \cdot \bar{\sigma}_{at}} = 0,24 \text{ cm}^2 < At_2 = 2,34 \text{ cm}^2$

D'où La résistance au cisaillement est assurée

I/ Semelle de liaison des Pieux de la fondation de la Pile

Notre Semelle va se calculer comme une Poutre continue reposant sur quatres appuis qui sont les Pieux. Les charges sollicitant notre semelle sont les charges verticales seulement.

- Il y a une charge uniformément répartie sur toute la Semelle donnée par elle même par  $m/l$
- Deux charges verticales concentrées sur la semelle à l'axe des fûts



$$P = G_p + S + \text{chevette} + \text{Fut}$$

$$q = \frac{\text{Sect}^2 \text{ de la semelle}}{2} \times \text{densité du béton} \times 1 \text{ m}l.$$

$$\text{D'où : } P = 417 \text{ t} ; q = 2,5 \times 1,80 \times 2 \times 1 = 9 \text{ t/m}l.$$

D'après Aide mémoire RDM on en déduit :

$$M_a = M_d = q \frac{l^2}{2} = \frac{9 \cdot 0,9^2}{2} = 3,645 \text{ t.m.}$$

$$M_b = M_c = \frac{1}{10} q l^2 + 0,075 pl = 105,60 \text{ t.m}$$

$$M_1 = M_3 = 0,08 q l^2 + 0,2125 pl = 281,61 \text{ t.m}$$

$$M_2 = -0,08 q l^2 = 6,91 \text{ t.m.}$$

avec  $P = 417 \text{ t}$ ;  $q = 9 \text{ t/m}l$   
 $l = 3,10 \text{ m}$

## Ferraillage de la Semelle :

Le ferraillage de la Semelle va se calculer en flexion simple.

### \* ARMATURES INFÉRIEURES

$$M_f = 281,61 \text{ t.m} ; n = 15 ; \bar{\sigma}_b' = 180 \text{ kg/cm}^2$$

$$\bar{\alpha} = \frac{n \bar{\sigma}_b'}{n \bar{\sigma}_b' + \bar{\sigma}_a} = 0,502$$

$$\bar{\gamma} = 1 - \frac{\bar{\alpha}}{3} = 0,83$$

$$\text{D'où } A = \frac{M_f}{\bar{\gamma} h \bar{\sigma}_a} = 73,03 \text{ cm}^2$$

$$A_{inf} = 15T25 = 73,63 \text{ cm}^2$$

$$\phi_t = 0,8$$

$$c_v = \min(2,5, \phi_L^{\max}) = 2,5$$

$$d = b + \phi_t + \phi_L + \frac{c_v}{2} \approx 7 \text{ cm}$$

### Verification des Contraintes :

$$S = \frac{by^2}{2} - nA(h-y) = 0$$

$$S = \frac{100y^2}{2} - 15 \cdot 73,63(173-y) = 0$$

$$\text{D'où } y = 38,53 \text{ cm}$$

$$I = \frac{6y^3}{3} + nA(h-y)^2 = 23784206,8 \Rightarrow K = \frac{M_f}{I} = 1,18$$

$$\bar{\sigma}_b' = Ky = 1,18 \cdot 38,53 = 45,46 \text{ kg/cm}^2 < \bar{\sigma}_b' = 180 \text{ kg/cm}^2 \text{ vérifiée}$$

$$\bar{\sigma}_a = nK(h-y) = 15 \cdot 1,18(173-38,53) = 2380 \text{ kg/cm}^2 < 2670 \text{ kg/cm}^2 = \bar{\sigma}_a$$

Vérifions aussi que  $\bar{\sigma}_a = 2670 \text{ kg/cm}^2$  est bien admissible.

$$\bar{\sigma}_a = \min\left(\frac{2}{3}\bar{\sigma}_{en} ; \max(\bar{\sigma}_1, \bar{\sigma}_2)\right)$$

$$\bar{\sigma}_1 = \frac{k \eta}{\phi} \cdot \frac{\hat{w}_f}{1+10\hat{w}_f} ; \bar{\sigma}_2 = 2,4 \sqrt{\frac{k \eta}{\phi} \bar{\sigma}_b}$$

$$K = 10^6 ; \eta = 1,6 \quad w_f = \frac{A}{B_f} = \frac{73,63}{2 \cdot 7 \cdot 200} = 0,026$$

$$\bar{\sigma}_1 = 13206 ; \bar{\sigma}_2 = 5258$$

$$\bar{\sigma}_a = 2670 \text{ kg/cm}^2 \text{ vérifiée}$$

### \* ARMATURES SUPÉRIEURES :

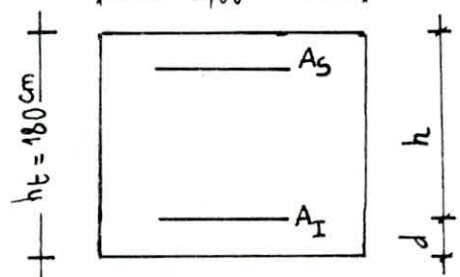
$$M = 105,60 \text{ t.m} ;$$

$$\bar{\alpha} = 0,502 ; \gamma = 0,83$$

$$A_{sup} = \frac{M_f}{\bar{\gamma} h \bar{\sigma}_a} = \frac{105,60 \cdot 10^5}{0,83 \cdot 174 \cdot 2800}$$

$$A_{sup} = 26,10 \text{ cm}^2 \text{ soit } 9T20 =$$

$$A_{sup} = 9T20 = 28,27 \text{ cm}^2$$



## Vérification des Contraintes :

$$S = \frac{b}{2} y^2 - nA(h-y) \quad \text{avec} \quad h = 173 \text{ cm. et } d = 7 \text{ cm.}$$

$$100y^2 - 15.28,27(173-y) = 0 \Rightarrow y = 25,04 \text{ cm.}$$

$$I = \frac{b}{3} y^3 + nA(h-y)^2 = 10330045,8 \text{ cm}^4$$

$$K = \frac{M_f}{I} = \frac{105,60 \cdot 10^5}{I} = 1,02$$

$$\tilde{\sigma}_b' = Ky = 1,02 \cdot 25,04 = 25,59 \text{ kg/cm}^2 < \tilde{\sigma}_b' = 180 \text{ kg/cm}^2$$

$$\tilde{\sigma}_a = nk(h-y) = 15 \cdot 1,02(173-25,04) = 2263 < \tilde{\sigma}_a = 2800 \text{ kg/cm}^2$$

Vérifions aussi que  $\tilde{\sigma}_a = 2800$  est bien admissible.

$$w_f = \frac{A}{B_f} = 0,01 \Rightarrow \sigma_1 = \frac{7272 \text{ kg}}{\text{cm}^2}; \sigma_2 = 5878 \text{ kg/cm}^2$$

$$\text{d'où } \tilde{\sigma}_a = 2800 \text{ kg/cm}^2.$$

donc toutes les vérifications sont vérifiées  
finalement on choisit comme section  
d'armature définitive :

$$A_{inf} = 15T25 = 73,63 \text{ cm}^2$$

$$A_{sup} = 9T20 = 28,27 \text{ cm}^2$$

## Schéma de ferrailage de la section : 9T20

### \* Détermination des Armatures transversales de Répartition :

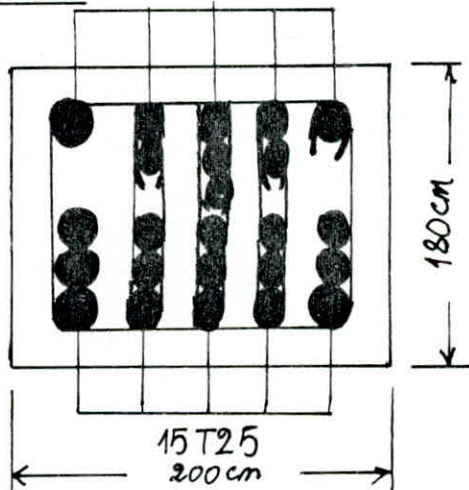
D'après les documents Setra :

$$* A_{inf}^t = \frac{A_{inf}}{3} = \frac{73,63}{3} = 24,54 \text{ cm}^2$$

$$\text{soit } A_{inf}^t = 8T20 = 25,13 \text{ cm}^2$$

$$**. A_{sup}^t = \frac{A_{sup}}{3} = \frac{28,27}{3} = 9,42 \text{ cm}^2$$

$$\text{soit } A_{sup}^t = 9T12 = 10,18 \text{ cm}^2$$



Conclusion : ces armatures vont jouer le rôle des armatures de répartition :

## ETUDE - DES - PIEUX.

### \* Capacité Portante des Pieux

La force portante admissible d'un pieu est alors défini par :

$$\bar{Q}_p = \frac{\bar{Q}_p}{F_s}$$

$F_s$ : coefficient de sécurité ( $F_s = 2$ )

$\bar{Q}_p$ : résistance en pointe du pieu

$$\bar{Q}_p = \frac{\pi B^2}{4} \left[ N_q \sum \gamma_i D_i + 1,3 C N_c \right]$$

La profondeur du pieu est de 15m.

$B: 1,20\text{m}$  ( $\phi$  du pieu)

$\gamma_i$ : masse volumique de la couche  $i$  traversé par le pieu

$c$ : cohésion de la couche où le pieu est ancré

$N_q, N_c$ : coefficients dépendant des caractéristiques mécaniques de la couche où le pieu est ancré

\* D'après le tableau de Caquot-Kerisel:

$$\varphi = 35^\circ \rightarrow N_q = 33,3 ; N_c = 46,1$$

\* Calcul de la hauteur critique  $h_c$

$$h_c = \frac{B}{4} N_q^{2/3} = 3,10\text{m}$$

$$\bar{Q}_p = \frac{\pi B^2}{4} \left[ N_q \sum \gamma_i D_i + 1,3 C N_c \right] = 565\text{t.}$$

$$\bar{Q}_p = \frac{\bar{Q}_p}{F_s} = 282,5\text{t}$$

Justification des pieux :

Nous avons 4 pieux répartis en une seule file

Condition à vérifier :  $Q_G + Q_S \leq \bar{Q}_p$

Condition Normal :  $\frac{567 + 148,5 + 68,58 + 60,67 + 99,9}{4} = 235,2 \text{t} < 282,5 \text{t}$

Condition Sismique :  $235,2 + 0,07G = 245,10 \text{t} < 1,33 \bar{Q}_p$

\* Ferrailage des pieux de la pile en condition normal :

I/ Moment fléchissant provoqué par le freinage des véhicules en tête des pieux

$$M = 12 \times 9,32 = 111,84 \text{ t.m.}$$

- Moment fléchissant en tête d'un seul pieu

$$M_b = \frac{M}{4} = \frac{111,84}{4} = 27,96 \text{ t.m.}$$

Nous admettons que la tête du Pieu est encastrée dans la semelle de fondation de la Pile. D'où résulte un Moment d'encaissement donné par la méthode de Werner. Le module de Réaction du sol de la fondation est estimé à  $C_u = 2000 \text{ t/m}^3$

$$\lambda = \left( \frac{b C_u}{4 E I} \right)^{0,25} = \frac{1,20 \cdot 2000}{4 \cdot 3,45 \cdot 10^6 \cdot 0,10178} = 0,203.$$

$$\lambda_b = 3,04 \Rightarrow \lambda_b \approx 3$$

Moment d'encaissement par la méthode de Werner : de pieu étant encastré dans la Semelle donc on pose  $\varphi = 0$ . d'où le Moment fléchissant développé par la réaction du sol :

$$M^* = - \frac{\chi c p^*}{\chi c M^*} \cdot \frac{P^*}{\lambda} ; \quad P^*: \text{effort tranchant en tête d'un seul pieu} \\ P^* = \frac{12}{4} = 3 \text{ t.} \quad M^* = - \frac{1,16 \cdot 3}{1,48 \cdot 0,203} = -11,58 \text{ t.m.}$$

Ce moment d'encaissement va être multiplié de 20% pour le cas d'une seule file de Pieu.

$$M^{*\max} = 1,2 M^* = 1,2 \times 11,58 = 13,89 \text{ t.m.}$$

Moment total en tête du Pieu

$$M_{\text{tot}} = M^{*\max} + M_b = 13,89 + 27,96 = 41,85 \text{ t.m.}$$

Ferraillage du Pieu : "Armatures Longitudinales".

La section en tête de Pieu est nettement plus sollicitée que les autres. Cette section sera ferrailleée sous les efforts du 1er degré (condition normale) et l'on fera une vérification en condition sismique.

\*. Ferraillage du Pieu en condition normale.

$$M = 41,85 \text{ t.m} ; \quad N = 199 \text{ t} ; \quad R = 60 \text{ cm.} \\ e_0 = \frac{M}{N} = 0,21 \text{ m} ; \quad e_1 = c_s = \frac{I}{B V_s} = \frac{1R}{4} = 0,15$$

$e_0 > c_s \Rightarrow$  La section est partiellement comprimée  
Ferraillage par la méthode de Victor Davidovici :

$$(\text{aide mémoire B.A}) \quad \bar{b}_a = 2670 \text{ kg/cm}^2 (\phi > 20 \text{ mm}).$$

$$K_e = N_r / M = 2,8 ; \quad \frac{d}{2r} = 0,05 \Rightarrow d = 6 \text{ cm.} \quad \text{Tabl: 4.57. P.196.} \\ K_a = \frac{M}{c^3 \bar{b}_a} = 0,00725$$

Calcul de la section : La section d'acier est égale dans ce cas à 0,75% de la section totale du béton.

$$A = \frac{0,75}{100} \cdot \pi R^2 = 84,78 \text{ cm}^2 \quad \text{Soit: } A = 187,25 = 88,38 \text{ cm}^2 \\ \text{esp: } 18,5 \text{ cm.}$$

\* Vérification des Contraintes en condition normal:

$N, M, \Gamma, A$  données

$$K_e = 2,8$$

$$W = \frac{100A}{\pi R^2} = \frac{100 \cdot 88,38}{\pi \cdot 60^2} = 0,78$$

Tableau

$$\left. \begin{array}{l} K_b = 0,53 \\ K = 1,62 \end{array} \right\} \rightarrow$$

$$\sigma'_b = \frac{1}{K_b} \cdot \frac{M}{r^3} = \frac{41,85 \cdot 10^5}{0,53 \cdot 60^3} = 36,55 \text{ kg/cm}^2 < \bar{\sigma}'_b = 151 \text{ kg/cm}^2 \text{ vérifiée.}$$

$$\sigma_a = K \sigma'_b = 1,62 \cdot 36,55 = 59,21 \text{ kg/cm}^2 < 2670 \text{ kg/cm}^2 = \bar{\sigma}_a$$

\* Vérification des Contraintes en condition sismique:

\* - Moment fléchissant provoqué par le séisme sous l'action de l'effort sismique horizontal  $P = 46,48t$ . revenant à la pile.

$$M = P \cdot l = 46,48 \times 9,32 = 433,19 \text{ t.m.}$$

\* Moment fléchissant en tête d'un seul pieu :

$$M_b = \frac{M}{4} = \frac{433,19}{4} = 108,29 \text{ t.m.}$$

\* Moment fléchissant développé par la réaction du sol.

$$M^* = - \frac{XGP^*}{XGM^*} \cdot \frac{P^*}{\lambda} = - \frac{1,16}{1,48} \cdot \frac{11,62}{0,203} = -44,86 \text{ t.m.}$$

$$P^* = \frac{P}{4} = \frac{46,48}{4} = 11,62t \quad (\text{effort tranchant en tête d'un seul pieu})$$

$$M_{\max}^* = 1,2 M^* = 53,83 \text{ t.m.}$$

Moment Total en tête du Pieu :

$$M_{\text{tot}} = M_{\max}^* + M_b = 53,83 + 108,29 = 162,12 \text{ t.m.}$$

D'où les sollicitations en condition sismique sont :

$$N = 199 \times 0,93 = 185t ; \quad M = 162,12 \text{ t.m.}$$

$N, M, \Gamma, A$  données :

Vérification Page 192 (Tabl: 4.Sf)

$$W = 0,78$$

$$K_e = \frac{Nz}{M} = \frac{185 \cdot 0,60}{162,12} = 0,68 \quad \left. \begin{array}{l} \Rightarrow K_b = 0,507 \\ K = 23,84 \end{array} \right\}$$

$$\sigma'_b = \frac{1}{K_b} \cdot \frac{M}{r^3} = \frac{1}{0,507} \cdot \frac{162,12}{60^3} = 148,03 \text{ kg/cm}^2.$$

$$\sigma_a = K \sigma'_b = 23,84 \cdot 148,03 = 3529,03 \text{ kg/cm}^2$$

$$\sigma'_b < 1,5 \bar{\sigma}'_b = 1,5 \times 151 = 226 \text{ kg/cm}^2 ; \quad 3529,03 < 4000 \text{ kg/cm}^2$$

Conclusion: toutes les vérifications sont satisfaites donc le ferrailage longitudinale à adopter est

$$A = 18T25 = 88,38 \text{ cm}^2 \text{ avec un espaceur: } e = 18,5 \text{ cm}$$

#### \* ARMATURES TRANSVERSALES:

Spires  $\phi 12$  comme armatures transversales  
(cerces hélicoïdales)

- zone de Recouvrement: une spire de  $\phi 12$  tous les 10 cm.
  - zone courante: une spire  $\phi 12$  tout les 15 cm  
Un cercle  $\phi 20$  tout les 2,00 m.
-

## BIBLIOGRAPHIE

- BARES - MASSONNET

"calcul des grillages de Poutres et dalle orthotropes"

- PIERRE - CHARRON

"Calcul et La vérification des ouvrages en Beton armé"

- Règles Techniques de CCBA 68

- DAVIDOVICI

"Beton armé collection aide mémoire" édition Dunod.

- DREUX G :

"Pratique du Beton Précontraint".

- TABLES. DE WERNER

- BULLETINS - SETRA .

"Service d'études techniques des Routes et autoroutes"

(Appui des tabliers, Calcul complémentaire .....)

- Traité de Beton armé

DUNOD . A-GUERRIN

(3)

Remarque:

Nous Nous excusons infiniment pour ne pas avoir fait l'étude de la culée et de sa fondation vue quelques problèmes que nous avons eu et rencontré tout au début de notre Projet  
En conséquence Veuillez Agreer Messeurs l'expression de nos remerciements les plus distinguées



COUPE TRANSVERSALE Fch 1/50

VUE EN ELEVATION

1/2 COUPE SUR PILE

PB-04387  
-2-

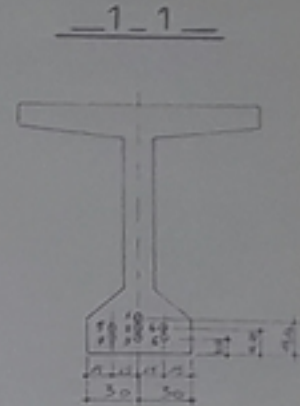
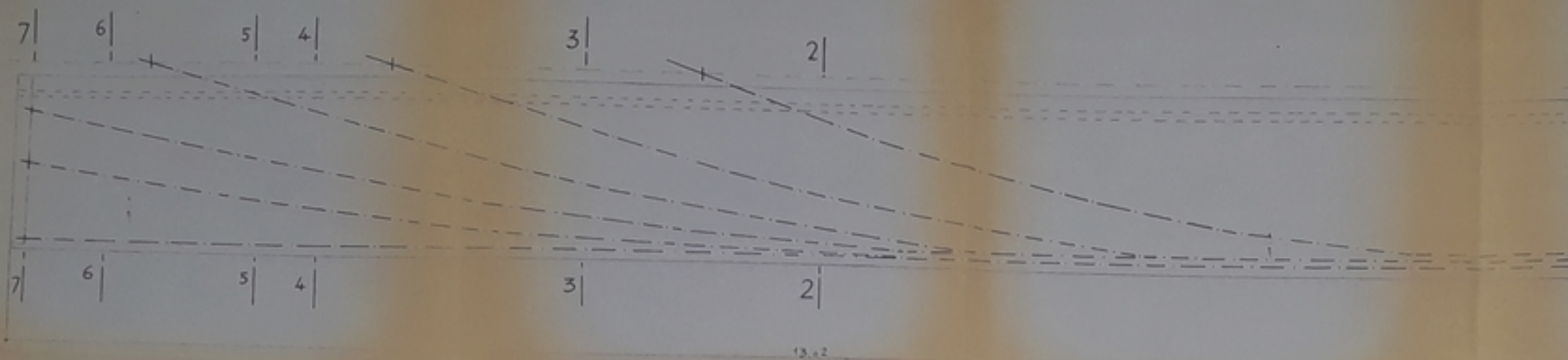
ECOLE NATIONALE POLYTECHNIQUE  
DEPARTEMENT DE GENIE CIVIL  
PROMOTION: JUIN 87  
PROJET DE FIN D'ETUDE

## —PLAN D'ENSEMBLE

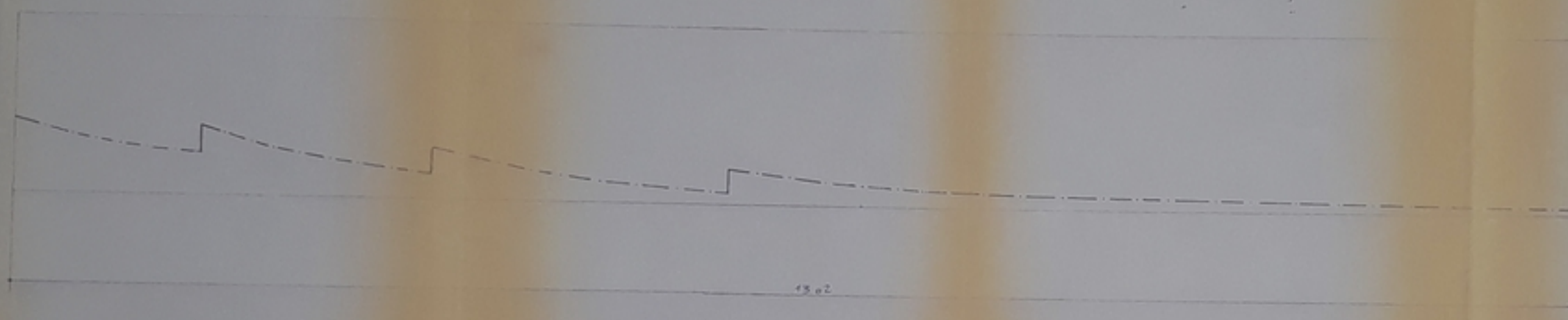
ETUDIE PAR: S. BOUGHADOU  
A NAIT BENAI

DIRIGE PAR: M<sup>E</sup> P. BONNEVILLE

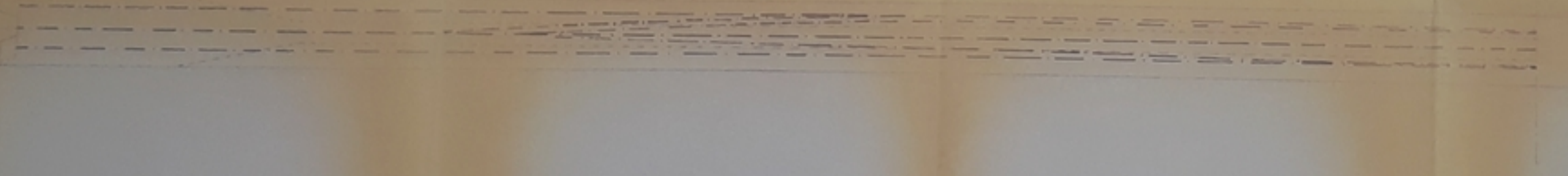
V2 COUPE LONGITUDINALE Ech: 1/20



CABLE EQUIVALENT Ech: 1/20



1/2 COUPE HORIZONTALE Ech 1/20



PAOUBS 1

-3-

REPUBLIQUE ALGERIENNE DEMOCRATIQUE ET POPULAIRE  
ENTREPRISE NATIONALE D'ETUDES & REALISATIONS

DOUVRAGES D'ART

ECOLE NATIONALE POLYTECHNIQUE

DEPARTEMENT DE GENIE CIVIL

PROMOTION: JUIN 87



PROJET DE FIN D'ETUDES

POUTRE PREFABRIQUEE

DE 26.04m CABLAGE

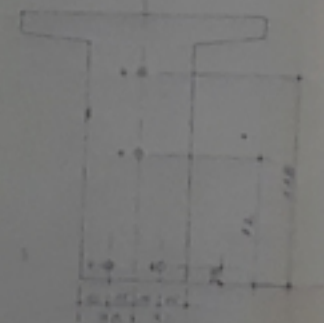
ETUDIE PAR: S. BOUGHADOU  
A. NAIT BENALI

DIRIGE PAR: M<sup>e</sup> P. BONNEVILLE

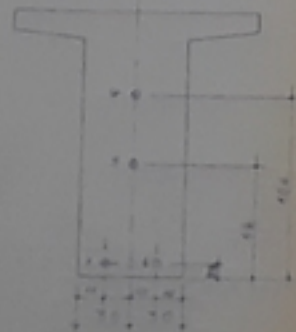
Echelle: 1/20

PLAN N°02

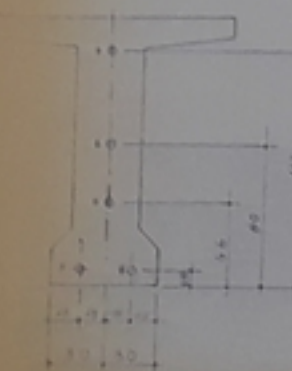
7-7



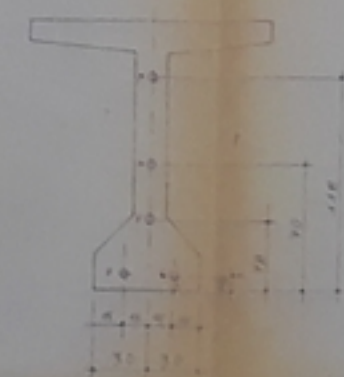
6-6



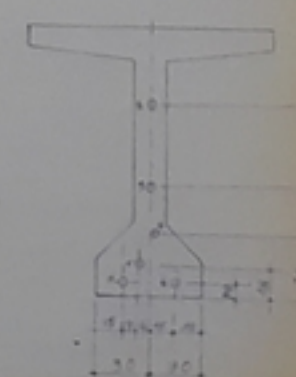
5-5



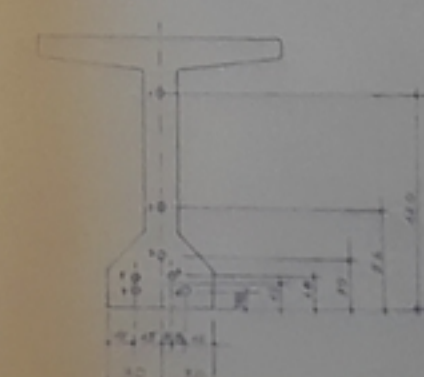
4-4

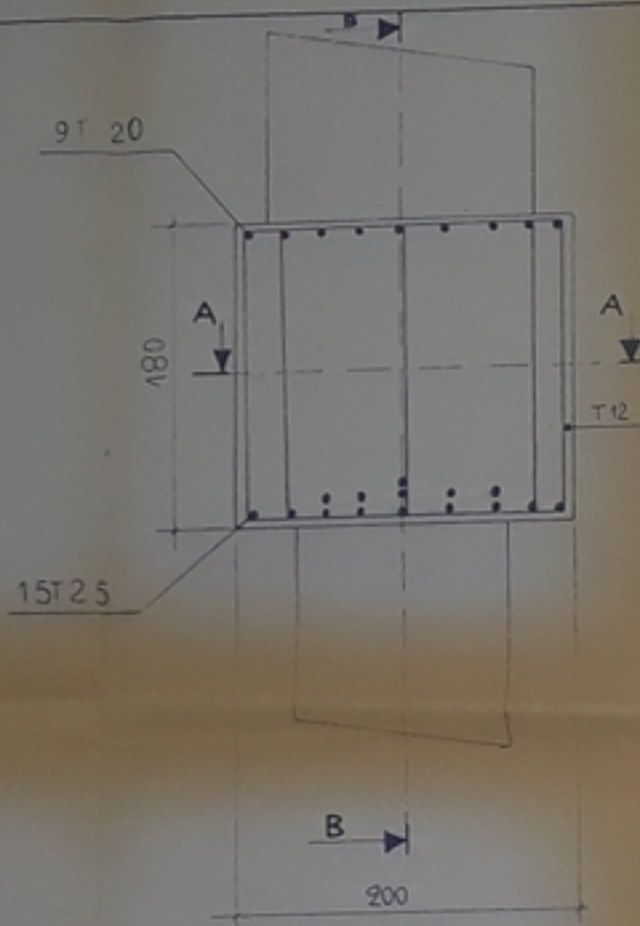


3-3

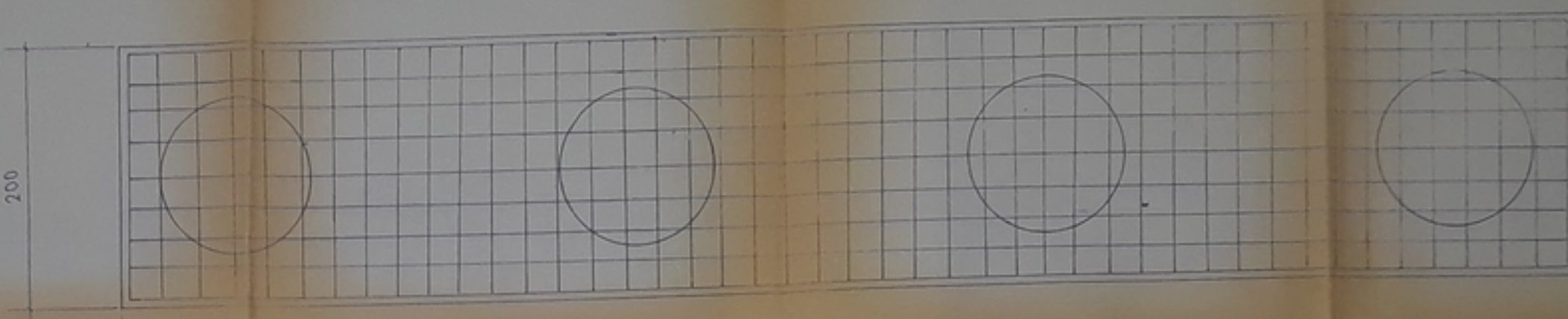


2-2

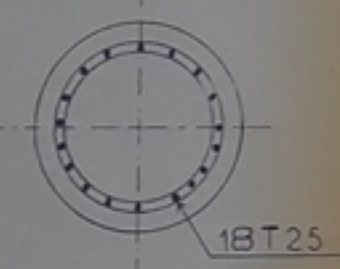




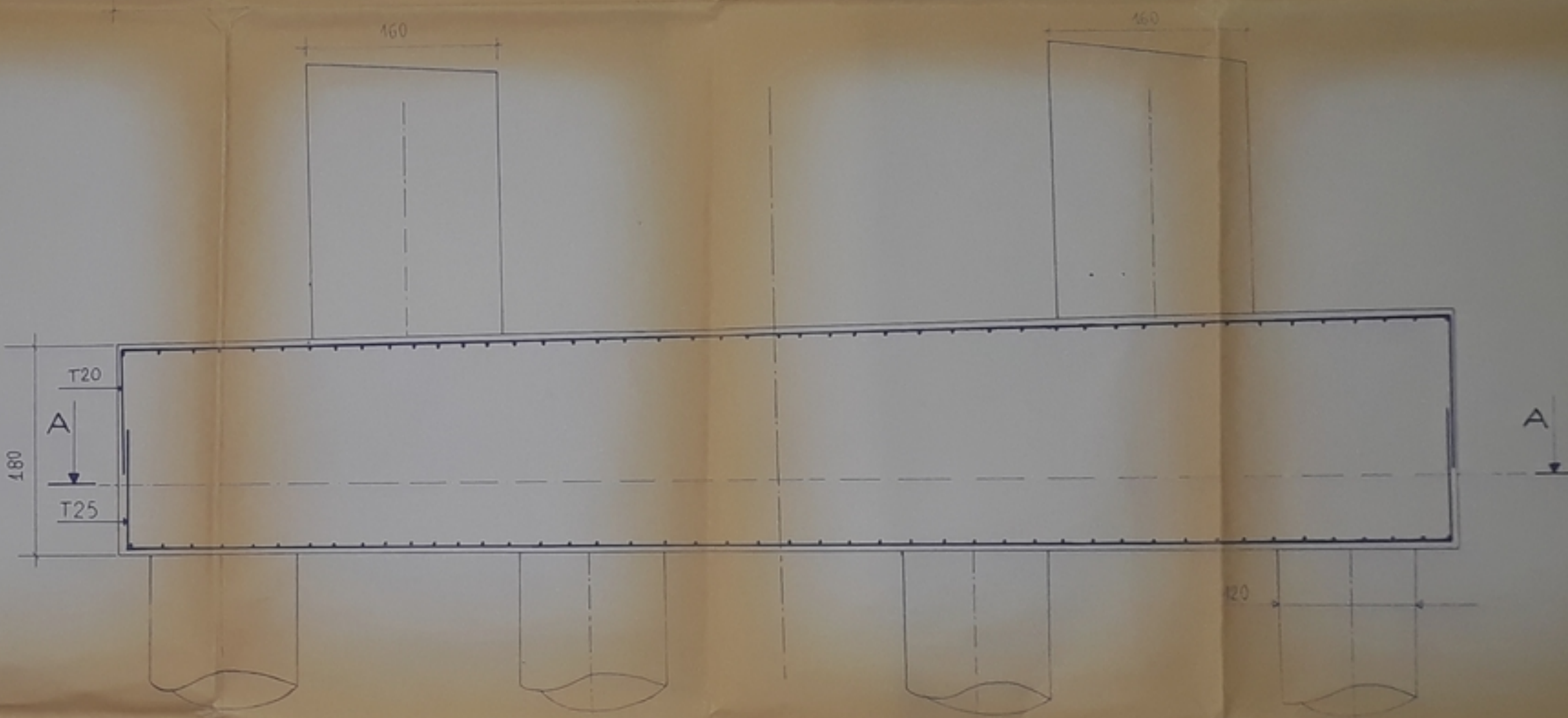
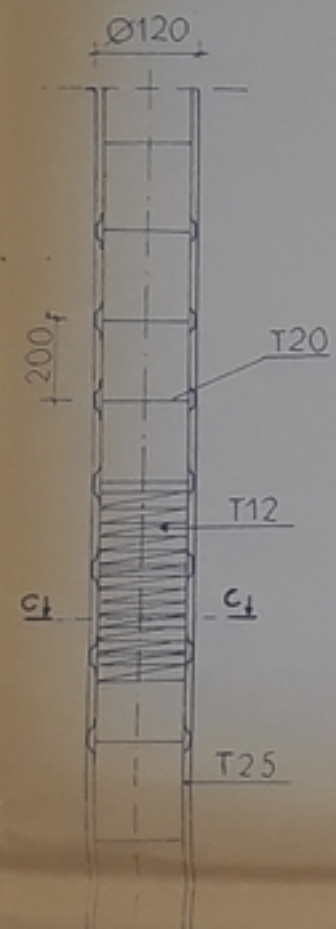
COUPE A-A



COUPE CC



PIEU



P804587  
-4-

REPUBLIQUE ALGERIENNE DEMOCRATIQUE ET POPULAIRE  
ENTREPRISE NATIONALE D'ETUDES & REALISATIONS  
D'OUVRAGES D'ART  
ECOLE NATIONALE POLYTECHNIQUE  
DEPARTEMENT DE GENIE CIVIL  
PROMOTION: JUIN 87  
PROJET DE FIN D'ETUDES

SEMELLE ET PIEU SOUS PILE

FERRAILLAGE

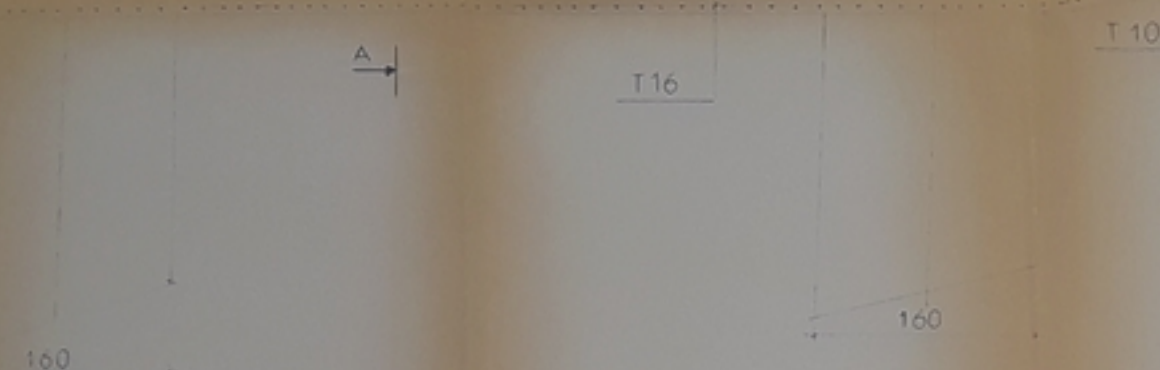
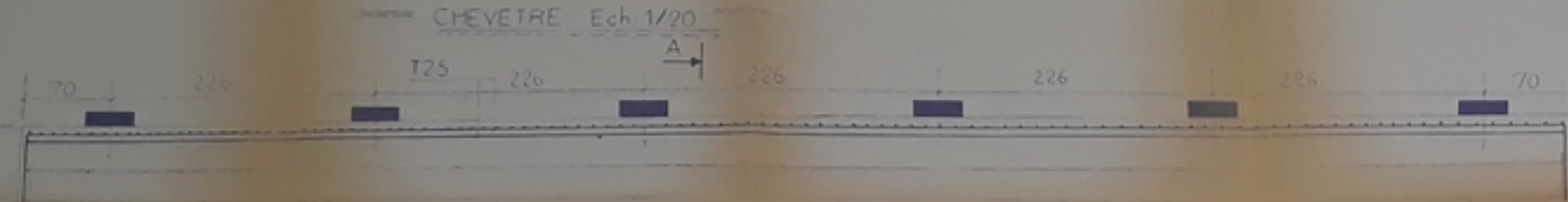


ETUDIE PAR:	S. BOUGHADOU A. NAIT BENALI
-------------	--------------------------------

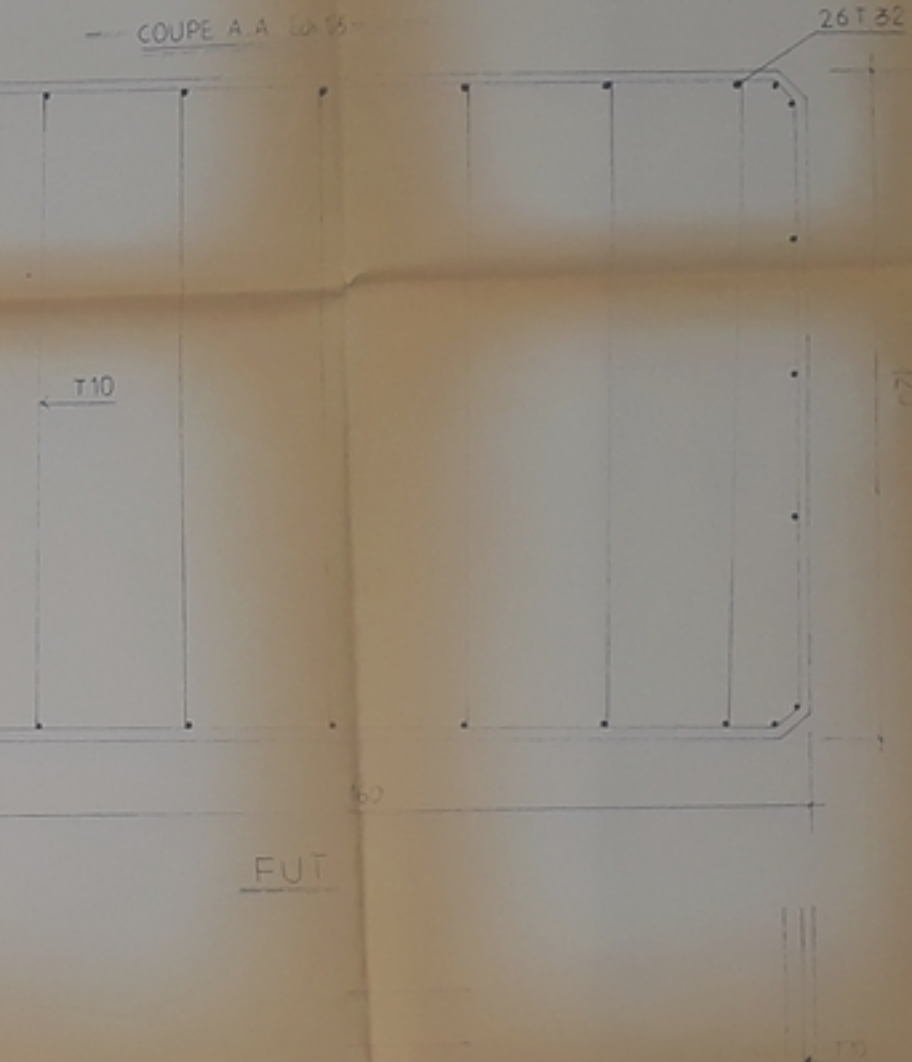
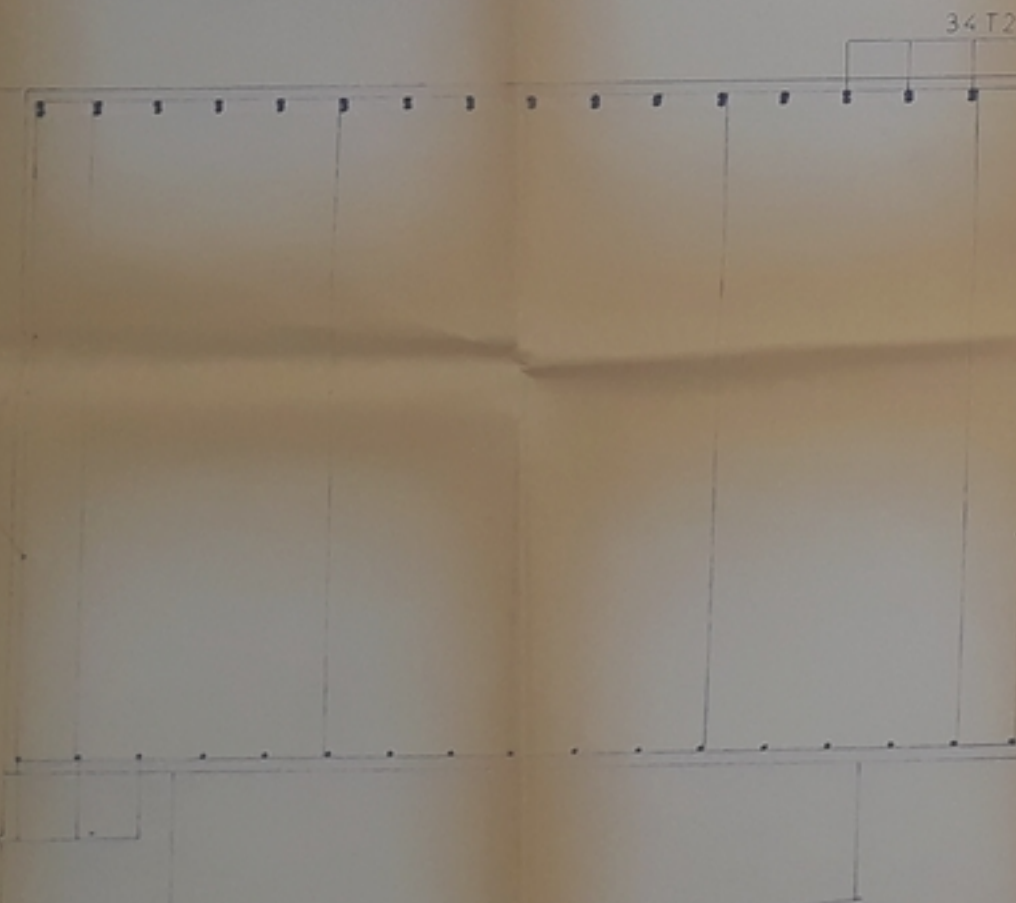
DIRIGÉ PAR:	M <sup>e</sup> P. BONNEVILLE
-------------	------------------------------

Echelle: 1/20

PLAN N°04



COUPE A.A Ech: 1/5



REPUBLIQUE ALGERIENNE DEMOCRATIQUE ET POPULAIRE  
ENTREPRISE NATIONALE D'ETUDES & REALISATIONS  
D'OUVRAGES D'ART  
ECOLE NATIONALE POLYTECHNIQUE  
DEPARTEMENT DE GENIE CIVIL  
PROMOTION: JUIN 87  
PROJET DE FIN D'ETUDES

CHEVETRE DE LA PILE

FERRAILAGE

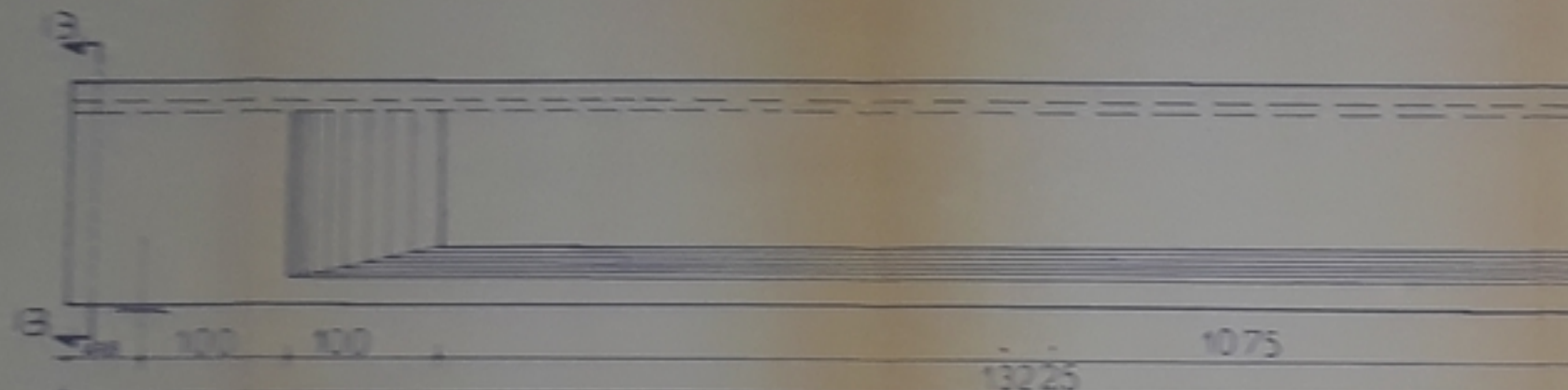
ETUDIE PAR: S. BOUGHADOU  
A. NAIT BENALI

DIRIGE PAR: M<sup>e</sup> P. BONNEVILLE

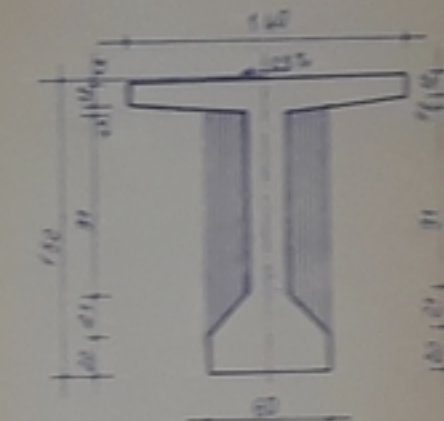
Echelle: 1/20 1/5

PLAN N°5

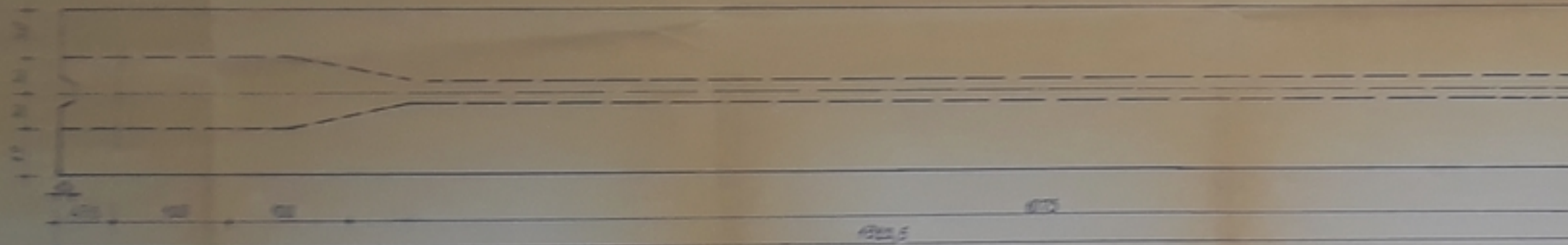
VUE EN ELEVATION 1/25



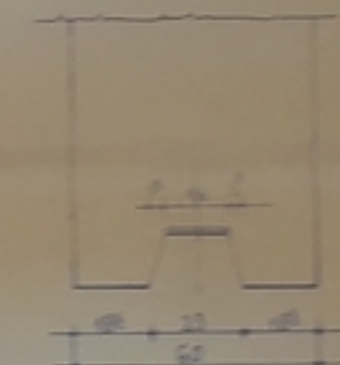
COUPE A-A 1/20



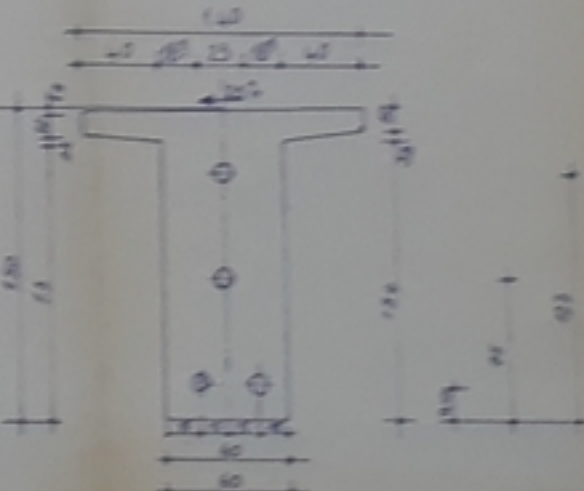
VUE EN PLAN 1/25



DETAIL D'ABOUT 1/10



COUPE B-B 1/20



REPUBLIQUE ALGERIENNE DEMOCRATIQUE ET POPULAIRE  
ENTREPRISE NATIONALE D'ETUDES & REALISATIONS  
D'OUVRAGES D'ART

ECOLE NATIONALE POLYTECHNIQUE  
DEPARTEMENT DE GENIE CIVIL  
PROMOTION : JUIN 87  
PROJET DE FIN D'ETUDES

- POUTRE PREFABRIQUEE -

- COFFRAGE -



ETUDIE PAR: S. BOUGHADOU  
A. NAIT BENALI

DIRIGE PAR M<sup>me</sup> R. BONNEVILLE

Echelle: 1/10 1/20 1/25 PLAN 1/100

